

FeO

(Biotit) ($\sim \text{Fe}_{0.95}\text{O}$, Fe_{1-x}O)

Dp. omalib meleza cll. Fe_2O_3 , Fe_3O_4

w. Fe - O

VI 4906

1895

FeO, Fe₃O₄, Fe₂O₃, FeO · SiO₂, CaO · SiO₂
(δHf).

Le Chatelier H.

8. Compt. rend., 1895, 120, 623-25.

size. 500.

B.M.

cert q.k.

1911

VI-1134

FeO, (kp, o Hf)

Van Royen

1. Dissertation, Bonn (1911)

Circ. 500

M,

F

Feo, 9470 (k)

1914

A/H

Депечинъ Е. Л.

Курск. русск. ссср.
европ. об-ва,
1914, №, с. 545-81

FeO

Bsp- 1936-V 1916

Treadwell w.

"Z. Elektrochem"

1916, 22, 414-21.

stf; kp.

1920

VI-1144

FeO, (Kp, Δ Hm)

Schreiner E., Grimnes F.B.

1. Z.anorg.Chem.110,311-34(1920)

Est/F.

Circ.590

Be,

ЕСТЬ Ф. И.

1921
VI-1119

FeO, kp, (Hf)

Chaudron

3. Compt. rend. 172, 152 (1921)

Circ. 500

M

1921

VI-1129

FeO, kp, (Kp, δ Hf)

Groningen

1, Dissertation Delft, Holland(1921)

Circ.500 M, F

Bp-1137-VI | 1922

FeO

Matsubara A

(Kp, dHf)

Z. anorg. Chem.

1922, 124, 39-55

VI 4903

1923

FeO

($\text{1 Hgob. + Na}_2\text{SO}_4$)
OK mix.

Browne F. L.

J. Amer. Chem. Soc., 1923, 45, 311-321



B.

ceres Q-K

1923

VI-1146

FeO, (Kp, Δ Hf)

Tigerschioeld

1. Jernkontorets Ann. 107, 67 (1923)

Circ. 500.

M,

F

FeO

BG - 1151 - VI

1923

Wöhler & et al.

Kp, ΔH_f

Z. Elektrochem. 1923

29

279-85.

7

FeO

Bp-1124-VI

1924

Eastman E. D. &
Evans R. H.

(Rp, + Hf)

J. Amer. Chem. Soc.

1924, 46, 888 903

BGS-1128-VI

1928

FeO

Farran R.,

(R_p, 1Hf) Trans. Farad. Soc

1928, 20~~E~~-207, 24,

B9P-1926-V

1929.

FeO

Miller R.W.

Fe₃O₄

"J. Am. Chem. Soc"

Kp; after;

1929, 51, 215-22;

Cp;

VI-1133

1929

FeO, kp, (δ Hf)

Roth W.A., Zemmer.

Z. Arch. Eisennuzenmesen, 1929, 3, H.S.

M,

F

VI 479 = EI 4898 1929

Fe, Fe₂O₃, FeO, Fe₃C,

Ni, NiC, Ni₂C, Mn, Mn₃O₄,
MnO, MnCO₃, Mn₂C (soft)

Roth W. H.,

Arch. Eisenhüttenwesen,

1929, 3, H 5,

339-96

ccTB φ-korr.

M

FeO

[OM. 22693]
[OM 22783]
Roth W. H.,

1929

DHF

Z. angew. Chem. 1929,
42, 981-4.



1930

VI-1125

FeO, Fe₃O₄ (Δf_f)

Emmett P.H., Shultz J.F.

J.Am.Chem-Soc.1930,52, 4258-85

"Equilibria in the iron-hydrogen-oxygen system. Indirect calculation of the water-gas constant".

Est | F.G.T.B. d. K.

M,

CA., 1932, 453.

Fe O

Fe₂O₃

(Hf)

BG-3572-VI

BG-3638-VI

Roth W. A.

Umbach H.

Arch. Eisenhüttenwesen

1930, 4, 87-93.

VI 4936.

1931

Fe, FeO, Mn, MnO (Kp).

Springs W., Schackmann H.

Z. anorg. und allgem. Chem.

1931, 202, 99-112.

alt.

сиг. ф.к.

193/
VI-1113

FeO, MnO (Tm)

Andrews J.H., Maddocks W.R., Howat D.

J.Iron and Steel Inst (London)

1931, 124, 19, 285.

CA., 1932, 60.

b

VI 1772

1931

Feb (Tm, ♂ Hm)

Zomirny W. E., Murphy D. W.

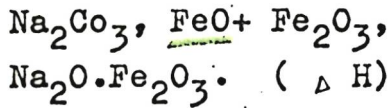
Ind. and Engng Chem., 1931, 23, 384.

Б

Line. 500

1931

VI-1216



Соколов В.И.

I93I,8, 248-52.

Ж.хим.пром..

М,

Est/EСТЬ ф. к.

CA., 1931, 5252.

1933

VI-988

Fe_2O_3 , Fe_3O_4 , FeO (Cp , ΔHf , ΔF)

Fe (H - H_{298} , Co, Tm, ΔHm , Ttr)

Chipman J., Murphy D.W.

Ind. Eng. Chem. 1933, 25, 319-27.

"Free energy of iron oxides".

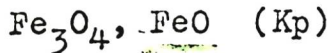
Be, M,

F

CA., 1933, 1812

1933

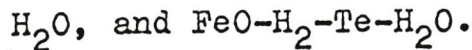
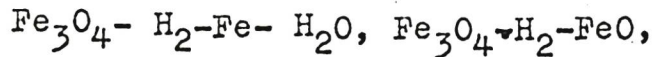
VI-1126



Emmett P.H., Schultz J.F.

J.Am.Chem.Soc, 1933, 55, 1376-89.

The principal cause of discrepancies among equilibrium measurements on the systems



M,

Eectb F. M.

V 2100

1933

Cp(FeO; Cu₂S)

White W.P.

J. Am. Chem. Soc. 1933, 55, 1047-53

Extra specific heat in cuprous sulfide;
Specific heat of ferrous oxide.

CA., 1933, 2088

Be.

Est. f.k.

ECTB. N.

1934

VI-1117

FeO(P)

Britzke E.V., Kapustinskii A.F.

Shashkina T.J.

Z.anorg.allgem.Chem.1934,219,287-95.

"The affinity of metals for oxygen.

The equilibrium between iron and stlam".

Est/ЕСТЬ в. И.

M,

CA., 1934, 7125²

$\text{Fe}, \text{Fe}_{0,95}\text{O}, \text{Fe}_2\text{O}_3, \text{Fe}_3\text{O}_4, \text{FeCl}_3$

1934

(1934)

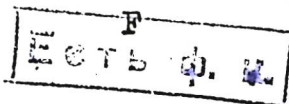
VI-1051

Roth, Wienert

1. Arch. Disenhuettew. 7, 455-60 (1934)

Circ. 500

W,



FeO

B95-2101-V

1934.

White W.P.

(Cp)

"J. Am. Chem. Soc"
1934, 56, 2795. +

Fe: O

$G = 9,17256 + 0,0000266 t$

Kazbaskue 70' rice, 210 b
padiere [33 WHI]

Trivedi H. [V1-1181] [1935]

(FeO) NiO CuO Proc. Acad. Sci. United Provinces
Agra, Oudh, India, 1935, 5, 27-33
(Proceedings of the Academy
of Sciences (United Provinces
of Agra and Oudh, India)
Skeet Absorption spectra of the
2/V - 53n. vapors of the monoxides of
copper, iron, Ni & Co were determined
and their heats of vaporization
(C. A., 1936, 2, 9595)

14-22



1935

VI-1145

FeO, Fe_3O_4 (K)

Shibata Z.

J.Chem.Soc. Japan 1935, 56, 736-44.

"The effect of Hunnal diffusion of the
determination of equilibrium constants of...
the two systems $\text{FeO} + \text{H}_2 = \text{Fe} + \text{H}_2\text{O}$ and
 $\text{Fe}_3\text{O}_4 + \text{H}_2 = 3\text{FeO} + \text{H}_2\text{O}$ ".

M,

F. CA., 1935, 7161⁸

1936

VI-1131

Fe₃O₄, FeO (Kp, δH, δF^o)

Jwase K., Sano K.

Sci.Repts. Tohoku Imp. Univ. 1st Ser.,
K.Honda Anniversary Vol 1936, 465-75.

F

M, Be

CA., 1937, 3766³

FeO

Bsp - 1132 - VI

1936

Fe₃O₄

Kielland J.

Z. Electrochem. 1936

42, 98

VI-989 1937

FeO (Kp)

Chipman J., Samarin A.M.

Am. Inst. Mining Met. Engrs., Tech.
Pub. No 784, 15pp (1937)

M,

F

CA., 1937, 2146³

1937

FeO, CoO,

(Kp, δ Hf)

Bφ-VI-724

Jander W., Krieger A.

Z. anorg. allgem. Chem., 1937, 232, 39-56.

M, Be

Est(F.

Есть ф. к.

BGP-987-IV

1940

Fe_{0.95}O

Chipman J.
Marshall S

T_m, SHM

^a Tf

T_m = 1642 K

$\Delta_m H = 10 \text{ eV}$ kcal/mol

J. Am. Chem. Soc.

1940, 62, 299-305-

1940

VI-1060

FeO+Fe (K_p)

Shibata Z.-i., Kuzirai M.

J.Chem.Soc.Japan 1940, 61, 1199-206.

"Measurement of the equilibrium reaction



M, F

CA., 1941, 1296³

VI-1152

FeO (δH, δF, S)

1942

Zapffe C.A., Sims C.E.

Am Inst. Mining Met. Engrs., Tech.

Pub. N1498, 30pp(1942)

Est/F

w, M

Есть ф. к.

1945

VI-1121

Fe_{0,95}O, Fe₃O₄ (δ Hf)

Darken L.S., Gurry R.W.

2. J.Am. Chem.Soc.67, 1398-1412(1945)

Est/F
[Est b. M.]

Circ.500 M,

1946

VI-1122

FeO (Δ Hm), Fe_2O_3 (Δ Hf)

Darken L.S., Gurry R.W.

J.Am.Chem.Soc., 1946, 68, 798-816.

"The system iron-oxygen. II-Equilibrium and thermodynamics of liquid oxide and other phases".

Est/F₂ O. M.

Be, M.

CA., 1946, 3970⁶.

VI 728

1946

~~ПУЛКОВСКИЙ ГЕОДА~~

P ($\text{FeO}; \text{Fe}_3\text{O}_4$) CoO , Mo)

Lustein B.

Steel Processing 1946, 32, 569,
676

"Dissemination processes of metal
oxides formed on various solid
metals"

С.п., 1947, 332н

ЕСТЬ ФЕНОМЕНЫ
СЮДА

МК

FeO

A - 159

1947

Джангрекай К.Б.

(A Haq)

M. osseus adamsi,
1947, 17 (2), 169-170

1948

VI-460

T_{tr}(MnO, FeO, NiO, CoO)

Foch M.

Compt. rend. 1948, 227, 193-4.

"A type of transformation common in
the lower oxides of manganese, iron,
cobalt, and nickel".

EET/Fr. B. Ch. K.

Ec.

CA., 1948, 7592c

1948

VI-1096

Fe, FeO(ΔF° , K)

Чизников Д.М., Хорзанов Е.И..

Изв. АН СССР. Отдел технологии.

1948, 223-8.

Есть ф. к.

"Interaction between tin and metal
silicates".

M,F.

СА., 1948, 6287g

1948-

VI-1115

1949

FeO (K, δ H, δ S)

Bargone A., Rinaldi F.

Ann. triestini cura univ. Trieste,
Ser.2, 18, 325-38 (1948-49)

"The equilibrium of the devarburization
reaction from the point of view of the
thermodinamics.of real systems".

M,

CA., 1952, 6908d

1949

VI-1159

δ Hmix (FeO, MnO, CaO, MgO, SiO₂)

Кожевуров В.А.

Ж.Физ.Химии, 1949, 23, 484-496.

Thermodynamic of....

Est/F.
ЕСТЬ Ф. К.

M, W.

39-V-4237; VI 3926

1949

△Hf, △Gf (B_2O_3 , FeO, MgO, NbO_2 , T, O_2 , WO_3 , VO, ZrO_2)

Richardson F.D., Jeffes J.H.E., Kubaschewski (J. Iron. Steel Inst. (London), 1949, 163, 147-53)

Discussion on the paper - The thermodynamics of substances of interest in iron and steel making from 0° to 2100° .

L. Oxides.

CA, 1949, 9007gh

M., Be.

F

1949
VI-1141

Fe_3O_4 , FeO (K)

Sanbongi K.

Sciance Repts. Research Insts. Tohoku
Univ. Ser.A., 1949, I, 213-22.

Reduction equilibria of iron oxides.I.
Measurement of the equilibrium of reaction,
 Fe_2O_4 (in wuestite) + CO = 3FeO (in wuestite) -
 CO_2

M,

F

CA., 1951, 6020e.

1950

VI-1142

FeO (p)

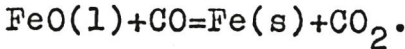
Sanbongi K.

Science Repts. Rescareh Insts. Tohoku Univ.

1950, Ser.A., 2, 296-304.

Reduction equilibria of iron oxides. II.

Measurement of the equilibrium of the reaction



M,

F

CA., 1951; 6905f

BP-479-VI

1950

FeO

Tombs N. E.
Rooksby H.P.

$(T_{tr}) = 203$ K, "Nature"
1950, 165, 442-43.

FeO

UT - H48

1950

(K)

Uro T., Kanbara K.,
Honma E.,

Tetsu to Hagane
(J. Iron Steel Inst.
Japan), 1950, 36, 17-23.

FeS, Fe₃O₄, MnS, MnO, FeO(K)

VI-1148

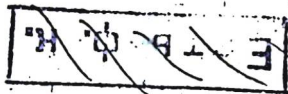
1950

Uno T., Kanbara K., Homma E.

Tetsu to Hagane (J.Iron Steel Inst.Japan),
1950, 36, 479-85.

Study of the oxidation equilibrium
of ferrous sulfide and manganese sulfide by
carbon dioxide.

Hem f S-re



M,

F

CA., 1953, 32c

ФЕО

L. Brewer, D. Mastick 1951

J. Chem. Phys., 19, 384

Смоделировать разобщение
высокомолекулских окислов.

До



1957

VI-1120

FeO, Fe₃O₄, Fe₂O₃ (H_T - H₂₄₈, Hm, S_T)

Coughlin J.P., King E.G., Bonnickson K.R.

J.Am.Chem.Soc., 1951, 73, 3891-3.

High-temperature heat contents of ferrous oxide, magnetite, and ferric oxide.

Ternary system FeO, Fe₂O₃,
Be, F Fe₃O₄

CA., 1951, 8868b

18 1469

1951

$2\text{CaO} \cdot \text{SiO}_2$, $\text{CaO} \cdot \text{SiO}_2$, $2\text{CaO} \cdot \text{Al}_2\text{O}_3 \cdot \text{SiO}_2$;
 FeO (Tm)

Muan A., Osborn E.F.,

Yearbook Amer. Iron. Steel Inst.

1951, 325-360

5

C.A., 1952, 46, N10, 4445g

VI 3702 1957

5647

Fe, FeS, FeO, SiO₂ (Tm, Ttr)

Olschanskii Ja. I.

Izvest. Akad. Nauk USSR, Ser. Geol.
1951, N 6, 128-152

The system...

Be

Fe (K)

1957

VI-1058

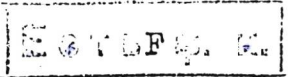
FeO(l) (P)

Sanbongi K.

Sci.Repts.Research Insts.Tohoku Univ.
1951, 3A, 194-200.

"Reduction equilibria of iron oxides.
Measurement of the equilibrium of the
reaction, $\text{FeO(L)} + \text{CO} = \text{Fe(l)} + \text{CO}_2$ ".

M,



CA., 1952, 10803e

Лон. 18956 VI-1147 1957

Fe_{0,947} MnO, VO. (Cp)

Todd S.S., Bonnickson K.R.

J.Amer.Chem-Soc.,
1951, 73, 3894-3895

Be

Est/F

ЕСТЬ ф. к.

B.G. - 11/1/1952

Fe₃O₄, Fe_{0.9420}(k), Fe₂O₃ ΔH_fH, FeO

1952

Humphrey G.L., King E.G., Kelley K.K.

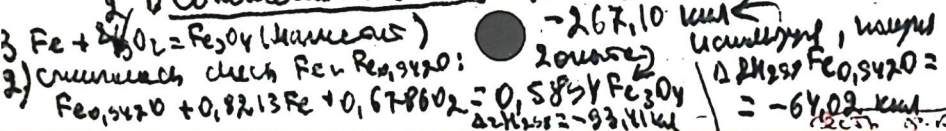
Bur. Mines, United States Department
of the Interior, Rept. Invest 4870,

June 1952, 1b pp

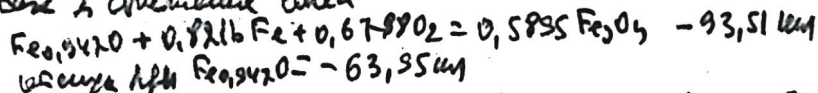
Some thermodynamic values for
ferrous oxide

1) Commonwealth Sande 3000°C

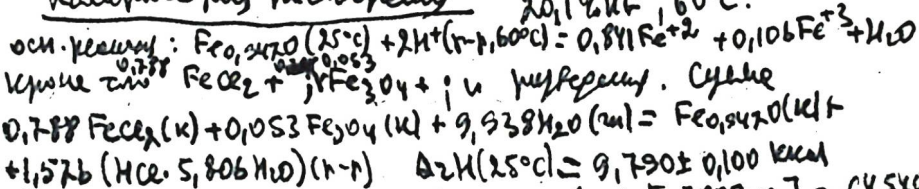
+ heptane



3) Высокое содержание окиси



(в 2) и 3) определение ординарной $\Delta H^{\circ} \text{Fe}_{0,9470} = 64,0 \pm 0,5 \text{ ккал}$
Компенсации поглощения $20,1\% \text{HF}, 60^{\circ}\text{C}.$



Прибавить к очн. поглощению $\Delta_2 \text{H}[0,788 \text{FeO}_2] = -64,580 \pm 0,800$ (исходное $-64,506 \pm 495$ - от поглощ.).

Тогда $\Delta H^{\circ} \text{Fe}_{0,9470} = -63,270 \pm 0,440 \text{ ккал}$, то окончательно $-63,3 \pm 0,5 \text{ ккал}.$

FeO

B95 - 3671 - V

1953

Gilde W.

"Metallurgie und
Fügetechnik"

1953, 3, 324-8.

(Hf; Si, Tm)

$T_m = 1633$ K

m

$\Delta m H = 29000$ erg/cm²

ca. 1000
ne onsiderabel

1953

VI-1091

FeO, Fe (ΔF_m , ΔF_f , ΔH_f)

Крупковский А.

Бюл.Польской акад.наук, отд.4, 1953, I,
№ I-2, 65-67.

Вычисление термодинамических величин в
металлургических процессах /реакции в
жидком железе/.

RX., 1954, N23, 50455 M, F

FeO Bp - V - 1935
Bp - 6709 - IV | 1953

Sadha M.S., et al.

(Attegde) Indian J. Phys.,
1953, 27(10), 520-22

VI-1149

FeO (Ttr)

1953

Willis B.M.M., Rooksby H.P.

Acta crystallogr., 1953, 6, N11-12, 827-831.

Change of structure of ferrous odide at low temperature.

RX., 1954, N13, 32060

Be

Est/F.
ЕСТЬ
д. к.

VI-1153/954

FeO (ΔH_f , ΔS°)

Ария С.М., Морозова М.П.,
Шнейдер Л.А.

Ж. общ. химии? 1954, 24, №I, 41-47.

Термодинамика окисных фаз переменного состава. I. К термодинамики окиси железа.

М, Ве

Ест/F.

Есть ф. н.

RX, 1954, N20, 44416,

1955

VI-1136

FeO (Tm)

Marion F.

Docum. metallurg., 1955, N24, 87-136.

Contribution a l'étude du protokyde
de fer.

RM., 1957, 5572

Be

Est/F.

ЕСТЬ Ф. К.

1955

VI-1114

FeO, Fe_{0,932}O, Fe_{0,890}O (Tm)

Aubry J., Marion F.

C.r.Acad.sci., 1955, 241, N24, 1778-1781.

Sur les variations de la conductivité
électrique et de la température de fusion
du protoxyde de fer en fonction de sa
composition.

RX., 1956, N23, 74239

Be

Est/E.C.T.B. ph. K.

Oesper, Marpole.

1955

FeO

Gibby J., Marion F.

Fe_{0.946}O

C. Z. Acad. sci, 1955, 240, N° 18,
1940 - 1941.

- Fe_{0.88}O

O reproducteur osseux -
recoit coquille 3 arêtes
succes.

A-56-2-3624.

FeO

Phonocure, Mangosteen, 1955

Pearcey.

Franklin J.R., Muldawer L.,
Flanders P.

J. Phys. Chem., 1955, 59, N° 4,
340-343.

Thugoya "J-FeO."

x-56-4-9564.

VI 3838

1956

FeO, TiO_2 , Ti_2O_3 , Ti_3O_5 , WO_2 , WO_3
(ΔH_f)

Апур С.И., Балагж З., Троцкий Т., Морозо-
ва И.Н.

Ж. общей химии, 1956, 26, № 8, 2097-2102

Минск, 1957, 50658

III

φ

FeO

Ариз. С.М., Гроссмайр. 1956
МНХ, 1956, №10, 2210

Химическое соединение первого
состава V Задача №103

X-57-24-76514

M 1536

1956

Fe₂O₃, SnO, PbO, Cu₂O, CuO, TaO₅ (AGf)

Matsushita Y., Goto K.

Thermodynamics, Proc. Symp., Vienna, 1956,
1, 111-29 (Pub. 1966)

The application of oxygen concentration
cells with the solid electrolyte
ZRO₂.CNO to thermodynamic research F

M

CA., 1966, 65, N 6,8089h

err sp. K.

Орбиг, Марлон.

1956

FeO

(0,946 -
- 0,875)

Dubuy Y, Marion J.

C. R. Acad. sci., 1956, 242, N° 6,
446-449.

О новооткрытые образования
ЗАРЕЧИЯ ХЕЛСА на юго-
западные хребты - Каско-
фог. (ан. на обороне)

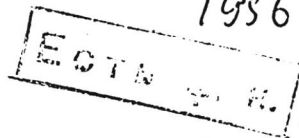
x-56-18-57740.

Воне 1000°C FeO занимает на
диаграмме Fe - O область норм
поставленной ширины (от $\text{Fe}_{0,946}\text{O}$
до $\text{Fe}_{0,875}\text{O}$)

V 3665

1956

FeO, Al_2O_3 , $\text{FeO} \cdot \text{Al}_2\text{O}_3$ (ΔH)



Fischer W.A., Lorenz G.

Arch. Eisenhüttenwesen, 1956, 27, N 6,
375-379

Entwicklung eines Kolorimeters für
Temperaturen bis 1100° und Bestimmung
der Reaktionsenthalpie des Spinells
 $\text{FeO} \cdot \text{Al}_2\text{O}_3$ zwischen 800 und 1000°

PM., 1957, 1922

M

F

Хвоя из Египта.

1956

Fe

0

Hovgård N.H., Yensfelt P.N.

Yernkontorets ann. 1956, 140, № 7,
H 67-493.

О содействии распро-
странению в работе с
материалами изобилии
песка.

2-57-22-65670

1956

lot. cent.

FeO

Gorsen N.A.

(жидк.)

J. Metals, 1956, 8, № 11, 1558-1567

Равновесие плавкии бокситога
и отсадки глинозема с пактобо-
паком в зоне контакта силикат-
бокситога; равновесие пак-
тии бокситобоксит и зароди-
шеска бокситога и пактобо-
паком в контакте бокситога + пак-

1000 каллс.

x-57-18-600/1

Тем 1550 - 1700°C определять K_p



Возможно ~~так~~ термодинамические
данные не данных по работе.

VI 6372

1956

CaO, CaSO₄, FeO, Fe₂O₃, MnO, SiO₂(K₂O)

Richardson F.D., Fincham C.Y.B.,

Rev. métallurgie, 1956, 53, n°3, 215-232
(épaves)

Le soufre dans les laitiers de silicate et d'aluminat.

M. B

num 8 δ-re amoro №

num 6 δ-re

PHL Rev, 1957, 18508

VI-1150 1956

TiO₂FeO, FeO, TiO₂,

FeCl₂(HCl,aq), TiCl₄•(HCl,ap)

FeCl₂•(HCl,aq), (Kp), (F).

Wilske Seppo.

Suomen Kem., 1956, 29, n11, B195-B199.

RX., 1958, N17, 56649

W,M,

F

Бозсаров Б. Н.

1957

FeO

Булаков D. K.

Локал. РГ. ССР. 1957.

113, № 4, 791-794

распад

при высоких

Остывшие бровковые габ-
бадиолиты лежат на рифовом зачи-
ту зеленса.

X-58-1-387

$\text{CuS}, \text{O}_2, \text{CuO}, \text{SO}$
 $\text{FeS}, \text{FeO},$
 $\text{ZnS}, \text{ZnO},$
 SO_2, S

(ΔG)

VI 1157

1957

Диев Н.П., Окунев А.И., Падучев В.В.,
Топорова В.В., Мокроносов В.С.

Тр. Ин-та металлургии. Уральский фил. АН СССР,
1957, вып. I, 17-21.

Моноокись серы как промежуточный продукт
окисления некоторых сульфидов.

РЖХим., 1958, № 21, 70084



и

✓ 70
П

1957

Фишер, Готтхар.

FeO - 12.0
Fischer W.H., Hoffmann A.
Arch. Eisenhüttenwesen, 1957,
28, K11, 739-743.

Исследование рабочих и спе-
циальных зон кислородно-гидрокар-
бидных.

X-5213-12850

VI 10 LO I957

H

2

CO, O, CO₂

(K_p, P F)

Fe_xO, H₂O, Fe

Gokcen N.A.

J. Metals, I956, 8, N 1, I558-I567()

Equilibria in reactions of hydrogen and carbon monoxide with dissolved oxygen in liquid iron, equilibrium in reduction of ferrous oxide with hydrogen, and solubility of oxygen in liquid iron.

PX, I957, 60077

Not b. S. R.

M

1957

VI-1015

FeS, Fe, FeO, Fe_3O_4 (Kр)

Каваками

Нихон киндзоку гаккайси,

J.Japan Inst. Metals, 1957, 21, N4, A-135-A-137

Термодинамика

ВМ., 1959, 2346

М,

ЕсТЬ Ф. И.

1957

VI-1158

FeO, $\text{Ca}_3(\text{PO}_4)_2$ (+ Hf)

Кожевников И.Ю., Куликов И.С.

Изв.АН СССР, отд.техн. н., 1957, №II,
196-198.

К теории металлургических шлаков.

Est/F.

ЕСТЬ Ф. И.

RM,, 1958, 18428

M,

VI-1160

1957

FeO, MnO, CaO, MgO, SiO₂ 6Hmix)

Кожеуров В.А.

В сб. физ. хим. основы произв. стали.

т. АН СССР, 1957, 413-422,
Дискуссия 505-512.

Термодинамические свойства...

M, w.

Est/F
Есть ф. к.

1957

VI-1143

FeO, MnO (Hm, Tm)

Schenck H., Schmahl N.G., Biswas A.K.,
Arch. Eisenhüttenwesen, 1957, 28, N9, 517-21.

Untersuchungen über das Zustands-
schaubild Eisen (II)-oxyd-Mangan(II)-
oxyd und seine Beziehung zus.
Desoxydation von reinem Eisen mit Mangan.

RM., 1958, 11491.

Be,

EOTB E. K.

Михайлов В.Н., 4 гр. 1957

FeO

Уг. зап. ИГУ, 1957, № 227,
151-162.

Исследование областей гомоген-
носных состояний при темп-
пературе 980°

X-16-58-52901

V. 1949

1958

FeO (\ni DC)

Cu₂O (\ni DC)

NiO (\ni DC)

Hill D.G., Porter B., Gillespie A.S., Jr.

J. Electrochem., Soc., 1958, 105, N 7, 408-412

Electrochemical measurement of oxide formation.

PJX., 1959, 22654

M.

F

Fe, 94470 (b) 1958
Кондаков В. В.

ДЖ Ван Сид - Узбек.
— Нагиш. зорки. биссерий
и коссой; Материалы
1958, №, с. 20-25.

Fe_{0,95}O

Bp-1956-V

1958.

Peters H; Mann F.

dt; ss

"Naturwissenschaften"
1958, 45, n9, 209.

1958

A-479

MnJ_2 , FeJ_2 , CoJ_2 , NiJ_2 , CuJ_2 ,
 ZnJ_2 , MnO , FeO , CoO , NiO , CuO , ZnO , MnCO_3 , CoCO_3 ,
 NiCO_3 , CuCO_3 , ZnCO_3 , MnSO_4 , FeSO_4 , CoSO_4 , NiSO_4 ,
 CuSO_4 , ZnSO_4 , MnS , FeS , CoS , NiS , CuS , ZnS , MnSe ,
 FeSe , CoSe , NiSe , CuSe , ZnSe). Est/F.

Димитровский К.Б.

№. 1000000. Химии, 1958, 3, №10, 2244 -

RX., 1959, 26376

M,

Est/F. K.

2252

1959

V 504

Zn; ZnO (ΔZ , Kр, AH)

FeO (ΔZ , Kр, AH)

Fe_3O_4 (ΔZ , Kр), $ZnO \cdot Fe_2O_3$ (Z, Kр)

Окунев А.И., Йхуне Кирьянов А.К., Сергин
В.И.

Докл.АН СССР, 1959, I24, № 6, I282-I284

Равновесные условия восстановления окиси
цинка металлическим железом

РХ., 1959, 70707

М Р

1959

VI-1138

Fe_{0,950} (EDC, 0 H₂, K_P)

Peters H., Mann G.

Z. Elektrochem., 1959, 63, N2, 244-248.

Elektrochemische Untersuchung des
Gleichgewichtes Fe+CO₂ FeO+CO.

Est/F.
ЕСТЬ Ф. К.

RX., 1959, 77904

M

1959

VI-1154

FeO (Ср, δ Н), Fe_2SiO_4 (Нf)

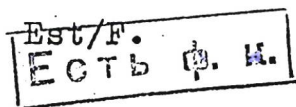
Владимиров В.П., Пономарев В.Д.,
Вестн.АНКаз ССР, 1959, №4, 78-84.

Некоторые термические данные по системе

SiO_2 -FeO-CaO.

м,

RM, 1960, №4, 7082



1961

VI-1118

FeO (Sm)

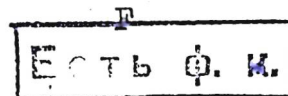
Bodsworth Co., Davidson L.M.

Metallurg. Soc. Conf., 1961, 7, 233-243-
Discuss., 243-244.

The activity pf ferrous oxide in the
stoichiometric FeO-SiO₂ System.

RX., 1962, 13, 349

Be



1961

FeO
(P
P_b
24; 45)
170

Vapor pressure of ferrous oxide. V. T. Burtsev, R. A. Karasev, and A. M. Samarin. *Fiz.-Khim. Osnovy Proizv. Stali, Akad. Nauk SSSR, Inst. Inst. Met., Tr. 6-oi [Shestoi] Konf., Moscow 1961, 366-71* (Pub. 1964). The vapor pressure for FeO is detd. by the carrier gas method. The essentials of this method are satn. of the carrier gas (Ar) with the gas under consideration and detn. of the content in the gas phase by the condensation of vapors. Drawings are presented to illustrate the arrangement for purification of the Ar and to measure the vapor pressure. The values obtained: heat of evaporation $\Delta H = 96.096 \text{ kcal./mole}$; boiling temp. $T = 2785^\circ\text{K.}$ (~~2512~~); change in entropy for the transformation of FeO from liquid to the gaseous state $\Delta S = \Delta H/T_{\text{boil}} = 96,096/2785 = 34.505 \text{ cal./degree}$; thermal dependence of the value for the change in free energy $\text{FeO}_{\text{liq}} = \text{FeO}_{\text{gas}}: \Delta F^\circ = 96,096 - 34.505T.$

Evan N. Davidenko

C. A. 1964 G 16C 4184

FeO

1961

5Б279.) Применение метода гидростатического взвешивания к изучению гетерогенных равновесий. Голубенко А. Н., Резухина Т. Н. «Ж. неорганич. хими», 1961, 6, № 3, 674—678.—Показана возможность использования метода гидростатич. взвешивания для изучения гетерог. равновесий восстановления окислов металлов окисью углерода. Использование пружинных весов с чувствительностью 11,5 мк/мг/см³ позволило в этой работе измерять состав газовой фазы CO—CO₂ с точностью $\pm 0,2\%$ (при общем давлении газа 500 мм рт. ст. С уменьшением общего давления газа точность измерения его состава падает и при p (общ.) = 100 мм рт. ст. составляет $\pm 1\%$. Измерены константы равновесия р-ции FeO(вюстит) + CO ⇌ Fe + CO₂. Полученные данные с точностью $\pm 1\%$ совпадают с наиболее достоверными литературными данными. В. Дробышев

-2-

1962.5

1961

Hoch M.FeO

5707 (AD-261335) THERMODYNAMIC INVESTIGATION OF CERAMIC MATERIALS AT ELEVATED TEMPERATURES. Quarterly Report, March 15, 1961 to June 15, 1961. Michael Hoch (Cincinnati. Univ. Research Foundation). Aug. 1, 1961. Contract AF33(616)-6299. 8p.

The partial free energy of oxygen in FeO was measured at 1200 to 1450°K at the two phase boundaries of the FeO (Wustite) phase with a Fe_3O_4 | FeO || Electrolyte || FeO | Fe cell. The data were fitted to the equation $\bar{F}_{\text{O}_2} = RT \ln N + C_1(1-N)^2 + C_2$. X-ray diffraction patterns of 70% Cr-30% Ni alloys at 1300°C gave no evidence of fcc Cr. (D.L.C.)

N.S.A. 1962. 16,5

FeO

TiO, FeO, VO, NbO

1961

~~Wright~~, Hoch M.

Contract AF 33 (61G)-6299

AD-266459 , 10 (1961)

Thermodynamic investigation of
ceramic materials at elevated
temperatures.

(cc. TiO) I

1961

V 718

$\Pi p(ZnO, CoO, UO_3, MgO, FeO, NiO)$

$K_p(VO_3^-, VO_4^{3-}, VO_2)$

Molina R.

Bull. Soc. Chim. France, 1961, N 2,

301-308

Propriétés chimiques de quelques
composés du vanadium dans les chlorures
alcalins fondus

PK., 1961, 24B38

Есть ф. н.

Ja

F

FeO

6Б240. Вязкость чистой жидкой закиси железа в интервале температур от 1380 до 1490°. Schenk Негманн, Frohberg Martin G., Rohde Walter. Viskosität reinen flüssigen Eisenoxyduls im Temperaturbereich zwischen 1380 und 1490° C. «Arch. Eisenhüttenwesen», 1961, 32, № 8, 521—523 (нем.).—На ротационном вискозиметре (описана конструкция и приводятся ф-лы для расчета вязкости по измеряемым величинам) измерена вязкость чистой закиси железа как функция т-ры при 1380—1490°. Полученные данные можно описать одной из следующих ф-л: $\lg \eta = 5900/T - 3,873$ и $\lg (\eta/T) = 6780/T - 7,628$, где η — вязкость в пузах, T — абр. т-ра. Результаты позволяют предположить, что в исследованном интервале т-р в закиси железа имеется довольно значительная упорядоченность.

С. Дембовский

х. 1962.6.

VI 4939.

1961

FeO, FeO-MnO, MnO (Tm, K)
emp-pa!

Fischer W.A., Fleischer H.G.
Arch. Eisenhüttenwesen, 1961,

32, H.1, 1-10.

5

CCFB PK

196

ЗВ26. Отклонения от стехиометрии в MnO и FeO.
Smyth D. M. Deviations from stoichiometry in MnO and FeO. «J. Phys. and Chem. Solids», 1961, 19, № 1-2, 167—169 (англ.).—Теоретически, с применением закона действующих масс, выведено, что для содержащих катионные вакансии окислов 2-валентных металлов конц-ия катионных вакансий должна быть пропорциональна $p^{1/4}$, где p — давление O_2 , а в области очень малых отклонений от стехиометрии — пропорциональна $p^{1/2}$. Литературные данные в составах MnO (РЖХим, 1959, № 20, 70976) и FeO (Darken L. S., Gurtu R. W., «J. Amer. Chem. Soc.», 1945, 67, 1398) согласуются с этим выводом.

И. Рысс

x. 1962. 3

+1

1961

VI-477

NiO (ΔF , Kp), FeO (ΔF , Kp)

Ptak W.

Rudy i metale hiczel., 1961, 6, N5, 199-207.

Reakcje w fazach ciekłych: Fe-Ni
oraz FeO-NiO.

Est/orig.

RX., 1961, 21 B²⁵⁰

M,

F

1961

V 723

ZnO (K_p), FeO (K_p)

Richards A.W., Thorne D.F.J.

Metallurg. Soc. Conf., 1961, 7, 277-291

The activities of zinc oxide and
ferrous oxide in liquid silicate slags

PK., 1962, 12b344

M

orig.

1962

 FeO_x

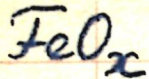
13 Б407. О нестехиометрии закиси железа. Gerd an nian Paul. Sur la non-stoechiométrie du protoxyde de fer. «C. r. Acad. sci.», 1962, 254, № 19, 3317—3319 (франц.)

Методом статистич. механики рассчитаны изменения парц. мольной энтропии кислорода в пределах области гомогенности FeO_y ($y = 1,047—1,097$) для моделей с дефектами разных типов. Полученные данные указывают на преимущественное существование дефектов типа островков, где 2 промежуточных иона Fe^{3+} находятся на месте четырех вакансий в субрешетке железа.

В. Гейдерих

X · 1963 · 13

1962



10 Б414. О некоторых термодинамических свойствах вюстита — строго регулярного твердого раствора кислорода в железе. Raccah Paul, Vallet Pierre. Sur quelques propriétés thermodynamiques de la wüstite, solution solide strictement régulière de fer et d'oxygène. «С. р. Acad. sci.», 1962, 254, № 6, 1038—1040 (франц.)

Если обозначить отношение атомной доли кислорода к железу через X , то состав твердого вюстита FeO_x можно выразить при заданной температуре T уравнением $X = A \lg p' + B$, где p' — давление кислорода, находящегося в равновесии с вюститом. Раисе (РЖХим, 1962, 21Б251) была получена температурная зависимость A и B . Вычисление активностей и коэф. активностей показало, что в пределах $X = X_0$ (вюстит в равновесии с железом и кислородом при давлении p_0') и $X = X_1$ (вюстит в равновесии с магнетитом и кислородом при давлении p_1') вюстит можно рассматривать как строго регулярный р-р. Однако для распространения этого представления на другие диапазоны конц-ий нет достаточных эксперим. данных.

А. Грановская

X·1963·10

1962

VI-1139

Δ G (FeO)

Renner Th.

J.Phys.and Chem.Solids, 1962, 23,
Nov., 1957-1596.

Die Sauerstoffspannungsreihe und ihre
Anwendung auf die Technologie von
Halbleitern

Est/orig.

RX., 1963, 215164

Be, M, J.

FeO_{xx}

B92-3734-V 1963

FeO

April C.H.

Alto-ozoro M. 17.

1Hf

C.S., Рекомендат 4

около 6 километров

восточн магнито -
ного " 1963, 22-31

1963

VI-2336

FeO (Кр)

Кондаков В.В.

Энерготехнол.использование топлива,
Вып.З.М., АН СССР, 1963, 147.

Кинетика гетерогенных металлург.реакций.

RM., 1963, 7A51 M,

F

FeO

1963

13 Б238. Существование сверхструктуры закиси железа. Manenc J. Existence d'une surstructure dans le protoxyde de fer. «J. phys.», 1963, 24, № 7, 447—450 (франц., рез. англ.)

При рентгенографич. исследовании (методы качания и рентгendifрактометра, λ Ni) системы Fe — O в широком интервале т-р установлено, что при 350° на рентгенограммах от вюстита (I) около рефлексов 200, 220, 311 и 222 появляются дополнительные рефлексы — сателлиты, отвечающие новой метастабильной фазе. Найдено, что эта фаза характеризуется большим, чем у I, содержанием O, однако не является магнетитом. Анализ рефлексов-сателлитов показал, что новая фаза является сверхструктурой I и обладает решеткой типа NaCl, в котором все имеющиеся вакантные положения (отвечающие положениям атомов Fe) распределены упорядоченно.

С. Рыкова

ж. 1964. 13

1963

FeO

) 13 Б237. О структуре закиси железа. ~~Маненс
Jack, Bourgeot Jacques, Bénard Jacques.~~
Quelques observations concernant la structure du protoxyde de fer. «С. р. Acad. sci.», 1963, 256, № 4, 931—933
(франц.)

Установлено, что побочные рефлексы, появляющиеся на рентгенограммах при разложении закиси железа (I) с большим содержанием Fe, возникают вследствие выделения метастабильной фазы, отличающейся от магнетита. Эта фаза представляет собой сверхструктуру, которая обнаруживается после закалки I, обогащенной кислородом.

Резюме авторов

Х. 1964.13

1963

Fe_0
0,947

область
гомогимости

5 Б417. Изучение закиси железа. I. Границы закисной фазы железа. Offroy C., Aubry J. Contribution à l'étude du protoxyde de fer. I. Limites de la phase protoxyde de fer. «Mém. scient. rev. métallurgie», 1963, 60, № 6, 476—480 (франц.; рез. англ., нем., исп.)

Исследованием состава закиси железа, находящейся в равновесии с железом и с магнетитом при т-рах между 1100 и 1400°, получены новые данные о границах однофазной области закиси железа. Однофазная закись железа при т-рах от 900° до т-ры плавления ограничена со стороны железа составом $\text{Fe}_{0,947}\text{O}$ с параметром кристаллич. решетки 4,310 Å, а со стороны магнетита от 950° до т-ры плавления — составом $\text{Fe}_{0,889}\text{O}$ с параметром кристаллич. решетки 4,286 Å. Последний состав был определен тремя различными методами; получены хорошо совпадающие результаты. На основании полученных данных приводится диаграмма состояния для закисной фазы, на которой для сравнения нанесены данные предыдущих исследований.

А. Розанов

X·1964·5

Fe-O

FeO

1963

5 Б515. К вопросу об изучении свойств закиси железа II. Измерение давления кислорода при равновесии в системах жидкая закись железа — твердое железо и жидккая закись железа — твердый магнетит. Offroy C., Aubrey J. Contribution à l'étude du protoxyde de fer II. Mesure de la pression d'oxygène à l'équilibre oxyde de fer liquide — fer solide et oxyde de fer liquide-magnétite solide. «Mém. scient rev. métallurgie», 1963, 60, № 11, 797—800, II, III, IV (франц.; рез. англ., нем., исп.)

Методом равновесия со смесью $H_2 + H_2O$ (газ) определено давление кислорода ($p(O_2)$) при равновесии жидкой закиси железа I с твердым Fe или магнетитом II. Описываются установка для проведения опытов, методика эксперимента и метод расчета. Наличие или отсутствие равновесия определялось визуально после двухчасовой выдержки образца в атмосфере заданного состава при постоянной т-ре. Варьируя состав газовой смеси, находили равновесное $p(O_2)$. Получены следующие значения $p(O_2)$ атм в системе Fe(тв.) — I (жидк.) при 1400° : $(4,20 \pm 0,07) \cdot 10^{-10}$; в системе II (тв.) — I (жидк.): при 1420° $(9,05 \pm 0,3) \cdot 10^{-7}$; при 1440° $(26,1 \pm 0,3) \cdot 10^{-7}$, при 1460° $(63,0 \pm 1,0) \cdot 10^{-7}$. Сообщение I см. РЖХим, 1964, 5Б417.

С. Хохлов

x·1965·5

БР-VI-2166
1963

11 Б463. О новых термодинамических свойствах и новой диаграмме твердого вюстита. Vallet Pierre, Kleeman Maurice, Raccah Paul. Sur de nouvelles propriétés thermodynamiques et un nouveau diagramme de la wüstite solide. «C. r. Acad. sci.», 1963, 256, № 1, 136—138 (франц.)

Для давления O_2 в равновесии с вюститом FeO_x справедливо: $\lg p_{O_2} = M_x + N$, где $M = aT^{-1} + b$ и $N = cT^{-1} + d$. Предполагается существование трех форм Вюстита при T -рах 910—1164°. Для них приводятся следующие значения a , b , c и d (45000; —6,26; —76900; 14,80); (—9500; 31,13; —18500; —25,22) и (—33200; 48,35; 6,870; —43,56). С помощью этих значений можно определить p_{O_2} для каждой формы вюстита при любых x и T и найти уравнения границ, разделяющих области существования различных форм вюстита на диаграмме состояния.

В. Гейдерих

X·1964·II

1963

FeOx

B.P.- VI - 2166

New thermodynamic properties and a new diagram for solid wustite. Pierre Vallet, Maurice Kleman, and Paul Raccah (Fac. Sci., Rennes, France). *Compt. Rend.* 256, 136-8(1963). Isotherms for solid wustite have the form $\log p' = Mx + N$, where p' is the pressure of O in equil. at $T^{\circ}\text{K}$. with the solid of compn. FeO_x . The consts. M and N are linear functions of $1/T$ of the form $M = aT^{-1} + b$ and $N = cT^{-1} + d$. At $<910^{\circ}$, at least 2 forms of wustite exist. Above 910° , 3 sets of values are found for a , b , c , and d , which indicates that 3 forms of wustite exist. The pressure p' for any of the 3 forms can be calcd. for $920\text{--}1250^{\circ}$. At $x = 1.07$, the values for p' for the 3 forms of wustite are nearly identical. Partial molar enthalpies, \bar{H}' , of O in solid wustite are given by the equation $\bar{H}' = 2.288(ax + c)$ for 1 g. atom of O.

Bernard Porter

C.A. 1963-58-8

4433h

1964

V-3482.

TiO_x^7 , Mn^6O_x , NbO_x , VO_x , WO_x ,
 CrO_x , FeO_x , CuO_x (δHf)

Ариа М., Кернбург М.М.,

Ж.неорган.химии, 1964, 9/7/, 1525-8.

Энергия связей металл-металл в кристаллич. решетке и насыщенных окислов элементов дополн.подгрупп.

М,

CA, 1964, 61, 6465a

Est/orig.

1863

FeO:

Barbi G. B.

J. Ph. Ch., 1864, 68, 2912

Синевато-бронзовая, непрек-
лонимая, с 2 DC & прямой с тупы-
ми концами.

EDC зернистая
БРОНЗОВАЯ

FeO

1964

№24 Б69. Наблюдение FeO в поглощении с помощью импульсного нагрева и кинетической спектроскопии. Bass Arnold M., Kuebler N. A., Nelson L. S. Observation of FeO in absorption by flash heating and kinetic spectroscopy. «J. Chem. Phys.», 1964, 40, № 10, 3121—3122 (англ.)

Методом кинетич. спектроскопии исследован спектр поглощения FeO, полученный путем прямой р-ции $\text{Fe}^+ + \text{O}_2$ при нагревании мощным импульсным источником света. В спектре наблюдались известные в испускании полосы *A* и *B* оранжевой системы, откуда следует, что нижнее состояние этих полос является основным состоянием молекулы FeO. Отмечается значительная конденсация частиц окислов железа в реакционной зоне через несколько миллисекунд после наблюдения спектра FeO.

В. Юнгман

Х. 1964. 24

FeO₂

ВФ-2201-VI

1964

У1 Б397. Упругость пара закиси железа. Бур-
цев В. Т., Карасев Р. А., Самарин А. М. В со-
«Физ.-хим. основы произ-ва стали». М., «Наука», 1964,
366—371

Методом несущего газа измерено давление пара заки-
си железа $\lg p(\text{атм}) = -96096/4,567T + 7,54$. В. Ш.

P

Х. 1965.Ч

FeO_x

1964

6 Б411. Кристаллографическое изучение разновидностей вюстита и их изменений при различных условиях охлаждения. Carel Claudia, Weigel Dominique, Vallet Pierre. Etude cristallographique des diverses variétés de wustite solide et de leur évolution au refroidissement. «C. r. Acad. sci.», 1964, 258, № 25, 6126—6129 (франц.)

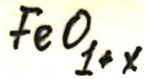
Рентгенографически (метод порошка) изучено изменение параметра куб. решетки синтетич. вюстита FeO_x (I) в зависимости от значения x , причем 3 образца (w_1 , w_2 , w_3) I имеют различные кривые зависимости a от x : a_1 4,3100 ($x=1,066$), 4,2998 ($x=1,092$), 4,2946 ($x=1,102$); a_2 4,3020 ($x=1,089$), 4,2982 ($x=1,100$), 4,2943 ($x=1,107$), 4,2910 ($x=1,115$); a_3 4,2996 ($x=1,101$), 4,2949 ($x=1,1145$), 4,2918 ($x=1,127$). Образцы I, полученные из окислов Fe в Pt-тигле, охлаждены 2 различными способами: быстрой закалкой и путем медленного охлаждения от 900 до 250° со скоростью 40 град/мин или от 1100 до 300° со скоростью 5 град/мин. Изучено влияние способа охлаждения образцов I на их фазовый состав. При быстрой закалке на рентгенограммах обна-

20 · 1965 · 6

руживается постоянное присутствие сверхструктурных линий, соответствующих ячейке, равной 4 ячейкам I с 16 атомами O и ф-лой $\text{Fe}_{15}\text{O}_{16}$ ($\text{FeO}_{1,067}$). Отмечается также присутствие магнетита. Медленно охлажд. образцы могут обнаруживать наличие сверхструктуры и магнетита, но в случае $x=1,142$ в присутствии магнетита образуется стехиометрич. фаза с параметром a 4,328 Å. Образцы I (w_1 , w_2 , w_3) подчиняются закону сжатия решетки, при котором максим. отклонение $\Delta V=0,003$ при равной конц-ии атомов Fe.

Н. Баталиева





1964

5 Б504. Прямое определение теплоты образования нестехиометрических окислов железа FeO_{1+x} при 800°.
~~Gerdanian Paul, Dodé Maurice. Mesure directe de la chaleur de formation des oxydes non stoechiométriques FeO_{1+x} à 800° C.~~ «С. г. Acad. sci.», 1964, 258, № 5, 1492—1495 (франц.)

Приведены результаты калориметрич. измерений при 800° (метод Кальве) при последовательном окислении газообразным кислородом окисла железа от $\text{FeO}_{1,0500}$ до $\text{FeO}_{1,1666}$. Рассчитаны теплоты образования FeO_{1+x} :
 $Q \text{ (кал)} = 70\ 140x + 62\ 820$. Рассчитано изменение парц. энталпии кислорода, $-\Delta H \text{ (O}_2 \text{, кал)} = 80\ 000\ 0 + 64\ 700$, где $\theta = x/1+x$.

B. Холлер



x·1965·5

БР-11-20/2

FeO_{1+x}
1/HF
MQ

Direct measurement of the heat of formation of the nonstoichiometric oxides FeO_{1+x} at 800°. Paul Gerdanian and Maurice Dode. *Compt. Rend.* 258(4), 1492-5(1964); cf. *CA* 58, 13211a. Heats of formation at 800° of nonstoichiometric oxides of the form FeO_{1+x} were detd. from microcalorimetric measurements of thermal effects of exposure of a filament to a small known quantity of O, and from elec. resistance measurements, which defined the final compn. of the filament. A least squares fit of the data gave the following for the heat of formation, Q (cal./mole of FeO_{1+x}) vs. x , which is shown in the chem. formula: $Q = 70,140x + 62,820$. The partial molal sp. enthalpy of O in the oxide, $h_{\text{O}_1}^{\text{M}}$, in cal., was given by the expression: $-h_{\text{O}_1}^{\text{M}} = 80,000\theta + 64,700$, where θ is $x/(1+x)$.

Elizabeth W. Baumann

1964

B.P.-11-2012

C.A. 1964. 60 V10 11/1332

FeO_{1+x}

1084

13 Б329. Термодинамическое изучение нестехиометрических окислов UO_{2+x} и FeO_{1+x} . Gerdanian Paul. Contribution à l'étude thermodynamique des oxydes non-stoechiométriques UO_{2+x} et FeO_{1+x} . Thèses. Fac. Sci. Univ. Paris. 1964. Doct. état. «Rapp. CEA», 1964, № 2438, 80 p., ill. (франц.; рез. англ.)



Х. 1965. 13



FeO, Ti_2O ,
 $CaTiO_3$ (ΔH_f , Δg_f , S°)

2209-У1

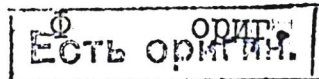
1964

Голубенко А.Н., Резухина Т.Н.
Ж. физ. химии. 1964, 38, № 12, 2920-2923

Термодинамические свойства титаната кальция из
электрохимических измерений при повышенных
температурах.

РЖХ., 1965, 12Б476

М.



1964

18 Б457. Изучение разложения закиси железа. Негаи Тосио, Маненс Джек. Etude de la décomposition du protoxyde de fer. «Mém. scient. Rev. métallurgie», 1964, 61, № 10, 677—686 (франц.; рез. англ., нем., исп.)

Исследовано разложение FeO вплоть до 570°. Продукты, образующиеся при выдерживании в условиях определенной т-ры исходной закиси железа, исследовались с помощью оптич. микроскопа, магнетометрич. и рентгенографич. методами. Описана методика магнетометрич. исследования. Приведены микрофотографии образцов на разных стадиях разложения. Разложение FeO проходит в 3 стадии. Первая стадия соответствует разложению исходного в-ва на две метастабильные фазы со сходными структурами (одна фаза обогащена железом, другая — кислородом). Вторая стадия соответствует выделению магнетита на зародышах, образующихся на дислокациях и субграницах полигонизации. Далее наблюдается дендритный рост. На третьей стадии метастабильная FeO в междендритных пространствах, обогащенная Fe, разлагается на магнетит и металлич. Fe.

А. Борина

FeO

Х. 1965. 18

1964

VI-2335

FeO (Кр)

Кондаков В.В.

Сб.Физ.-хим.основы металлург.процессов.

М. Металлургиздат, 1964, 46-57

О кинетике восстановления твердых окислов
железа газовыми реагентами.

RM., 1964, 8A74

М,

F

22374УІ

1964

FeO, P₂O₅ (и их)

Лаптев Д.М., Кожеуров В.А.

В сб. физ.-хим. основы производства стали",
М. Наука 1964, 84-93.

Теормодинамические свойства расплавов,
содержащих окислы железа.

РХХ., 1964, 21Б344

М.В.

Есть оригинал

VI 2491

1964

FeO, TiO₂, FeTiO₃ (ΔH_{298}° , ΔZ_{298}°)

Ленев А.М., Новоземельский И.А.,

Изб. АИ
горюче
СССР, Металлургия и
дено, 1964, №4, 84-90

M

Egotr. 100%

FeO_x

1964

6 Б410. Рентгенографическое изучение начальных стадий выделения нестехиометрических окислов железа. Mapenc Jack, Bourgeot Jacques, Negai Toshi. Etude par diffraction des rayons X du stade de pré-précipitation dans le protoxyde de fer. «С. г. Acad. sci.», 1964, 258, № 17, 4263—4266 (франц.)

Рентгенографически (фокусирующий осциллограф) изучены форма, размер и интенсивности отражений в соединениях $\text{Fe}_{0,948}\text{O}$ (I) и $\text{Fe}_{0,931}\text{O}$ (II) при т-рах 300, 250, 200 и 150°. При 150° выявлены 2 сателлитных отражения в направлении оси обратной решетки [100]. При повышении т-ры до 300° и выше отмечается образование диффузных отражений с переходом в достаточно четкую прямолинейную форму. Изучено изменение относительных интенсивностей сателлитов в зависимости от состава соединений I и II. Отмечается, что в I, насыщенном Fe при 300°, интенсивности со средними ϑ в ~2 раза больше интенсивностей при больших углах ϑ . Эта асимметрия сглаживается и интенсивности становятся равными при обогащении кислородом (от II к $\text{Fe}_{0,924}\text{O}$).

x · 1965 · 6

В результате нескольких циклов термич. обработки системы Fe—O образуется магнетит. Таким образом, не выявленный ранее метастабильный пробел в системе Fe—O простирается от Fe до I, с одной стороны, и от O до $Fe_{0,924}O$ — с другой, причем наилучший эффект достигается при 320°.

Н. Баталиева



FeO

Moody G.J.,
Thomas J.D.R.

1964

J. Chem. Soc.,

SM₄(paeser), 1964, aug, 4417

Alp-yellow
glaucophane,
boccaite.

(All. Se₂O)I

H 4940.

1964

MnO, MnO-MgO, MnO-CaO, FeO, Mn-Fe,
MnO-MgO-CaO, MnO-FeO-MgO,
MnO-FeO-MgO-CaO (dH, Per.)

Schenk H., Frohberg M. G.,
Nünninkhoff R.

Arch. Eisenhüttenwesen, 1964,

35, H. 4, 269-277.

5

eeTB Q.K.

CoO, Fe_xO , NiO, CuTi_3O_7

1964

R Taylor R.W., Schmalzried H.

J. Ph. Ch., 1964, 68, 2444-2445, N9

The free energy of formation of some titanates, silicates, and the magnesium aluminates from measurements made with galvanic cells involving solid electrodes

Вюстит.

FeO

З Б514. Граница области вюстита в твердом состоянии и общий вид диаграммы состояния. Vallet Pierre, Raccah Paul. Sur les limites du domaine de la wustite solide et le diagramme général qui en résulte. «С. г. Acad. sci.», 1964, 258, № 14, 3679—3682 (франц.)

1964

На основании данных, полученных методами термогравиметрии и кондуктометрии, выведена зависимость парц. давления O, равновесного с вюститом (I) и твердым Fe (P_0') и с I и твердым Fe_3O_4 (P_1'). Даны ур-ния $\lg P_0' = -27\ 330\ T^{-1} + 6,668$ и $\lg P' = -33\ 495\ T^{-1} + 13,590$. Инвариантная точка Шодрона соответствует $P_0' = P_1'$ и лежит при 890° К . Опытным путем для т-р $800—1250^\circ\text{ С}$ и экстраполяцией для остальных т-р определены границы для 3 модификаций фазы I в стабильном и метастабильном состоянии, а также положение тройных точек. Приведена часть диаграммы состояния Fe—O с областью фазы I.

Л. Шведов

2 · 1965 · 3

FeO_x (sf) VII 1625-

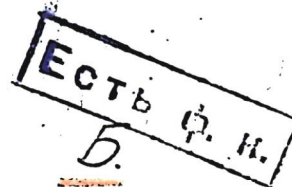
1964

~~FeO~~ — ~~(P)~~ FeO (T₁₂)

Vallet P., Raouah P.

Compt. Rend., 1964, 258(14),
3679-3682.

C.R., 1964, 61, n^o 2,
1313 d.



1964

$\text{FeO}_{0.95}$

On the limits of the domain of solid wuestite and the resulting phase diagram. Pierre Vallet and Paul Raccah (Fac. Sci., Rennes, France). *Compt. Rend.* 258(14), 3679-82(1964). By thermogravimetric and conductimetric methods, the partial pressure of O, P'_0 , at abs. temp., T , in equil. with wuestite and solid Fe, and P'_1 in equil. with wuestite and magnetite was detd. and is given by: $\log P'_0 = -27,330 T^{-1} + 6668$; and $\log P'_1 = -33,495 T^{-1} + 13,590$. The invariant temp. is 890°K . The phase diagram is constructed, and the coordinates of the stable and metastable triple points are given. John W. Ward

C.I. 1964 Q.V. 1313 V.

FeD_x

Vallet P. u. sp.

1964

C. r. Acad. sci.

258, N 16, 4028

термодинамическое кое-
стмажное твердотекущее блок-
ческое II пакетческое.

($\text{cell. Fe}_3\text{O}_4$) I

2327-VI

1964

FeO(КР)

Воронцов Е. С., Ершаков А. В.

ЖС. прикл. химии, 1964, 37, № 5, 1160.

Исследование равновесия в системе
окиси-металл-газ методом электро-
проводимости.

РДК.М., 1964, 11А43.
и.

Есть оригинал.

F. огю.

FeO

Bsp - 4481-VI

~~1047505~~
L 1965

Bizette H; et al.

Cp, T_{T2}

Bull. Soc. sci. Bretagne

1965, 39 (T₂), 17 - 22

1965

Fe O_x

Д 1 Б315. Измерение кристаллических параметров трех модификаций твердого вюстита в областях их существования. Carel Claude, Weigel Dominique, Vallet Pierre. Variations du paramètre cristallin des trois variétés de wüstite solide dans leurs domaines d'existence respectifs. «С. г. Acad. sci.», 1965, 260, № 16, 4325—4328 (франц.)

По линиям порошкограмм, полученных обр. съемкой, рассчитывались (метод Когена и Гесса с использованием машины IBM-1620) параметры a_i трех модификаций W_i ($i=1, 2, 3$) вюстита FeO_x. Изучалось изменение a_i с изменением т-ры закалки (890—1340°) при постоянном составе ($x=1,1025$) и с изменением состава ($x=1,0460—1,1025$) при постоянной т-ре закалки 1340°. В случае постоянного состава результаты незначительно отличаются от полученных ранее (РЖХим, 1965, ЗБ514). В случае

x : 1967 : 1

постоянной т-ры закалки (1340°), при к-рой W_3 не существует, результаты для W_1 и W_2 отличаются от описанных ранее (РЖХим, 1965, 6Б411), где т-ра закалки была ниже. Дан график зависимости a_i от x , где прямые, соотв-ие W_1 и W_2 , пересекаются в точке $x=1,0636$. Диаграмма состояния указывает на переход от W_1 к W_2 при 1340° в точке $x=1,0629$, что свидетельствует о хорошем совпадении обоих результатов. Вероятной причиной отклонения нек-рых экспер. точек от W_2 является существование границы метастабильности между W_1 и W_3 при $x=1,0550$ и т-ре 1340° . Полученные результаты показывают, что переход от одной модификации вюстита к другой происходит без изменения объема и являются превращением 2-го рода.

Т. Малиновский

1965

389-11-06

 FeO_{1+x}

3 E261. Термодинамическое исследование окислов FeO_{1+x} при $800^{\circ}C$. II. Исследование равновесий. Прямое измерение $\mu_{O_2}^M$ (O, Fe) и определение фазовых границ методом переноса. Gerdanian Paul, Dodé Maurice. Etude thermodynamique des oxydes FeO_{1+x} à $800^{\circ}C$. II. Etude des équilibres: Mesure directe de $\mu_{O_2}^M$ (O, Fe) et détermination des limites de phase par la méthode de transfert. «J. chim. phys. et phys.-chim. biol.», 1965, 62, № 9, 1018—1022 (франц.)

Ранее описанным методом исследовалось давление кислорода в равновесии с окислами FeO_{1+x} (I) при $800^{\circ}C$. Границы существования фазы I при $800^{\circ}C$ $FeO_{1,050}$ — $FeO_{1,115}$ определены методом переноса кислорода между фазами. Прямыми микрокалориметрическими методами определены значения уд. молярной энталпии I. Рассчитаны термодинамич. потенциалы и другие термодинамич. функции I. Ч. I см. Gerdanian P., Dogé M. «J. Chim. phys.», 1965, 62, 171.

Б. Каплан

ф. 1966. 38

1965

FeO_x

Thermodynamic study of FeO_{1+x} oxides at 800°. II. Equilibrium study: direct measurement of μ_0^M (O/Fe) and determination of phase limits by the transfer method. Paul Gerdanian and Maurice Dode (Fac. Sci., Orsay, France). *J. Chim. Phys.* 62(9), 1018-22(1965)(Fr); cf. preceding abstr. The chem. potentials, μ_0^M , of O in nonstoichiometric FeO_{1+x} were obtained from equil. measurements of P_0 in a system of CO-CO₂ mixts. with the oxide. The phase limits of FeO_{1+x} were detd. by a transfer method using a thermobalance. Values of the sp. entropies, S_0^M , were calcd. from the exptl. values of h_0^M and μ_0^M . The above thermodynamic values are tabulated for $1 + x = 1.0529-1.1093$.

William J. James

C.A. 1966. 64. 11
150 80 d

FeO_{1+x}

VI - 4390

1965

- 8 Б555. Термодинамическое исследование окислов FeO_{1+x} при 800° . I. Калориметрическое изучение. Прямое измерение при 800° $Q(O/Fe)$ и $h_{O_2}^m(O/Fe)$. Gerdanian Paul, Dodé Maurice. Etude thermodynamique des oxydes FeO_{1+x} à $800^\circ C$. I. Etude calorimetrique. Mesure directe à $800^\circ C$ de $Q(O/Fe)$ et $h_{O_2}^m(O/Fe)$. «J. chim. phys. et phys.-chim. biol.», 1965, 62, № 9, 1010—1022 (fr.)

Измерения проводились в микрокалориметре Кальве; прибор градуировался на 800° с использованием р-ции образования Cu_2O из Cu и O . Опыты, проведенные с FeO_{1+x} , позволили измерить мгновенные значения теплоты образования $[Q(O/Fe)]$ и относительные мольные энталпии кислорода в окисле $[h_{O_2}^m(O/Fe)]$

Резюме автора

X · 1967 · 8

VI-4390

1965

FeO_x

Thermodynamic study of FeO_{1+x} oxides at 800°. I. Calorimetric study: direct measurement at 800° of $Q(\text{O}/\text{Fe})$ and h_0^M (O/Fe). Paul Gerdanian and Maurice Dode (Fac. Sci., Orsay, France). *J. Chim. Phys.* 62(9), 1010-17(1965)(Fr). Direct measurements of the heats of formation, $Q(\text{O}/\text{Fe})$, and of the sp. enthalpies, h_0^M , of nonstoichiometric FeO_{1+x} were made at 800° using a high-temp. microcalorimeter. The calorimeter was calibrated by the reaction of Cu and O to form Cu_2O . High rates of homogenization were deduced from resistance measurements vs. time for FeO_{1+x} wires of varying compn. reacted with measured small amts. of O at 800°. Accordingly, the use of powders and sintered samples was avoided in the calorimetric studies for fear that intergranular diffusion might lower the rate of homogenization. The empirical expressions for the heats of formation and for the sp. enthalpies are, resp.: $Q_{1073}^\circ = 64,530x + 63,100$ cal., $-1/2h_0^M = 72,400\theta + 59,600$ cal., where $\theta = x/(1 + x)$.

William J. James

C.A. 1966 64.11
15080 bc

FeO_{1,000}

VI-6127

1965

FeO_{1,053}

18 Б591. Равновесия в системе FeO—Fe₂O₃—MgO при 1160°. Katsura Takashi, Kimura Shige-vuki. Equilibria in the system FeO—Fe₂O₃—MgO at 1160° C. «Bull. Chem. Soc. Japan», 1965, 38, № 10, 1664—1670 (англ.)

D Gf

Фазовые равновесия в системе FeO—Fe₂O₃—MgO исследованы при т-ре 1160° и переменном парц. давл. O₂ (р_{O₂} от 0,21 до 10^{-13,5} атм) методами закалки и ТГА. Идентификация фаз производилась рентгенографич. и микроструктурным методами. Экспер. данные приведены в таблице и на фазовой диаграмме, на к-рой представлены границы равновесия фаз со структурой гематита, шпинели и магнезиовостита (МВ). Показано, что шпинельная фаза может отклоняться от состава (Fe, Mg)₂O₄.

X. 1966. 78

не только за счет образования тв. р-ров с Fe_2O_3 , но и за счет р-рения FeO . Фазовая граница между МВ и $\text{Fe} + \text{МВ}$ смещается в сторону увеличения Fe^{2+} с возрастанием содержания Mg , отношение $\text{Fe}^{3+}/(\text{Fe}^{2+} + \text{Fe}^{3+})$ близко к нулю при $\text{Mg}^{2+}/(\text{Fe(общ.)} + \text{Mg}^{2+}) > 0,7$. Проведены термодинамич. расчеты для р-ции $\text{Fe(металл)} + 1/2\text{O}_2 = (\text{FeO})$ (тв. р-р). В предположении $a_{\text{Fe}} = 1$ (a — активность) и $a_{\text{FeO}} = N_{\text{FeO}}$ (вблизи $N_{\text{FeO}} = 1$, где N — мол. доля) вычислено значение константы равновесия (K) для $N = 0,894$ (максим. значение N_{FeO} в чистом виостите при 1160°) и $\lg p_{\text{O}_2} = -12,40$. В соответствии с $\lg K = 6,15$ получено ур-ние $\lg N_{\text{FeO}} = 1/2 \lg p_{\text{O}_2} + 6,15$. Подстановка экспер. данных привела к выводу, что тв. р-ры МВ, содержащие $> 30\%$ MgO , обнаруживают значительные отклонения от идеальности. На основании этих данных вычислены свободные энергии образования гипотетич. стехиометрич. закиси железа $\text{FeO}_{1,000}$ ($-40,3$ ккал/моль) и реальной $\text{FeO}_{1,053}$ ($N_{\text{FeO}} = 0,894$, $-40,7$ ккал/моль), разница между к-рыми ($+0,4$ ккал) является мерой неидеальности $\text{FeO}_{1,000}$.

А. Розанов

FeO

В9 4299-Д

1965

8 Б585. Термодинамические свойства твердой закиси железа. Применение экспериментальных данных для построения диаграммы состояния. Клеман М. Propriétés thermodynamiques du protoxyde de fer sous forme solide. Application de résultats expérimentaux au tracé du diagramme d'équilibre. «Mém. scient. rev. métallurgie», 1965, 62, № 6, 457—469 (франц.; рез. англ., нем., исп.)

Статистическими методами обработаны литературные данные по равновесиям между кислородом и вьюститом (I). В интервале 920—1 250° изотермы парц. давл. $O_2 (p_{O_2})$ над I в зависимости от состава последнего ($X = O/Fe$) могут быть выражены линейным ур-ием: $\lg p_{O_2} = M(T)x + N(T)$, причем коэф. $M(T)$ и $N(T)$ рассчитаны и табулированы. Ниже 910° изотермы состоят из двух прямых. Констатировано и обсуждено существование трех различных форм I. Граница Fe—I описана

РЖХ 7 1966,

эмпирич. ур-нием: $\lg p_{O_2} = -27\ 210/T + 6,560$ с точностью 0,29%, а граница I—магнетит ур-ием: $\lg p_{O_2} = -33\ 400/T + 13,510$ с точностью 0,68%. Эвтектоидная точка совместного выделения Fe и магнетита лежит при $617 \pm 15^\circ$. Зависимость p_{O_2} от т-ры выражена ур-ием: $\lg p_{O_2} = (a/T + b)x + c/T + d$, причем рассчитанные коэф. a, b, c, d имеют различные значения для разных форм I. На основе полученных результатов автор рассчитал термодинамич. функции для I и построил диаграмму состояния последнего в тв. состоянии. Границы между разными формами I метастабильны, чем могут быть объяснены имеющиеся в литературе противоречия. Л. Гузей

Feo, 9440(k)

1905

Лебедевский В. А.;

Резухина Т. Н.;

Днепровка В.?

- Экспедиция 1905,
1905, I, c. 933-940

FeO

1965.

Fe_2SiO_4 (Tm)

VI-4301

Lindsley D.H.

Carnegie Instn Washington Year Book 1965-66,
Baltimore, Md, s-a., 226-230.

Pressure-temperature relations in the
system $\text{FeO}-\text{SiO}_2$.

RX., 1967, 21/749 Be, F

FeO

1965

Б572. Исследование начальных стадий разложения
закиси железа. Мапенс J., Негай Т., Венагд J.
Etude des étapes préliminaires de la décomposition du
protoxyde de fer. «Reactiv. Solids». Amsterdam—London—New York, 1965, 432—441. Discuss., 441 (франц.)

Изучено термич. поведение Fe_xO , насыщенной железом при 1080° ($x=0,052$ в ф-ле Fe_{1-x}O) и закаленной до коминатной т-ре. При термич. разложении Fe_{1-x}O наблюдаются три стадии: стадия T_1 пре-разложения; стадия T_2 , на которой магнетит выделяется только в местах дефектов решетки; и стадия T_3 , на которой осталенная масса FeO распадается на Fe и магнетит. Стадия T_4 наблюдается только при нагревании образцов при т-рах $<310—320^\circ$. Происходящие на стадии T_1 изменения в решетке закиси железа можно устанавливать рентгено-

Сорб

Х·1968·1

графически. Пустоты в субрешетке атомов Fe, которые в закаленном состоянии распределены хаотически, на стадии T_1 группируются с образованием зон, богатых кислородом, окруженных зонами, богатыми железом. Это вызывает появление на рентгенограммах рефлексов сателлитов. Расположение этих рефлексов на рентгенограммах образцов, подвергнутых отжигу при 300° , показывает, что нарушение гомогенности имеет планарный характер, соответствующий образованию когерентных пластин, в которых межплоскостные расстояния изменяются только в направлениях, перпендикулярных толщине пластин. Данные электронной микроскопии и кинетики роста зон говорят в пользу предположения о периодич. чередовании в решетке зон, богатых Fe и богатых кислородом. Стадия T_2 имеет место при т-рах $<450^\circ$. Реализация стадии T_1 способствует прохождению стадии T_2 . На стадии T_2 образуются дендриты магнетита, параллельные плоскости [100], тем более толстые, чем выше т-ра. Дендриты окружены закисью железа, обогащенной Fe. В частности, при 400° вокруг дендритов Fe_3O_4 можно наблюдать зону иной хим. реакционной способности, которая сохраняет структуру FeO и имеет повышенное на 1,5% содержание Fe (данные анализа с помощью микрозонда). И. Н. Семенов

FeO

1965

21 Б317. Об искажении кристаллических структур моноокисей элементов группы железа. Судзуки Иосико, Каваи Нобуо, Асада Эйити. «Токе когё сикэнсе хококу, Toko kogyo sikencho hokoku, Repts Govt Chem. Industr. Res. Inst., Tokyo», 1965, 60, № 10, 375—380 (японск., рез. англ.)

Рентгенографически изучена зависимость искажения структур FeO, CoO, NiO при изменении т-ры от комнатной до 83°К. Скорость уменьшения или увеличения т-ры 2 град/мин. Все изученные окислы испытывают ромбоэдрич. или тетрагон. (CoO) искажение их первоначальной структуры типа NaCl в точках, где эти соединения становятся антиферромагнитными. Полученные с помощью этих измерений точки переходов в кристаллич. структурах хорошо согласуются с теми, к-рые найдены ранее из измерений теплоемкости и магнитной восприимчивости. Установлена зависимость точки перехода от наличия и типа примесей.

Резюме авторов

X. 1966.21



+2



FeO , CoO , Cr_2O_3 NiO AF6

1565

Cr_2O_3

Tretjakow Y. D., Schmalzried H.

FeCr_2O_4

Ber. Bunsen Ges. Phys. Chem.,
1965, 69, 396-402

NiCr_2O_4

CoCr_2O_4

CuCr_2O_4

MgCr_2O_4

CoFe_2O_4

NiAl_2O_4

Up, AF6

Zur Thermodynamik von Spinellphasen

$\text{ZnO}_2(\text{CaO})$, $\text{P}_{\text{O}_2} = 0,21 \text{ atm}$

(1000-1500 K) $\Delta G^{\circ} (\text{mV}) = -63,05 + 15,75 \cdot 10^3 \text{ T} (\pm 0,1 \text{ mV})$

$E(\text{mV})$:
 $\sqrt{\text{Fe}/\text{Fe}_2\text{O}} \quad 1371 - 0,375 \cdot T$
 $\pm 1 \text{ mV}$

c

CO/CO $1249 - 0,436 \cdot T (\pm 1 \text{ mV} - 5 \text{ T}, 6 + 18,61 \cdot T \cdot 10^{-3} (\pm 0,1 \text{ mV}))$

Ni/NiO	$1215 - 0,426 \cdot T \quad (\pm 1 \text{mV})$	$-56,05 + 20,4 \cdot 10^{-3} T \quad (\pm 0,1 \text{mV})$
$\text{Cu}/(\text{Cu}_2\text{O})$	$875 - 0,41 \cdot T \quad (\pm 2 \text{mV})$	$-42,0 + 17,9 \cdot 10^{-3} T \quad (\pm 0,2 \text{mV})$
$\text{Cr}/(\text{Cr}_2\text{O}_3)$	$1866,4 - 0,432 \cdot T \quad (\pm 2 \text{mV})$	$-258,6 + 55,2 \cdot 10^{-3} T \quad (\pm 0,3 \text{mV})$

Durch Tabelle zur Verarbeitung

FeO_x

1965

1 Б448. Термодинамические свойства твердой закиси железа. Vallet Pierre, Raccah Paul. Contribution à l'étude des propriétés thermodynamiques du protoxyde de fer solide. «Mém. scient. rev. métallurgie», 1965, 62, № 1, 1—29, II, III, IV (франц.; рез. англ., нем., исп.)

Термогравиметрическими и кондуктометрич. методами исследовалось равновесие окисных соединений железа. В области 920—1250° логарифм давл. кислорода l' в равновесии с вьюститом FeO_x (I) при абс. т-ре T подчиняется ур-нию: $l' = M(T)x + N(T)$. Около 800° l' не мо-

жет быть выражен простым ур-нием. Анализ функций M и N показывает, что в области 920—1250° существуют 3 разновидности I, для каждой из которых $M_i(T) = a_i/T + b_i$ и $N_i(T) = c_i/T + d_i$. В области равновесия: I — железо l' определяется ур-ием $l_0' = -27330/T + 6,668$, а в области равновесия I — магнетит — ур-ием $l_1' = -33495/T + 13,59$. Т-ра тройной точки железо — I — магнетит, в которой $l_0' = l_1'$, равна 890° К. Б. Каплан

X·1966·1

1965

FeO_x

22817m Thermodynamic properties of solid iron(II) oxide.
Pierre Vallet and Paul Raccah (Inst. Rech. Siderurgie, St.-
Germain-en-Laye, France). *Mem. Sci. Rev. Met.* 62, 1-29 (1965)
(Fr). At 800-250°, the O partial pressure of FeO was investi-
gated on the phase boundaries FeO/Fe and FeO/Fe₃O₄. H₂/H₂O
or CO/CO₂ mixts. were used to establish a given O partial pres-
sure in the basic substance. The establishment of the equil. was
followed by thermogravimetric and concn. measurements. The
O partial pressure was brought into a functional relation with the
intrinsic parameter introduced. For the phase boundary FeO/-
Fe, the proposed dependence between log $p(O_2)$ and T was: $\log p(O_2) = -27330 T^{-1} + 6.668$. For the phase boundary FeO/-
Fe₃O₄: $\log p(O_2) = -33,495 T^{-1} + 13.591$. The triple point
(Fe/FeO/Fe₃O₄) was at 611°. From CZ 1966(15), Abstr. No.
473.

MRCR

C.A. 1967 • 66 • 6

FeO_{1+x}

VI-5606

! 1986

16635a Thermodynamic study of the wustite phase. R. J. Ackermann and R. W. Sandford, Jr. (Argonne Natl. Lab., Lemont, Ill.). U.S. At. Energy Comm. ANL-7250. Avail. Dep. mn; CFSTI, 46 pp.(1966)(Eng). The thermodynamic properties of the FeO_{1+x} phase were measured at 970–1280°K. by detg. the values of x for known pressures of O. Free energies, enthalpies, and entropies, as well as their respective trends with compn. and temp., were derived from the measured quantities, the Gibbs-Duhem equation, and calorimetric data. In addn. to being more precise, the results correspond to a much lower temp. range than those reported in most of the earlier studies. The behavior of the partial molar quantities for O and Fe suggests the likelihood of the existence of a complicated temp.-dependent microstructure or superstructure and illustrates the need for an investigation to elucidate the structural changes that must occur as functions of temp. and compn. From *Nucl. Sci. Abstr.* 21(8), 12374(1967).

TCNG

C.A. 1988

68.4

FeO_x

~~parent~~

VI-5778

1966

- 36935f Coordination lattices of oxides of elements from additional subgroups and the enthalpy of their formation. S. M. Ariya, *Probl. Sovrem. Khim. Koord. Soedin.*, Leningrad: Gos. Univ. No. 1, 183-214(1966)(Russ). The application of purely ionic conception for the calcn. of lattice energy and for the explanation of lattice properties of the title oxides is criticized. Fe(II) oxide, Fe_{1-y}O (I), is discussed as an example. If enthalpy of I formation is calcd. using the ionic conception, ΔH values valid for various y differ considerably from exptl. detd. values. The lattice energy and the enthalpy of formation of I depend only slightly on y . It is assumed that the actual charges of O and Fe in the lattice are lower than those derived from ionic conception. The enthalpy of the formation of nonstoichiometric oxides of Ti, V, Fe, and U does not differ from the enthalpy of the formation

ΔH_f°

(+9)

C.A. 1967 67-8



of the corresponding mixts. of stoichiometric oxides. This shows that the energy of metal-O bonds is only slightly influenced by the coexistence of 2 valence states of the metal in 1 lattice. The plot enthalpy of the formation of MO_x (where M is Cu, Co, Mn, Cr, Mo, W, Fe, V, Nb, and Ti) vs. x is a straight line which breaks at certain x to a lower slope. In the region of the higher slope, metal-metal bond is assumed to exist in MO_x . This conception is useful also for the explanation of 2 max. on the plot: enthalpy of the formation of 3d element oxides vs. at. no. The possibility of direct evidence for metal-metal bond is discussed.

Z. Kolarik

1966

 $Fe_{1-x}O$

6 Б335. О термическом расширении вюстита. Архаров В. И., Кузнецов Э. Н. «Изв. АН СССР. Неорг. материалы», 1966, 2, № 10, 1889—1891.

Рентгенографически (высокотемпературная съемка; λ Cu) определены параметры кристаллич. решетки вюстита ($Fe_{1-x}O$) в области т-р 20—450°. Получена линейная зависимость параметра от т-ры. Из угла наклона прямой к оси абсцисс найден коэф. линейного термич. расширения, равный $(12,27 \pm 0,36) \cdot 10^{-6}$ град⁻¹.

x. 1967. 6

Fe_3O_4 , MnFe_2O_4 , FeO ,

1966

VI-4085

MgFe_2O_4 , (Кр) Фериты

Богословский В.Н., Куравлева М.Г.,

Мен А.Н., Авербух Б.Д., Жухаров Г.И.

Известия Акад. Наук СССР, неорганические матер.

1966, 2/6, 1058-63.

Equilibrium constants of the dissociation
reactions of ferrites.

М,

CA, 1966, 65, N11, 16120d

1966

FeO (krist.)

(Vi)

VI-4040

MgO, MnO, FeO-MgO, FeO-MnO (kp)

Brehat F., Evrard O., Hadni A.,
Lambert J.P.

C.r.Acad.sci., 1966, 263, N20, B1112-B1115.

Speetres d'absorption dans l'infrarouge lointain des oxydes de magnésium, de fer, de magnésium et de leurs cristaux mixtes (FeO-MgO) et (FeO-MnO)

RX., 1967, 11 B189

J

$\text{FeO}_{1,106}$

1966

9 Б630. Исследование равновесия вюстита с газовой фазой $\text{H}_2-\text{H}_2\text{O}$. Булгакова Т. И., Зайцев О. С., Розанов А. Г. «Вестн. Моск. ун-та. Химия», 1966, № 3, 102—105

Обнаружено, что вюститная фаза находится в области $\text{FeO}_{1,106}-\text{FeO}_{1,02}$. Определены термодинамич. характеристики равновесной с вюститом газовой фазы и вычислено ΔG° р-ции восстановления вюстита.

Реферат авторов

Х. 1967. 9

FeO_x

ВР-VI-3988

1966

у
Δ
переходит
фаз

6 Б558. К термодинамике фаз переменного состава FeO_x . Булгакова Т. И., Зайцев О. С., Гузей А. С. «Вестн. Моск. ун-та. Химия», 1966, № 4, 125—126

Из литературных эксперим. данных вычислены изобарные потенциалы (ΔG°) р-ций восстановления и образования из элементов тв. фаз FeO_x для $1,29 \geq x \geq 1,02$ при 1250°K , $\Delta G^\circ = -4756 - 38838 x$. Реферат авторов

х. 1967. 6

1966

BG-VI-3988

FeO_x

22838u Thermodynamics of phases of variable compositions FeO_x. T. I. Bulgakova, O. S. Zaitsev, and A. S. Guzei (Inst. Gen. Chem., State Univ., Moscow). *Vestn. Mosk. Univ., Ser. II: Khim.* 21(4), 125-6(1966)(Russ). ΔG° of the following redn. reactions were calcd. from previously published exptl. data (CA 63, 5103d) (ΔG° in cal. at 1250°K. given): $\text{FeO}_{1.29} + 0.184\text{H}_2 = \text{FeO}_{1.106} + 0.184\text{H}_2\text{O}(-790)$; $\text{FeO}_{1.106} + 0.086\text{H}_2 = \text{FeO}_{1.02} + 0.086\text{H}_2\text{O}(-174)$; $\text{FeO}_{1.02} + 1.02\text{H}_2 = \text{Fe} + 1.02\text{H}_2\text{O}(936)$; $\text{FeO}_{1.29} \pm 1.29\text{H}_2 = \text{Fe} + 1.29\text{H}_2\text{O}(-28)$; $\text{FeO}_{1.106} + 1.106\text{H}_2 = \text{Fe} + 1.106\text{H}_2\text{O}(762)$. The ΔG° of formation of FeO_x from elements are (x and ΔG° in cal. at 1250°K. given): 1.29, -54,829; 1.106, -47,795; 1.02, -44,312.

H. Kehiaian

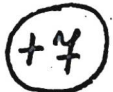
C.A. 1967. 66 · 6

FeO

1966

) 12 E572. Зависимость параметров решетки девяти окислов и сульфидов от давления. Clendenen R. L., Drickamer H. G. Lattice parameters of nine oxides and sulfides as a function of pressure. «J. Chem. Phys.», 1966, 44, № 11, 4224—4228 (англ.)

Рентгенографическим методом изучена зависимость от давления (до ~ 300 кбар) параметров решетки: FeO, CoO, NiO, MnO и MnS (структура типа NaCl); SnO₂, MnO₂ и TiO₂ (тетрагон. структура типа SnO₂) и FeS₂ (кубич. структура). В SnO₂ и MnO₂ параметр *c* увеличивается с ростом давления, проходит через максимум, а затем уменьшается. Сжимаемость этих двух в-в увеличивается при давлениях, при которых параметр *c* начинает уменьшаться. В TiO₂ увеличения сжимаемости не наблюдается. Эксперим. данные сопоставляются с величинами, следующими из ур-ний состояния Борна—Майера и Мурнагана.



φ. 1966 · 123

Физ. 1

530.1

Krishna Rao J., Vaidya P. C.

Gravitational radiation in homogeneous cosmological models
with space-sections of constant negative curvature.

Proc. Cambridge Philos. Soc., 1965, 61, N 3, 763—765.

Гравитационное излучение в однородных космологических
моделях с пространственными областями с постоянной отрица-
тельной кривизной.

Feb

[BPRIT - 3945] 1966

Dhemwad R.K., Nara
simham N.A.,

M.N.

Proc. Indian Acad.
Sci., 1966, A64, N5,
283 - 290

1966

A 892

Trans. met. (trans.)

Properties of cobalt complexes with nitrogen ligands - Cr, Ni, V, Ru, Os, P, Cs,
Eu, Tt, Rh, Fe, Mn, Pruthenium - Johnson B.F.G., McCleverty J.A. Ni, Pd, Pt, Ru.

Progr. Inorg. chem., 1966, 7, 277-359

Nitric oxide compounds of transition metals.

CA, 1967, 66, N 2, 7935t

Be., J.

F

Fe₂SiO₄, FeO

1966

P

98981f Pressure-temperature relations in the system $\text{FeO}-\text{SiO}_2$. D. H. Lindsley (Carnegie Inst., Washington, D.C.). *Carnegie Inst. Washington, Yr. Bk.* 65, 226-30(1965-66)(Pub. 1967)(Eng). M.p. curves are given for wustite (FeO) to 30 kilobars and for fayalite (Fe_2SiO_4) to 40 kilobars, both in equil. with metallic Fe. The m.p. of wustite is raised $\sim 200^\circ$ at 30, that of fayalite $\sim 160^\circ$ at 40 kilobars. A $P-T$ projection is given for the system $\text{FeO}-\text{SiO}_2$ and possible relations at higher pressures for Fe_2SiO_4 and the system $\text{Mg}_2\text{SiO}_4-\text{Fe}_2\text{SiO}_4$ are discussed. The synthesis of clinoferrrosilite at 1 atm. by Richardson, et al. (*Trans. Intern. Ceram. Congr.*, 3rd, Paris 1952, 173-7) was confirmed; the mineral is metastable at this pressure.

Michael Fleischer

Ch. Taurine Fe_2SiO_4

C.A. 1967-66-22

1966

BeO, MgO, SrO, BaO, TiO, VO, VI-4527

MnO, FeO, NiO, CuO, ZnO (Do, aHs, aHf)

Ормонт Б.Ф.

Докл.АН СССР, 1966, 166, /6/, 1393-6.

Максимум концентр. вакансий в бинарных соединениях.

M, J, Be

F CA, 1966, 65, N1, 104b

FeO_x

1967

} 2 Б673. Экспериментальное и теоретическое исследование диаграммы состояния твердого вюстита. Саге С. Recherches expérimentales et théoriques sur le diagramme d'état de la wüstite solide. «Bull. Soc. scient. Bretagne. Sci. math., phys. et natur.», 1966(1967), 41, № 1-2, 123—124.(франц.)

С целью проверки данных о существовании трех разновидностей (W_1 , W_2 , W_3) твердого р-ра FeO_x это соединение изучено дилатометрич. и рентгенографич. методом (порошковых). Подтверждено наличие внутренней границы между двумя разновидностями, W_2 и W_3 , на диаграмме FeO_x при $x > 1,073$ и т-ре $> 910^\circ$. Уточнены внешние (с Fe и магнетитом) границы су-

x · 1968 · 2

ществования вюстита. Для W_2 и W_3 статистически исследовано распределение коэф. линейного расширения в зависимости от состава. На основании статистич. исследования дисперсии кристаллич. параметров показано, что W_1 , W_2 и W_3 имеют место в двух разных зонах диаграммы состояний: при $x > 1,073$ и низких т-рах и при $x < 1,073$ и высоких т-рах. С точки зрения термодинамики аллотропные пребращения между W_1 , W_2 и W_3 представляют собой фазовые переходы второго рода.

И. Н. Семенов

FeO, Fe₃O₄; γ-FeO(OH), VI 5368
γ-Fe₂O₃; δ-Fe₂O₃; 2 FeO(OH). 1967

Fasiska R.J.,

Corros. Sci., 1984, 26, N12, 833-39

Structural aspects of the Oxides and
oxyhydrates of iron.

TX 1968, 21b 490

(cp) УБИ

3

19 В21. Синтез под высоким давлением стехиометрического соединения FeO. Katsura Takashi, Iwasaki Bunji, Kimura Shigeuyki. High-pressure synthesis of the stoichiometric compound FeO. «J. Chem. Phys.», 1967, 47, № 11, 4559—4560 (англ.)

На образцах состава $\text{Fe}_{0,950}\text{O}$; $\text{Fe}_{0,950}\text{O}+0,10\text{-Fe}$ и $\text{Fe}_{0,950}\text{O}+0,030\text{ Fe}$ изучена возможность образования стехиометрич. FeO при высоких давл. Рентгенографич. исследование образцов, подвергнутых нагреванию под давл. с последующей закалкой (также под давл.), показало, что при т-рах 775; 920 и 1200° параметр решетки FeO линейно увеличивается с увеличением давл., к-рому был подвергнут образец, до предельной величины $4,323 \pm 0,001$ Å. При 775° эта величина достигается при давл. > 36 кбар. Образцы, отвечающие предельной величине параметра решетки, были затем получены нагреванием смеси $\text{Fe}_{0,950}\text{O}+0,030\text{ Fe}$ при 770° и давл. 52—53 кбар, при этом состав фазы FeO отвечал стехиометрич. ф-ле $\text{Fe}_{1,000}\text{O}$.

И. Н. Семенов

X · 1008

· 19

FeO

VI-6586

1967

7 E370. Синтез при высоком давлении стехиометрического соединения FeO. Katsura Takashi, Iwasaki Bunji, Kimura Shigeuki. High-pressure synthesis of the stoichiometric compound FeO. «J. Chem. Phys.», 1967, 47, № 11, 4559—4560 (англ.)

При давлениях выше 36 кбар и т-ре 770° С проводился синтез стехиометрич. соединения $Fe_{1,000}O$ — юстита. Использовались исходные образцы трех типов: $Fe_{0,950}O$, $Fe_{0,950}O + 0,10 Fe$ и $Fe_{0,950}O + 0,030 Fe$. Порошкообразные образцы помещались в ампулы из Fe. При нужном давлении и т-ре производилась выдержка от 60 до 80 мин. Юстит был получен только в присутствии чистого Fe в исходном образце.

Е. Ю. Тонков

40. 1968. V

Fe_{1-x}O

1967

Д 11 Б384. Высокотемпературное изучение структуры закиси железа. Маненс J. Etude à haute température de la structure du protoxyde de fer. «Mém. scient. Rev. métallurgie», 1967, 64, № 7—8, 692—693 (франц.)

В области т-р 500—1000° проведено рентгенографич. изучение (λ Mo, точность термостатирования $\pm 3^\circ$) моно-кристаллич. образцов закиси железа $Fe_{1-x}O$, полученных путем окисления чистого железа. Параметры решетки исследованных кристаллов: a 4,305; 4,299; 4,295; 4,291 и 4,289 Å. Для прогрева образцы помещали в запаянные кварцевые ампулы. Для наилучшего выявления возможных сверхструктурных отражений, наиболее интенсивных для плоскости (200), кристалл подвергали колебанию на $\pm 5^\circ$ вокруг положения, соответствующего отражению

стабильной

X. 1968. 11

(200). Найдено, что пятна сверхструктуры появляются при t -рах $>570^\circ$, они наиболее четки при составах, близких к Fe_3O_4 на диаграмме Fe—O; при повышении t -ры пятна становятся диффузными; эти дополнительные отражения характеризуют структуру типа p' ; фаза p'' не наблюдалась. Граница превращения $\text{Fe}_{1-x}\text{O}—\text{Fe}_3\text{O}_4$ повышается на 110° при нагревании образцов по сравнению с охлаждением, появление Fe_3O_4 фиксируется по отражению (400).

Р. С. Иванова

1987

FeO

1,045-1,15

20 Б772. Прямые измерения при 1075°C парциальной мольной энталпии кислорода в закиси железа. Магиссо Jean-Francis, Cardanian Paul, Doddé Maurice. Mesures directes à 1075°C des enthalpies molaires partielles de l'oxygène dans le protoxyde de fer. «С. г. Acad. sci.», 1967, С 265, № 10, 566—569 (франц.)

термод.
св-ва

В микрокалориметре, эталонированном с помощью р-ции образования окислов урана, измерена парц. мольная энталпия кислорода в закиси железа в зависимости от отношения O/Fe. Это отношение изменялось от 1,045 до 1,15. В этом ряду парц. мольная энталпия кислорода немонотонно изменяется от 70 до 120 ккал, обнаруживая минимум и максимум. Данные авторов заметно отличаются от литературных.

В. Урусов

Х. 1988

20

NiO, FeS, Ni, FeO, Fe

VI-5806

(Ttr)

1967

Макаров В. К.

ЗАБ. Надп.

1967, 33(7), 831-3.

Онрежис. мастер

Киото и Химса Термодин. свойства

Be, F

CA, 1968, 68, N2, 6969y

ВФ 6389 - И 196

FeO

Kp
ΔG

23 Б764. Рекомендованные равновесные значения для
 реакции $\text{FeO}(\text{жидк.}) = \text{Fe}(\text{жидк.}) + \text{O}$. Sawamiga Hi-
roshi, Sanjo Kokichi. Recommended equilibrium
 values for the reaction $\text{FeO(l)} = \text{Fe(l)} + \text{O}$. «Spec. Rept.
 Japan Soc. Promot. Sci.», 1967, № 9, 10 pp., ill. (англ.)

На основании анализа лит. данных для р-ции
 $\text{FeO}(\text{жидк.}) = \text{Fe}(\text{жидк.}) + \text{O}$ рекомендованы следующие
 равновесные величины: $\lg K = \lg (a_0/a_{\text{FeO}}) = -6150/T +$
 $+ 2,604$ (1); $\Delta G^\circ(\text{кал.}) = 28130 - 11,91 T$; $\lg f_0 = \lg f_0^{(0)} =$
 $= (-1750/T + 0,76) [\% \text{O}]$. a_0 и f_0 — активность, выраженная
 в вес. %, и коэф. активности О в жидк. системе
 $\text{Fe}-\text{O}$ (стандартное состояние — предельно разб. р-р О
 в жидк. Fe). a_{FeO} — активность FeO в шлаке (стандарт-
 ное состояние — шлак FeO). Вместо (1) приближенно
 можно использовать $\lg K' = \lg ([\% \text{O}]/a_{\text{FeO}}) = -6320/T +$
 $+ 2,734$ (2). Результаты расчетов по ур-ниям (1) и (2)
 сближаются при увеличении a_{FeO} .

В. Гейдерих

Х · 1969

23

VI 1683

6,7,146

Okunie 6 cementum Fe-O, Ti-O,
V-O, U-O, Mn-O, Pb-O, Cr-O
(ΔG) 1967

Seiyama T., Takeyama N.

Metallurgie (Mons, Belg.), 1967,
7(4), 161-168

C&E, 1968, 69, u.8, 1307858

M.

FeO_x

1964

Swaroop B., Wagner J.B.

Trans. Met. Soc. AIME,
239 (8), 1215.

Vacancy concentrations
of wustite (FeO_x) near
the p to n transition

FeCr₂O₄

VI-5780

1968

Cr₂O₃-FeCr₂O₄

(90281u) Phase diagram for a iron(II) oxide-chromium(III) oxide system. Belov, B. F.; Novokhatskii, I. A.; Rusakov, L. N.; Gorokh, A. V.; Savinskaya, A. A. (Nauch.-Issled. Inst.

Met., Chelyabinsk, USSR). *Zh. Fiz. Khim.* 1968, 42(7), 1635-7 (Russ). The melting temp. of the prepd. FeCr₂O₄ was $2100 \pm 30^\circ$. The temps. of the eutectic line for Cr₂O₃-FeCr₂O₄,

and FeO-FeCr₂O₄ are $1900 \pm 25^\circ$ and $1345 \pm 10^\circ$, resp. At 1900° , 15 wt. % Cr₂O₃ dissolved in FeCr₂O₄. By heating Fe-Cr₂O₄ + Cr₂O₃ at $1900-20^\circ$ for 15-20 min., the eutectic mixt. 40 wt. % Cr₂O₃ + 60 wt. % FeCr₂O₄ was formed. By heating FeO + FeCr₂O₄ at 1300° for 12 hrs., it was found (by an x-ray method, sensitive to ± 2 wt. %) that no dissoln. in the solid phases occurred. The phase diagram for the equil. system FeO-Cr₂O₃ is presented and it is of the simple eutectic type (Cr₂O₃ m. 2265° , FeO m. 1377° , and the eutectic compn. 2.5 wt. % Cr₂O₃ + 97.5% FeO m. $1345 \pm 10^\circ$).

V. Pekarek

+2

C.A. 1968-69-22

18

VI-5780

1968

FeCrO₃
= 2 4

З Б748. Диаграмма фазовых равновесий системы FeO—Cr₂O₃. Белов Б. Ф., Новохатский И. А., Русаков Л. Н., Горох А. В., Савинская А. А.
«Ж. физ. химии», 1968, 42, № 7, 1635—1637

На основании определения т-р плавления смесей с помощью пиromетрич. конусов, а также микроскопич. и рентгеновских исследований закаленных образцов, построена диаграмма состояния FeO—Cr₂O₃. Диаграмма относится к типу простых эвтектических с одним хим. соединением FeCr₂O₄, плавящимся конгруэнтно при $2100 \pm 30^\circ$. Т-ры плавления эвтектик: 97,5 FeO, 2,5% Cr₂O₃ и 18,8 FeO, 81,2% Cr₂O₃, равны соотв. $1345 \pm 10^\circ$ и $1900 \pm 25^\circ$.

Д. А.

T_m

x. 1969.

3

1968

6 Б847. Термодинамические свойства окислов Fe, Ni, Pb, Cu и Mn из измерений э. д. с. Charette G., Flengas S. N. Thermodynamic properties of the oxides of Fe, Ni, Pb, Cu, and Mn, by EMF measurements. «J. Electrochem. Soc.», 1968, 115, № 8, 796—804 (англ.)

Из измерений э. д. с. гальванич. ячейки вида $\text{Pt}|\text{Ni}, \text{NiO}|\text{ZrO}_2(+\text{CaO})|\text{M}, \text{MO}|\text{Pt}$ с разделенным газовым электродным пространством рассчитаны точные стандартные свободные энергии образования NiO (911—1371° К) (в этом случае электродом сравнения служил чистый O_2), PbO (772—1371° К), FeO (вюстит) (903—1540° К), Cu_2O из элементов и Fe_3O_4 (949—1272° К), Fe_2O_3 (967—1373° К), CuO (892—1320° К), Mn_3O_4 (992—1393° К) и Mn_2O_3 (884—1126° К) из низших окислов. Полученные результаты сравниваются с имеющимися в литературе и анализируются их точность. Сигма-методом рассчитаны теплоты образования окислов Cu, Mn и Ni при 298° К.

А. Гузей

+6

Х. 1969

• 6

Б847

VI - 5100
ЛСГБ 9010

X

TiO, VO, MnO, FeO, CoO, NiO

VI-5646

(Δ Hf *тогдашних*
записей)

1968.

Dickens P.G., Hecking bottom R.,
Linnett J.

Trans. Far. Soc., 1968, 64(6), 1489-98.

Calculation of the heats of formation of
point, defects in some transition metal
oxides.

Be, F

CA, 1968, 69, N6, 22642h

1968
21 Б452. Структура окиси — закиси железа, последние данные. Мапенс J. Structure du protoxyde de fer, résultats récents. «Bull. Soc. franç. minéral. et cristallogr.», 1968 (1969), 91, № 6, 594—599 (франц.; рез. англ.)

Fe_{1-x}O

Для того, чтобы избежать ошибок, возможных при закалке образцов, проведено высокот-риое рентгенографич. (метод колебания, монохроматич. λ Mo) исследование разных по составу монокристаллов Fe_{1-x} . Качание осуществлялось в специально сконструированной камере в интервале $\pm 5^\circ$ относительно угла, соотв-щего отражению 200. Сверхструктурные отражения наблюдались в области богатой кислородом для нек-рых образцов ($Fe_{0.89}O$) вплоть до т-ры 1000°, однако при увеличении т-ры они становились все более диффузными. При охлаждении, наоборот, эти отражения становились более четкими и появлялась линия 400 от Fe_3O_4 . Т. о. подтверждено, что при высоких т-рах $Fe_{1-x}O$ имеет структуру с упорядоченным расположением вакансий.

З. А. Старикова

21.10.1969.

21

Fe_xO

VI-4814

1968

62127e Anomaly in the specific heat for Fe_xO . Mainard, Robert; Boubel, Michele; Fouisse, Henri (Inst. Phys., Nancy, Fr.). *C. R. Acad. Sci., Paris, Ser. A, B* 1968, 266B(20), 1299-301 (Fr). The temp., $T_{\max.}$, of the anomalous peak in the sp. heat-temp. curve for solid solns. Fe_xO , with $x = 0.899, 0.923, 0.927, 0.934$, and 0.944 , was detd. microcalorimetrically for homogeneous 300-mg. specimens prep'd. by heating Fe_2O_3 at 900° in $\text{H}_2/\text{H}_2\text{O}$ mixts. and quenching immediately. The $T_{\max.}$ decreases linearly with increasing x (except for an abnormally low value at $x = 0.944$), confirming the variation of Neel temp. with x derived from magnetic susceptibility detns. by F. B. Koch and M. E. Fine, (*CA* 66: 109597p). Two-year-old specimens with $x = 0.902$ and 0.938 gave attenuated sp. heat peaks and lower $T_{\max.}$ than corresponding fresh samples, probably because of a phase transformation.

H. I. Stonehill

C.A 1968-69-16

Fe_xO

VI-48/4

1968

→ 1 E796. Об аномалии теплоемкости Fe_xO. Mainard Robert, Boubel Michèle, Fousse Hérgi. Sur l'anomalie de la chaleur spécifique de Fe_xO. «C. r. Acad. sci.», 1968, 266, № 20, B1299—B1301 (франц.)

Приведены данные о теплоемкости твердых растворов состава Fe_xO в области т-р 140—250° К при $x=0,899; 0,902; 0,923; 0,927; 0,937; 0,944$. Для всех x наблюдается пик в температурной зависимости теплоемкости, приходящийся на область т-р 175—190° К.

Cp

09. 1969.

12

1969

FeO

12 Б12Г. Определение границ области существования закиси железа при высоких температурах. Campservieux J., Bougeau G., Picard C., Gerdani-an P. Détermination des frontières du domaine du protoxyde de fer à haute température. «Rev. internat. hautes températ. et réfract.», 1969, 6, № 3, 165—174, IX, IX (франц.; рез. англ., нем.)

На весах непрерывного взвешивания в интервале 700—1300° определены составы закиси железа (I), находящейся в равновесии с Fe и с магнетитом (II). Равновесные смеси Fe—I и I-II получались или р-цией со смесью CO—CO₂, или переносом O₂ через газовую фазу между окислами. Граница области существования I со стороны Fe практическ. не зависит от т-ры. Область быстро расширяется с повышением т-ры в сторону II. В целом, полученные результаты согласуются с литературными. Л. С. Гузей

X. 1970. 12

$\text{Fe}_{0.95}\text{O}(\text{c})$

$\text{FeO}(\text{v})$

1969

Winkler 1862

Leo Brewer, Gerd Rosenblatt.
"Adv. in High Temp. Chem."
1969, 2, I-83.

Aff^o
298

1969

Fe_{1-x}O

21 Б773. Термодинамические свойства Fe_{1-x}O . Превращения в однофазной области. Fender B. E. F., Riley F. D. Thermodynamic properties of Fe_{1-x}O . Transitions in the single phase region. «J. Phys. and Chem. Solids», 1969, 30, № 4, 793—798 (англ.)

Методами э. д. с. с использованием тв. электролита и кулометрич. титрования изучены термодинамич. св-ва вюстита при 700—1350° С. В исследованном интервале составов величина отношения Fe/O изменялась от 0,799 до 0,984. Подтверждено существование в области гомогенности вюстита двух превращений типа порядок-беспорядок. Построена диаграмма состояния и обозначены области существования трех различных форм вюстита. На основании анализа зависимости парц. теплот и энтропий р-рения кислорода в различных формах вюстита делается предположение о том, что превращение обусловлено упорядочением дефектов.

Р. Ф.

Х. 1969. 21

(Om. 26561) 1969

Fe_{1-x}O

18 Б428. Дефектная структура $Fe_{1-x}O$. Koch F.,
Cohen J. B. The defect structur of $Fe_{1-x}O$. «Acta crys-
tallogr.», 1969, B25, № 2, 275—287 (англ.)

Получена, рентгенографически и электронографически изучена сверхструктурная фаза $Fe_{1-x}O$ (I) при комбинированных т-рах с целью выяснения характера упорядочения. Образцы I приготовлены окислением при нагревании в печи в потоке CO/CO_2 газов очищенного и взвешенного железа, осажденного на Pt-проводоку, и с последующей закалкой. Состав I контролировался по изменению веса. Исследование I рентгенографическим

X. 1969.

18

(съемка монокристалла состава $\text{FeO}_{0,902}$, $\lambda\text{Mo}-K_{\alpha}$ и $\lambda\text{Co}-K_{\alpha}$, дифрактометр) и электронографическим (образцы I уточнялись и электрополировались в потоке фосфорной к-ты) методами при коми. т-рах установило однофазность I при наличии набора сверхструктурных рефлексов, индицирующихся на основе куб. ячейки (3X) с утроенным, по сравнению с «идеальной» структурой вюстита I типа NaCl , периодом a . Геометрич. анализ сверхструктурных рефлексов и анализ Φ^2 -рядов (в основном) показал, что структуру I следует рассматривать не с точки зрения упорядочения или неупорядочения отдельных одиночных катионов, а как содержащую группировки или кластеры октаэдрич. вакансий (КОВ) с тетраэдрич. ионами Fe внутри каждого КОВ (ближний порядок) с периодич. (ячейка 3X) повторяемостью КОВ (дальний порядок). Каждый КОВ содержит в среднем 13 октаэдрич. вакансий и 4 тетраэдрич. иона Fe. Положения анионов O отвечают типу B1. Возможные ф. гр. нецентросимм. $P43m$ (физически более обоснована) и центросимм. $Pm3m$. Лучшая сходимость обнаружена при отклонении позиц. параметров (ПП) от «идеальных». Окончательное значение $R_{hkl}=0,095$ после уточнения ПП МНК с двумя изотропными т-рными факторами $B_{\text{Fe}} 0,45$ и $B_{\text{O}} 0,75 \text{ \AA}^2$. Нанкратчайшие межатомные расстояния между тетраэдрич. ионом и четырьмя соседними O: 1,94 (3) и 1,87 Å (I), а расстояния между октаэдрич. ионом Fe и окружающими его анионами находятся в интервале 2,02—2,31 Å. Рентгеновскими дифрактометрич. съемками (метод порошка) I при высоких т-рах в интервале $700-1150^\circ$ установлено, что ближний порядок (КОВ) сохраняется вплоть до $x 0,082$, но дальний порядок значительно нарушается.

Р. В. Баранова

1969

(FeO)

Fe₂O₃

термодин.

12 Б1207. К термодинамике вюстита. Лаптев Д. М.
«Ж. физ. химии», 1969, 43, № 12, 3129—3131

Статистико-термодинамич. методом с использованием двух молей строения вюстита выведены выражения для хим. потенциалов FeO и Fe₂O₃. Проверкой этих выражений по опытным данным найдено, что ионы Fe²⁺ и Fe³⁺ в вюстите неразличимы и что конц-ия вакансий в вюстите равна нулю.

Резюме

12 Б1208. Расчет границ вюститной области. Лаптев Д. М. «Ж. физ. химии», 1969, 43, № 12, 3132—3133

При помощи выражений для хим. потенциалов FeO и Fe₂O₃ в вюстите выведены ур-ния равновесий левой и правой границ вюститной области и проведено сравнение результатов расчета с опытными данными. Резюме

X. 1970

• 12

+1



(FeO)

Fe₂O₃

1969

12 Б1209. Термодинамика вюстита. Лыка-
сов А. А., Кузнецов Ю. С., Пилько Е. И., Шиш-
ков В. И., Кожеуров В. А. «Ж. физ. химии», 1969,
43, № 12, 3124—3125

термод. св-ва

Из измерений э. д. с. гальванич. ячеек с тв. O²⁻-ион-
ным электролитом в области 700—1200° определены
границы области гомогенности вюстита и т-ная зави-
симость энергии смешения FeO и Fe₂O₃. Результаты
представлены графически и подтверждают справедли-
вость положения, что термодинамич. св-ва вюстита мо-
гут быть описаны как св-ва ионного р-ра без переста-
новочной энтропии смешения в предположении неразли-
чимости ионов Fe²⁺ и Fe³⁺.

А. Гузей

X. 1970

12



+1



FeO
Fe₂O₃

(low T)

unpubl.
cb 69

1969

71403f. Thermodynamics of wustite. Lykasov, A. A.; Kuznetsov, Yu. S.; Pil'ko, E. I.; Shishkov, V. I.; Kozheurov, V. A. (Politekh. Inst., Chelyabinsk, USSR). *Zh. Fiz. Khim.* 1969, 43(12), 3124-5 (Russ). The emf. method was used for the study of thermodynamic properties of wustite. Emf. of a cell Pt Fe, FeO ZrO₂ + CaO FeO_x Pt was measured at 700-1200° and at a pressure of 10⁻⁴ torr. Mixed crystals of the ZrO₂-CaO system at a mol. ratio of 85:15 were used as the solid electrolyte. Wustite was assumed to be an ionic soln. without the configurational entropy of mixing (CA 46: 2886h) for the treatment of exptl. results. Dependence of emf. on ξ , which is the no. of O atoms going to one atom of Fe in wustite, had a linear form at all temps. studied. Lines detg. the region of homogeneity of wustite were plotted vs. the temp. and mass content of O in wustite. The values of energy of mixing of FeO and Fe₂O₃ at various temps. were evaluated.

Frantisek Cejnar

C.A. 1980.

72: 14

+1



4 Б1089. К методике изучения термодинамических свойств нестехиометрических окислов. Лыков А. А., Кузнецов Ю. С., Пилько Е. И. «Сб. научн. тр. Челяб. политехн. ин-та», 1969, № 53, 7—13

На двух установках с горизонтальным и вертикальным расположением ячейки (во втором варианте использовался молибденовый нагреватель) в т-рной области 600—1100° измерялись э. д. с. ячеек с твердым электролитом типа $\text{Pt}|\text{Fe}, \text{FeO}|\text{ZrO}_2+\text{CaO}|\text{FeO}_{1+x}|\text{Pt}$ при x от 0,063 до 0,135. Состав образцов определялся кулонометрически. Полученные данные, представленные в виде графиков, использованы для определения границ области существования вюститной фазы и зависимости энергии смешения FeO и $\text{Fe}_2\text{O}_3(Q)$ от т-ры. Изотермич. зависимости э. д. с. (E) от состава хорошо описываются линейными ур-ниями вида $E = \text{const} - 4Q/F\xi$, где ξ — отношение атомных долей О и Fe, соотв. Результаты хорошо согласуются между собой и с большей частью лит. данных.

А. Гузей

Окислы

FeO_{1+x}

X · 1970 · 4

NiO, Cu₂O, FeO, Fe₂O₃ (Al₂O₃) 6 1969

elioriyama Y.; Sato N.; Asao H.;
Kozuoka T. VI 6368

elecm. Fac. Eng. Kyoto Univ. 1969, 31(Pt 2),
253-67

Thermodynamic study on systems
of metals and their oxides
by electromotive force measure-
ments using solid electrolytes.

MOP

8

CH 1969, 41, N 22, 106012m

~~01822m~~ Determination of phase boundaries and thermodynamic functions in the iron-oxygen system by e.m.f. measurements. Rizzo, Harry F.; Gordon, Ronald Stanton; Cutler, Ivan B. (Univ. of Utah, Salt Lake City, Utah). *J. Electrochem. Soc.* 1969, 116(2), 266-74 (Eng). Coulometric titrn. in a high-temp. cell by employing a stabilized zirconia electrolyte was used successfully in the detn. of phase boundaries and related thermodynamic data in the Fe-O system. The standard free energy of formation of O-deficient wustite was detd. at 540-1200°.

1969

Values agree to within 500 cal. of the most crit. reviewed data. The free energy of reaction for the formation of magnetite from wuestite and O was detd. at 900-1200°. The compn. of the Fe-rich boundary of wustite decreased very slightly in O content with increasing temp. For all practical purposes, however, the compn. of the boundary can be considered const. at $\text{FeO}_{1.05}$. The compns. of O-rich wuestite agreed fairly well with existing data. Evidence was presented, however, for the existence of addnl. phases in the region of the Fe-O diagram between the presently reported O-rich wuestite and magnetite. The temp. for the $\text{Fe}, \text{Fe}_2\text{O}, \text{Fe}_3\text{O}_4$ 3-phase equil. was detd. exptl. as $610 \pm 10^\circ$. Extrapolation of low temp. ($T < 900^\circ$) ($\text{Fe}_3\text{O}-\text{Fe}_3\text{O}_4$ equil. data resulted in lower transformation temps. RCJV

6/24/69

C. A : 1969 . 10.14

VI-6244

1969

Fe_xO

3 Б791. Определение фазовых границ и термодинамических функций системы железо — кислород из измерений э. д. с. Rizzo H. F., Gordon R. S., Cutler I. B. The determination of phase boundaries and thermodynamic functions in the iron/oxygen system by EMF measurements. «J. Electrochem. Soc.», 1969, 116, № 2, 266—274 (англ.)

59f

С помощью кулонометрического титрования в ячейке со стабилизированной ZrO_2 в кач-ве тв. электролита определены фазовые границы и энергия образования богатого железом вюстита Fe_xO . Границный состав в интервале 1050—1200° можно принять $FeO_{1,05}$, так как с ростом т-ры содержание O уменьшается очень слабо: повышению т-ры на 300° отвечает изменение x на 0,00077.

X·1970

3

В интервале 540—1200° для р-ции $x \text{Fe} + 1/2\text{O}_2$ (1 атм) = Fe_xO получено $\Delta G = -62452 \pm 46 + (15,127 \pm 0,05) T(\text{кал})$. Для р-ции $3/(4z-3) \text{Fe}_z\text{O} + 1/2\text{O}_2$ (1 атм) = $z/(4z-3) \text{Fe}_3\text{O}_4$ в интервале 900—1200° $\Delta G = -75985 \pm 194 + (30,550 \pm 0,15) T(\text{кал})$. При расширении т-рной области до 500° наблюдается отклонение т-рной зависимости э. д. с. от линейности. Результаты кулонометрич. титрования показали наличие между недавно принятым составом богатого кислородом вюстита $\text{FeO}_{1,15}$ и магнетитом ряда двухфазных областей. Обсуждаются условия их идентификации и существования. Подчеркивается пригодность для этих целей использованного метода.

А. Гузей

12 Б1150. Анализ термодинамических данных для стандартного электрода сравнения Fe, $\text{Fe}_{0,95}\text{O}$ в методе электродвижущих сил. Васильева И. А., Мудрецова С. Н., Степина Л. Б., Корнилов А. Н. «Ж. физ. химии», 1969, 43, № 12, 3147—3150

1969

Статистической обработкой лит. данных для интервала т-р 1000—1600° К для р-ции 0,95 $\text{Fe} + \text{CO}_2 = \text{Fe}_{0,95}\text{O} + \text{CO}$ получено $\Delta G^\circ(\text{ккал}) = 3,92 - 4,89 \pm 2,0 \cdot 8,0 \cdot 10^{-2} [1/42 + (T - 1241)^2 / 2,0 \cdot 10^6]^{1/2}$, для $\text{CO} + 1/2 = \text{CO}_2$ $\Delta G^\circ = -67,31 + 20,55 \cdot 10^{-3} T \pm 2,6 \cdot 7,8 \cdot 10^{-2} [1/7 + (T - 1342)^2 / 27,9 \cdot 10^4]^{1/2}$ и для 1,9 $\text{Fe} + \text{O}_2 = 2\text{Fe}_{0,95}\text{O}$ $\Delta G^\circ = -126,78 + 31,33 \cdot 10^{-3} T \pm [58,30 \cdot 10^{-4} + 14,5 \cdot 10^{-8} \cdot (T - 1342)^2]^{1/2}$. При использовании метода э. д. с. тв. электролитом и электродом сравнения Fe, $\text{Fe}_{0,95}\text{O}$ предлагаются работать в таком диапазоне т-р, чтобы средняя т-ра была близка к 1340° К, что позволит использовать более простое выражение зависимости погрешности от температуры.

А. Гузей

$\text{Fe}_{0,95}$

O

0,95

ΔG°

1/4 06

1/1 406

1/3 91 + 1/1 406

X. 1970. 12

1970

FeO_{1±7%}

(16293nd) Nonstoichiometric and ordered phases: thermodynamic considerations. Anderson, John Stuart (Univ. Oxford, Oxford, Engl.). *Chem. Extended Defects Non-Metal. Solids, Proc. Inst. Advan. Study* 1969 (Pub. 1970), 1-20 (Eng). Edited by Eyring, LeRoy. North-Holland Publ. Co.: Amsterdam, Neth. A review and discussion dealing with (1) actual knowledge of Berthollide phases, (2) thermodynamic conditions for stability, and (3) alternative bases on which theoretical models can be erected. Free energy diagrams for Fe-O and U-O systems are included.

Paul M. Duell

+1

C.I. 1971.14.4

18

FeO_{1+y}

2 Б871. Термодинамические свойства вюстита FeO_{1+y} .
Asao Nagihiko, Ono Katsutoshi, Yamaguchi Akio, Moriguma Jotchitro. Thermodynamic properties of wustite (FeO_{1+y}). «Mem. Fac. Eng. Kyoto Univ.», 1970, 32, № 1, 66—77 (англ.)

1970

В области т-р 600—1000° измерены э. д. с. гальванич. ячеек с тв. O^2- -ионным электролитом вида $\text{Pt}|\text{FeO}_{1+y}|\text{ZrO}_2(\text{CaO})|\text{Ni}-\text{NiO}|\text{Pt}$ для 5 составов вюстита в области гомогенности от $y=0,068$ до $0,137$. Состав вюстита определялся по привесу при окислительном обжиге отдельных порций образцов до и после измерений э. д. с. и контролировался рентгенографически. Полученные ур-ния линейной зависимости э. д. с. от т-ры использованы для уточнения границ гомогенности вюстита на фазовой диаграмме, расчета парц. энтальпий и энтропий р-рения O в вюстите разных составов, активностей O и Fe в вюстите и зависимости ии катионных вакансий в вюстите от $P(\text{O}_2)$. Результаты обсуждаются вместе с известными лит. данными.

А. Гузей

перевод
сб вб

X. 1971. 2

FeO_{1+y}

1970

~~use~~ thermodynamic properties of wustite (FeO_{1+y}).
Asao, Haruhiko; Ono, Katsutoshi; Yamaguchi, Akio; Moriyama, Joichiro (Dep. Met., Kyoto Univ., Kyoto, Japan).
~~mem. Fac. Eng., Kyoto Univ.~~ 1970, 32(Pt. 1), 66-77 (Eng).
The thermodynamic properties of wustite were detd. from emf. measurements of the cell, $\text{Pt}|\text{FeO}_{1+y}|\text{ZrO}_2(\text{CaO})|\text{Ni}-\text{NiO}|\text{Pt}$, and the relation between temp., O pressure, and compn. of wustite and the phase boundaries of wustite phase in the Fe-O binary system were obtained and compared with those given by L. S. Darken and R. W. Gurry (1945). The defect structure of wustite is discussed in terms of the O partial pressure dependence of cation vacancy concn. of wustite. CJN

ob. Ba

C.A. 1970 V3.18

FeO

FeO $1+x$

ВФ-VI-7153

1970

13 Б833. Энталпия образования закиси железа

Ария С. М., Яковлева М. С. «Ж. физ. химии», 1970,
44, № 2, 508—512

Методом измерения э. д. с., ячеек с тв. электролитом исследована зависимость энталпии образования закиси железа от состава в интервале т-р 1173—1310° К. Установлено, что эта зависимость не является линейной функцией индекса при кислороде в формуле закиси железа (FeO_{1+x}). На этом основании делается вывод о неправильности рассмотрения закиси железа как атермич. тв. р-ра каких-либо (реально существующих или гипотетич. окислов железа, как это часто принимается при статистико-термодинамич. анализе решетки закиси железа.

Автореферат

ΔH_f

X 1970

13

FeO_{1+x}

1870

ΔH_f

- 125756u Enthalpy of ferrous oxide formation. Ariya, S. M.; Yakovleva, M. S. (Leningrad. Gos. Univ. im. Zhdanova, Leningrad, USSR). *Zh. Fiz. Khim.* 1970, 44(2), 508-12 (Russ). Measurements of the emf. of the galvanic cell, Pt|Fe, FeO_{1+x}(s)|0.85 ZrO₂ + 0.15 CaO|FeO_{1+x} Pt, at 1173-1310°K allowed the detn. of the temp. dependency of the enthalpy of formation of FeO_{1+x} for values of x 0.069-0.1156. ΔH of formation is not a linear function of the O index in the formula FeO_{1+x}. This finding indicates that ferrous oxide cannot be considered for the athermic solid soln. of (real or hypothetical) iron oxides.

M. Dokladal

C.A. 1870 • 42-21

FeD(K)

OM · 21765

1970

Fischer W. A., Patasky G.,

Kp, SfH⁰,
fgc

Arch. Eisenhüttenwesen,
1970, 41, N⁷, 661-673.

FeO

1970

24 Б645. Определение термодинамических свойств и структур вюстита при помощи измерения некоторых физических величин. Janowski Jan, Benesch Ryszard, Białek Henryk, Dargel Lidia, Jaworski Marek, Kołodziejczyk Andrzej, Miklasinski Andrzej, Obuszko Zdzisław. Badania nad określeniem własności termodynamicznych i struktury wistytu metodami pomiarów niektórych wielkości fizycznych. «Zesz. nauk. AGH», 1970, № 267, 7—32 (польск.; рез. англ.)

ДНР
+

Методом Дебая-Шерера, исследованы структуры вюстита со степенью окисления $x_{\text{W}} \cdot n_{\text{O}} / n_{\text{Fe}} = 1,05; 1,10; 1,15$. Обнаружено, что только «закаленные» образцы не со-

X. 1970. 24

должат примесей Fe и Fe_3O_4 . Изучено поведение намагниченных образцов вюстита от т-ры жидк. N_2 до $873^\circ K$. Предложено ур-ние, связывающее величину электропроводности вюстита с x_w . Методом ТГА определены энталпии процесса образования вюстита и парц. мольная теплота образования тв. р-ра его компонентов.

Из ре^зме

FeO

Клюевас Т.Ю.,
Тарогей Т.Н.

1970

Do (расчет)

M. goes. Хибинии,

= 6,496

1970, 44, N 9, 2142

I



(Cu. TiO) III

1970

FeO

2 Б849. Определение парциальных молярных величин в системе кислород — закись железа при 1075°. II. Изменение парциальных давлений кислорода в равновесии с закисью железа. Вычисление парциальной молярной энтропии. Marucco Jean-Francis, Picard Christian, Gerdanian Paul, Dodé Maurice. Détermination des grandeurs molaires partielles de mélange de l'oxygène dans le protoxyde de fer à 1075° C. II. Mesures des pressions partielles d'oxygène en équilibre avec le protoxyde. Calcul de $S^M_{O_2}$. «J. chim. phys. et phys.-chim. biol.», 1970, 67, № 5, 914—916 (франц.; рез. англ.)

Из эксперим. данных по равновесию в системе: CO/CO_2 — тв. фаза FeO вычислено по ур-нию: $lgP_{O_2} = -12,794 + 2 \lg P_{CO}/P_{CO}$ парц. давл. кислорода над закисью железа при 1075° С. Из давл. кислорода вычислены парц. мол. энтропии.

А. А. Грановская

X. 1971. 2

1970

FeO + O

Gibbs H.A. Fe-O?

(102679c) Determination of partial molar values of an oxygen mixture in ferrous oxide at 1075°. II. Measurements of partial pressures of oxygen in equilibrium with ferrous oxide. Calculation of $S_{O_2}^m$. Marucco, Jean F.; Picard, Christian; Gerdanian, Paul; Dode, Maurice (Lab. Chim. Thermodyn., Fac. Sci., Orsay, Fr.); *J. Chim. Phys. Physicochim. Biol.* 1970, 67(5), 914-16 (Fr). The physico-chem. method of equil. between the gaseous phase, CO-CO₂, and FeO was used to det. the partial pressures of O in equil. with the FeO phase. The partial molar entropies of mixing of O in FeO were calcd.

RCQQ

C.I. 1970.73:20

FeO

) 2 Б848. Определение парциальных молярных величин в системе кислород—закись железа при 1075°. I. Прямое:

1971

измерение парциальных молярных энталпий в микрокалориметре для высоких температур. Marucco Jean-Francis, Gerdanian Paul, Dodé Maurice. Détermination des grandeurs molaires partielles de mélange de l'oxygène dans le protoxyde de fer à 1075° C. I. Mesures directes des enthalpies molaires partielles de mélange de l'oxygène à l'aide d'un microcalorimètre à haute température de type Tian-Calvet. «J. chim. phys. et phys.-chim. biol.», 1970, 67, № 5, 906—913 (франц. рез. англ.)

ΔH

см. избр

X. 1971. 2

В микрокалориметре типа Тиана—Кальва при 1075° измерены парц. мол. энталпии компонентов системы кислород—закись железа добавлением к образцу с отношением $O/Fe=1,13$ небольших порций кислорода и измерением выделяющегося тепла с точностью ± 5 ккал. Особое внимание обращено на получение совершенно гомог. образцов. Кривая энталпии возрастает от 120 до 134 ккал при отношении $O/Fe=1,1$, далее этот максимум медленно спадает. Результаты сопоставлены с лит. данными.

А. А. Грановская

FeO

1970

10 Б618. Построение диаграммы состояния нестехиометрической закиси железа. Границы областей и существование трех аллотропных модификаций. Vallet Pierre, Carel Claude. Présentation du diagramme d'état du monoxyde de fer non stoechiométrique: frontières du domaine et existence des trois variétés allotropiques. «Ann. chim.» ((France)), 1970, 5, № 4, 246—249
(франц.; рез. англ.)

X. 1971.

10

Fe_3O_4 , FeO , Fe (P , $\Delta H_{\text{f}}, T_{\text{f}}$) 1970

Сабирзанов Т. Г.

b VI 7247

Д. физ. химии, 1970, 44, N5, 1313-1314

Расчет давления пара Fe_3O_4 ,
 FeO и Fe по термодинамическим
данным.

РНГКиМ, 1970
13.5543

✓

5 (9)

1944

Fe - ~~Kev~~ 61

(Pucciay.)

Mass
enktföck

5781] Mass-spectrometric study of the dissociation of iron oxides. Chizhikov, D. M.; Tsvetkov, Yu. V.; Kazenas, E. K. (Moscow, USSR). *Izv. Akad. Nauk SSSR, Metal.* 1971, (3), 55-61 (Russ.). The thermodynamics was studied for the dissociation of hematite at 1030-1200°K and of magnetite at 1400-1600°K by using a Pt effusion chamber. The dissociation takes place according to the principle of constant compositions: hematite dissociates to form magnetite, magnetite to wustite, and wustite to form Fe and O. Equations are given for the temperature dependence of the dissociation pressure.

C. A. 1944

46. 2

FeO

1979

(sho) 133704c Dissociation energy of ferrous oxide. Balducci, G.; De Maria, G.; Guido, M.; Piacente, V. (Ist. Chim., Univ. Roma, Rome, Italy). *J. Chem. Phys.* 1971, 55(5), 2596-8 (Eng). Dissocn. energy D_0° of $\text{FeO}(g)$ is 97 ± 3 kcal/mole (values 93.4-111.9 kcal/mole are found in the literature). Second- and 3rd-law ΔH_0° values 38 ± 3 and 39 ± 3 kcal/mole, resp., were detd. exptl. for the reaction $\text{FeO}(g) = \text{Fe}(g) + 1/2\text{O}_2(g)$.

C.A. 1979. 55. dd

1941

~~148223y~~ Magnetic properties of iron(II) oxide and of its solid solutions. Importance of deviation from stoichiometry. Evrard, Omer (Serv. Chim. Min., Lab. Metal. Chim. Solide, Nancy, Fr.). *Rev. Chim. Miner.* 1971, 8(1), 63-74 (Fr.). The paramagnetic susceptibilities (χ , in 10^{-6} emu/g atom Fe, cm-g-sec units), Neel temps. (T_N , in °K), paramagnetic Curie temps. (θ , in °K), and effective magnetic moments of the Fe atom (μ_{eff} , in μ_B), resp., of thermally stabilized $Fe_{1-x}O$ are: for $x = 0.056$; 8550, 190.5, -107, 5.26; for $x = 0.108$; 7660, 194.5, -219, 5.62. These results are in accord with the existence of Fe^{3+} -vacancy complexes which leave regions devoid of vacancies. With the addn. of increasing amts. of MgO to $Fe_{1-x}O$, χ increased, T_N decreased, θ decreased through a min. and then became pos., μ_{eff} 1st went through a max., decreased through a min., and then increased again. With addn. of increasing amts. of MnO to $Fe_{1-x}O$, χ , T_N , and θ decreased; while μ_{eff} 1st increased through a max., decreased through a min., and then increased again. With increasing addns. of $Li_{0.5}Fe_{0.5}O$ to $Fe_{1-x}O$, χ and μ_{eff} increased, and θ and T_N decreased. The variation of the behavior of the solid solns. with >20 mole % Mg or Mn is attributed to the formation of a lamellar structure. The solv. of a diamagnetic oxide in $Fe_{1-x}O$ can be detd. from T_N .

DWJF

C.A. 1941. 44:26.

FeO_{76}

O'Keeffe, M;

1971

(T.g. cb. 6a) "U.S. Clearing Fed. Sci. Tech.
Inform. AD. 1971, N 726129, 6,
From. Govt. Rep. Announce.
1971, 71, (16), 256.

● (all. MnO ; I).

FeD JANAF 1971
(Crystal) Tugg.
100-2000°K
(1965)
(Liquid)
100-5000°K

Fe_2O_3 - O. ZANFFI
(Cristal) 11/69

1971

100-1500°K

(1965)

1941

(Fe_{1-x}O)

термодин.
крист
стр-ра

6 Б642. Термодинамические свойства и дефектная структура вюстита $(\text{Fe}_{1-x}\text{O})$. Опо Katsutoshi, Yamaguchi Akio, Mogi Uamata Joichiro. «Нихон киндзоку гаккаиси, J. Jap. Inst. Metals», 1971, 35, № 9, 871—877 (япон.; рез. англ.)

Методом термогравиметрии исследовано атомное соотношение O : Fe в вюстите в интервале т-р 685—1300°. Установлена область стабильности вюстита и найдены термодинамич. функции (ΔF , ΔH , ΔS) для р-ра кислорода в вюстите, зависимость состава от парц. давл. O_2 и энергия образования Fe-вакансий.

З. Б.

ЭЖХ, 1942, № 6

On 26.8.50, 29521 1972

Fe

0,900

15 Б592. Мессбауэрское изучение $Fe_{1-x}O$. Часть II.
Диспропорционирование в области температур от 300
до 700° К. Greenwood N. N., Howe A. T. Mössbauer
studies of $Fe_{1-x}O$. Part II. Disproportionation between
300 and 700° K. «J. Chem. Soc. Dalton Trans. [formerly
«J. Chem. Soc. Ser. A»]», 1972, № 1, 116—121 (англ.)

Проведено изучение диспропорционирования при 300—
700° К резко охлажденных образцов $Fe_{1-x}O$ (I). Сдела-
но заключение, что при т-рах $>500^{\circ}$ К разл. I на
 $Fe_{1-x-y}O$ и $Fe_{1-z-y}O$ происходит слишком быстро и не
может быть зарегистрировано методом мессбауэрской
спектроскопии. Наблюдающееся при этих т-рах умень-
шение квадрупольного расщепления в МС образцов в
зависимости от времени нагревания может быть объяс-

X. 1972. 15.

чено р-цией $(1-4z)Fe_{1-x}O \rightarrow (1-4x)Fe_{1-z}O + (x-z)Fe_3O_4$,
причем увеличение времени нагревания приводит к
уменьшению z . Для образца состава $Fe_{0.90}O$ определены
т-ра Нееля и эфф. поле на ядрах Fe , равные соотв.
 $196 \pm 3^\circ K$ и 340 ± 20 кгс ($77^\circ K$). При т-рах $> 570^\circ K$ дис-
пропорционирование I происходит по след. схеме:
 $4Fe_{1-z}O \rightarrow (1-4z)Fe + Fe_3O_4$. Скорость выделения Fe_3O_4
зависит как от исходного состава I, так и от т-ры его
замораживания, что объяснено различной степенью де-
фектиности структуры I.

В. Я. Рочев

FeO

XVI - 2474

1972

21 Б1022. Электрохимическое определение активности окиси железа в жидким шлаке $\text{FeO}-\text{SiO}_2$. Wanibe Yoshimoto, Yamauchi Yutaka, Kawai Kenji, Sakao Hiroshi. Electrochemical measurement of the activity of iron oxide in $\text{FeO}-\text{SiO}_2$ liquid slag. «Trans. Iron and Steel Inst. Jap.», 1972, 12, № 6, 472—476 (англ.)

(дг)

Показано использование гальванич. ячеек с тв. O^{2-} -ионным электролитом из стабилизированной двуокиси циркония для определения активности окислов Fe в расплавленных шлаках. Описана конструкция, особенности и условия работы соотв-щих ячеек. В интервале $\text{t-p}/1250-1350^\circ$ из измерений э. д. с. определены активности FeO в системе $\text{FeO}-\text{SiO}_2$ (15 составов). Этим же методом при 1411° для р-ции $\text{Fe}(\gamma) + + 1/2\text{O}_2 \text{(газ.)} = \text{FeO} \text{(жидк.)}$ получено $\Delta G^\circ = -56\ 750 + + 11,2\ T$. Результаты сопоставлены с имеющимися лит. данными.

А. Гузей

2 1975 № 21

1982

Fe
X
в юстит

22 Б686. Термодинамика равновесия юстита с металлическим железом или магнетитом и газовой фазой $\text{H}_2-\text{H}_2\text{O}$. Викторович Г. С., Лисовский Д. И., Жаглов В. С. «Ж. физ. химии», 1972, 46, № 6, 1541

В интервале 1073—1373° К циркуляц. методом измерен равновесный состав газовой фазы над смесями железо — юстит и юстит — магнетит. Изотермич. выдержки через 50° К делали при подходе к равновесию с обеих сторон; при этом измеренные величины p_{H_2} различались менее чем на 0,6% от величины общего давл. в системе. Для р-ции $\text{Fe}_x\text{O} + \text{H}_2 = x\text{Fe} + \text{H}_2\text{O}$ получено $\lg K_p = \lg (p_{\text{H}_2\text{O}}/p_{\text{H}_2}) = -983/T + 0,612$. Т-рная зависимость ΔG_t^0 образования юстита имеет вид $\Delta G_t^0 = -63\ 380 + 15,74 T$; а для образования магнетита из элементов получено $\Delta G_t^0 = -258\ 470 + 70,2 T$. П. М. Чукуров

X. 1982. 22

1972

Fe_xO

vacuum

(ΔH°)

(ΔG°)

93725) Thermodynamics of the equilibrium of wustite with metallic iron or magnetite in the hydrogen-water gas phase. Viktorovich, G. S.; Lisovskii, D. I.; Zhaglov, V. S. (Mosk. Inst. Stali Splavov, Moscow, USSR). *Zh. Fiz. Khim.* 1972, 46(6), 1541 (Russ). For the reaction $\text{Fe}_x\text{O} + \text{H}_2 = x \text{ Fe} + \text{H}_2\text{O}$, the following formula was obtained: $\log K_p = \log(p_{\text{H}_2\text{O}}/p_{\text{H}_2}) = -983/T + 0.612$. The temp. dependence of the ΔG values for the formation of wustite and of magnetite from the elements was $\Delta G_f^\circ = -63,380 + 15.74T$ and $\Delta G_f^\circ = -25,8470 + 70.2T$, resp.

M. Wiedemann

C.A.

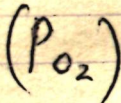
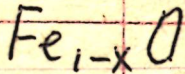
1972. 44. 14

Fl 0,9440(k) 1972

Викторовъ Р. С.;
Лесовскій Д. Н.,
Жарсовъ В. З.

- Кирг. гос. колл.,
1972, 46, с. 1541

1973



4 Б848. Интерпретация термодинамических данных для нестехиометрических фаз. Allibert M. Interprétation des grandeurs thermodynamiques relatives aux phases non stoechiométriques. «Diagrammes phases et stoechiométr. Sémin. chim. état solide, 1971—1972. № 6». Paris, 1973, 19—30. Discuss., 31 (франц.; рез. англ.)

С использованием модели дефектообразования Вагнера — Шоттки и методов статистич. термодинамики проведен анализ опытных данных для нестехиометрич. фаз Fe_{1-x}O , $\text{UO}_2 \pm x$, $\text{UC}_{1 \pm x}$. Выявлена природа дефектов, энергетика их образования, парц. давление кислорода.

Л. Резницкий

+2 P_{O_2} , (P_{C_2})

x. 1975. МЧ

FeO_{1+x}

1973

7 Б826. О способах рассмотрения соединений переменного состава. Ария С. М., Конопелько М. В. «Вестн. Ленингр. ун-та», 1973, № 16, 79—82 (рез. англ.)

Рассмотрены вопросы строения соединений переменного состава на основании анализа зависимости термодинамич. потенциала в нек-рых двойных системах. Наиболее естественным авторы считают рассмотрение многих соединений переменного состава как тв. р-ров соотв-щих стехиометрич. соединений нек-рой бинарной системы, т. к. энталпия образования в-в, состав к-рых отвечает области гомогенности практически совпадает с энталпиею образования мех. смесей соотв-щих стехиометрич. соединений элементов. Поэтому в большинстве случаев область гомогенности правильнее рассматривать как тв. р-р одного стехиометрич. соединения в той структуре, к-рая отвечает его термодинамич. устойчивому состоя-

Х. 1974 № 7

(+) соед. неодн. ст.

нию, и др. стехиометрич. соединения, взятого в его термодинамич. неустойчивой форме, характеризующейся той же правильной системой точек, к-рая лежит в основе структуры первого соединения, но с соответствующей долей незанятых позиций. Так FeO_{1+x} кажется правильным рассматривать как тв. р-р $\text{FeO}_{1,00}$ (структуре типа NaCl) и $\text{FeO}_{1,5}$ не в обычной для этого окисла структуре типа $\alpha\text{-Al}_2\text{O}_3$, а в гипотетич. структуре, представляющей собой решетку типа NaCl , в к-рой одна треть позиций субрешетки атомов железа не занята. Такой подход качественно дает возможность понять причины обрыва области гомогенности до достижения след. простого стехиометрич. состава.

А. В. Салов

FeO

1973

Barin Y, et al

298-1650(sol)

1650-3687 mass I, cmp. 293
(liq)



(cau AgF)I

FeO

Гребенчукова ГВ.,
Грекова О. В.

1973.

△6; кр;

"Пр. ВНИИ цемент. газа
в нар. хоз-ве, козырь.
Хранение нефти, нефте-
и газ. цемент. газов!"

1973,  Бон 6, 7-10.

(есм. ZnO; I)

FeO

J.N. Flengas

Lommel 4355

1973

Cuernos no quis metátes.

loc. mewnes. (1000 - 4000°K)

(0 H₀)

3-7cm, 1973, Bessa, Oberpfalz.

High Temp. EMF measurement
in Solid and Liquid Electrolyt.

raetb vii, crsp 191-275

50919.6128

Ch, TE

(129-111-140) отнесен

FeO

 $\Delta H^\circ; k; \Delta H_f^{29862}$

1144 [1973]

Jensen David E., Jones George A.

Iron compounds in flames. Relative
stabilities of Fe, FeO, FeOH and Fe(OH)₂"J.Chem.Soc.Faraday Trans.", 1973,
Part I, 69, N 8, 1448-1454 (англ.)

ПЕЧЬ СИК

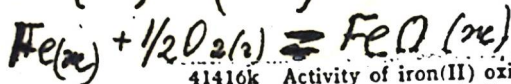
949 950 959

ВИНИТИ

C.C. Faraday

$\text{FeO}(\text{re})$ (46)

1973



41416k Activity of iron(II) oxide in slags. Wanibe, Yoshimoto; Yamauchi, Yutaka; Kawai, Kenji; Sakao, Hiroshi (Metall. Div., Univ. Nagoya, Nagoya, Japan). *Arch. Eisenhüttenw.* 1973, 44(9), 711-17 (Ger). The activity of FeO in the systems $\text{FeO}-\text{SiO}_2$, $\text{FeO}-\text{MnO}-\text{SiO}_2$, and $\text{FeO}-\text{CaO}-\text{SiO}_2$ was detd. at 1250 - 1350° by measuring the activity of O in molten Ag in equil. with the liq. slag. A solid electrolyte of stabilized zirconia, and a Ni-Ni oxide ref. electrode were used to complete the cell. The standard free energy of the reaction $\text{Fe}(\text{liq.}) + \frac{1}{2}\text{O}_2(\text{g}) = \text{FeO}(\text{liq.})$ was $\Delta G^\circ = -56,750 + 11.2T$ (cal/mole) which agrees with literature data. Equations for detg. the basicity of the slag are discussed and an equation is derived for calcg. the activity of FeO in multi-component systems. Isoactivity lines of FeO in the system $\text{CaO}-\text{FeO}-\text{SiO}_2$ at 1300 and 1550° are given.

U. J. C. Ende

C.A. 1974. 80. n8

Fe_{1-x}O

1973

16 Б463. О структуре Fe_{1-x}O . Чыонг Тхи Хонг,
Романов А. Д., Шайович Я. Л., Звичук Р. А.
«Вестн. Ленингр. ун-та», 1973, № 4, 144—149 (рез.
англ.)

Методами рентгеновской и электронной дифракции исследованы монокристаллы $\text{Fe}_{0.92}\text{O}$. Показано, что упорядочение локальных нарушений стехиометрии приводит к кубич. сверхструктуре ($P\bar{4}3m$) с периодичностью $a_{\text{упор}}=8$ $a_{\text{неупор}}$. При локальном составе $\text{Fe}_{0.89}\text{O}$ наблюдался дальний порядок. Предложена идеальная модель порядка для $\text{Fe}_{0.87}\text{O}$ при $\sim 1000^\circ$. Ячейка сверхструктуры содержит 27 комплексов по 16 вакансий и 6 атомов Fe в тетраэдр. позициях в каждом. Следующие 16 ближайших атомов железа незначительно смещаются из октаэдр. позиций. Согласие с эксперим. данными удовлетворительно даже без учета возможных смещений атомов кислорода. При распаде вюстита наблюдалась когерентность начальных выделений Fe_3O_4 .

Резюме

крист.
структур.

X. 1973 № 16

FeO

1974

121944h Heat capacity determination of the effect of dopants upon the metal-nonmetal transition in magnetite and synthetic iron(II, III) oxide. Bartel, James J. (Univ. Michigan, Ann Arbor, Mich.). 1974. 117 pp. (Eng). Avail. Xerox Univ. Microfilms, Ann Arbor, Mich., Order No. 75-10,130. From *Diss. Abstr. Int. B* 1975, 35(11), 5353.

(Cp)

C.A 1975, 83 N14

FeO_x

1974

*нареч.
решетка*

18 Б437. Обсуждение некоторых кристаллографических результатов, полученных в условии термодинамического равновесия твердого вюстита. *Carel Claude*. Discussion de quelques résultats cristallographiques obtenus à l'équilibre thermodynamique sur la wüstite solide. «С. р. Acad. sci.», 1974, B278, № 10, 417—420 (франц.)

Рентгенографически исследован вюстит FeO_x . Установлено изменение параметров с изменением температуры, а также существование трех разновидностей вюстита. Определены температурные границы фаз 979° и 1155° . Параметр рассчитывался МНК по ширине линии рентгеновской дифракции на середине ее профиля. Выведены уравнения, характеризующие параметр в различных температурных областях. Параметр решетки a меняется от $4,3416 \text{ \AA}$ при 934° до $4,3613 \text{ \AA}$ при 1177° . З. В. Пудовкина

X. 1974 N 18

40625.7515

TC, Ch, Ph

FeD 40892

(Kp)

02

1974

Jenson_D., E., Jones G.A. Catalysis of radical recombination in flames by iron.
"J.Chem.Phys.", 1974, 60, N9, 3421-3425

(англ.)

0135 ВКН

ИЗ ИИ7 127

ВИНИТИ

Fed(k) 1974

Премыслов А.Д

ст - Красные деревни-
сельсоветские
окрест.

М.; 189-го 1979

1974

FeO_x

MnO_x

$(P_{\text{O}_2}, \Delta H_f)$

15 Б964. Термодинамическая характеристика и структурная модель нестехиометрических фаз в системах Fe—O и Mn—O. Janowski J., Benesch R., Jaworski M., Miklasinski A. Thermodynamic characteristic and a structural model of a nonstoichiometric phase in the Fe—O and the Mn—O systems. «Pr. Komis. ceram. PAN—Krakowie. Ceramika», 1974, № 21, 139—147 (англ.)

Х. 1975 № 15

+1

Для определения степени окисления FeO_x и MnO_x на образцах Fe_2O_3 и MnO_2 проведены опыты по восстановлению их в области т-р 727—1077° с помощью смесей $\text{CO} + \text{CO}_2$. Полученные образцы изучены с помощью ТГА, рентгеновского и хим. методов анализа. Установлены зависимости между составами фаз FeO_x и MnO_x и парц. давл. O_2 в восстановительной смеси при постоянной т-ре; определены значения молярной парц. теплоты образования тв. р-ров FeO_x и MnO_x в зависимости от степени их окисления. Рассмотрены р-ции, вызывающие образование дефектной структуры у FeO_x и MnO_x .

Л. В. Шведов

1975

 $Fe_{0,95}O$, $Fe_{0,88}O$

19 Б417. Разложение и упорядочение в $Fe_{1-x}O$. Andersson B., Sletnes J. O. Decomposition and ordering in $Fe_{1-x}O$. «J. Appl. Crystallogr.», 1975, 8, № 2, 206 (англ.)

Методами темнопольной электронной микроскопии и микродифракции изучены отожженные при 1000° образцы вюстита (I) состава $Fe_{0,95}O$ — $Fe_{0,88}O$. I характеризуется дефектной структурой типа $NaCl$, однако в зависимости от степени отклонения от стехиометрич. состава FeO наблюдаются различные сверхструктуры, обусловленные упорядоченным распределением вакансий. Для образцов I приведенного выше состава наблюдался существенный порядок в распределении вакансий, возрастающий при длительном нагревании при $t=300^\circ$. По картинам микродифракции диагностированы домены с ромбич. и тетрагон. симметрией. Задокументированы также отражения с $h+5l=2n+1$, свидетельствующие о наличие в образцах периодич. антифазной структуры с $M=2,5$ и смещением атомов на половину трансляции основной (кубич.) ячейки.

С. В. Соболева

x 1975
N19

FeO

Fe(OH)₂Fe₂O₃

FeOOH

Fe(OH)₃

see exp'tl.

(ΔH_f[°])

84: 66002t Thermochimistry of iron group trivalent metal compounds. Burylev, B. P. (Krasnoyarsk. Politekh. Inst., Krasnoyarsk, USSR). Izv. Vyssh. Uchebn. Zaved., Chern. Metall. 1975, (10), 5-8 (Russ). The std. enthalpy of formation (ΔH_f°) of MO, M(OH)₂, M₂O₃, MOOH, and M(OH)₃ (M = Fe, Co, and Ni) obeys the empirical rule $\Delta H_f^\circ(\text{A.H}_2\text{O}) = \Delta H_f^\circ(\text{A}) - 71n$ kcal/mole, where A denotes oxide and n is the no. of H₂O mols. The agreement between the ΔH_f° values estd. by the equation and literature data is very good, the greatest discrepancy being ~8 kcal/mole for Fe(OH)₃. A comparative method of ΔH_f° evaluation for MX₃ (X = F, Cl, Br, I, and OH), M₂O₃, and MOOH (M = Cr, Mn, Fe, Co, and Ni) was developed that is based on linear expressions for the above compds. $\Delta H_f^\circ(\text{M}^1\text{compd.}) = a + b\Delta H_f^\circ(\text{M}^2\text{compd.})$, Where M¹ and M² are 2 different of the 5 above metals, and a and b are consts. characteristic of the M¹-M² pair. The straight lines derived from available exptl. data are given for all 10 M¹-M² pair combinations. From the graphs, recommended ΔH_f° values are presented. Fair agreement between calcd. and exptl. ΔH_f° was obtained. K. V. Aim

C. A. 1976. 84 NID

(72)



(4)

gas Co 4 Ni

1975

Fe_{0,95}O

годовой отчет МГЭ
за 1975 № гор. 17-41
раздел II

М.Г. СБ.БА

Научн. руков. Терешинов
В. В.

Технодин. сб. б2 калькулат.
моб  конструюс.
шагаюшасов...

FeO_x Halstead W.D. 1975

Corros. Sci. 1975, 15(10)

(p) 603-25 (eng)
(see CrO_x ; I)



ст. 15 в работе Hildenbrand

FeO

FeO⁺

FeO₂

(ФО, 84)

З Б10057. Термохимия молекулярных FeO, FeO⁺ и FeO₂. Hildenbrand D. L. Thermochemistry of molecular FeO, FeO⁺ and FeO₂. «Chem. Phys. Lett.», 1975, 34, № 2, 352—354 (англ.).

1975

В интервале т-р 1639—1764 К методом Кнудсена на масс-спектрометре изучен насыщ. пар над Fe₂O₃. Использовались камеры Кнудсена из платины и окиси алюминия. Масс-спектр содержит ионы Fe⁺, FeO⁺, FeO₂⁺, O⁺, O₂⁺ с Пт появления соотв. 8,0; 8,5; 9,5; 14,0 и 12,0 эв (все ±0,5 эв). Показано, что до ионизирующих энергий 30 эв все ионы являются молекулярными. Определены энтальпии ΔH⁰₂₉₈ к газ. р-ций Fe+O₂=FeO+O по 2-му и 3-му законам соотв. 22,5±2,2 и 21,3±3,0 ккал/моль и Fe+FeO₂=2 FeO по 3-му закону 4,6±5,0 ккал/моль. По эксперим. и лит. данным рассчитаны энергии диссоциации D₀⁰ газ. FeO, FeO₂, Fe⁺—O, OFe—O соотв. 4,20±0,13; 8,64±0,22; 3,39±0,20; 4,42 э. в. По Пт появления FeO⁺ рассчитан Пт ионизации FeO, равный 8,71±0,10 эв.

М. В. Коробов

FeO⁺

FeO

(ФО)

(У, АР)

X1978 N3

18

1975

FED

Васильева Н.А. н.гр.

SG

№. gray. Russell, 1945, 49,

N9, 2169-2174



X 1976 N3

CII NRD; I

FeO

1975

(46f)

84: 65822y Activity of components, thermodynamical characteristics of reactions, and phase equilibria in the iron-oxygen system at high temperatures and pressures. Kurepin, V. A. (Inst. Geokhim. Fiz. Miner., Kiev, USSR). *Geokhimiya* 1975, (10), 1475-83 (Russ). By using the dependence of partial O pressure on compn. of phases in the Fe-O system, the activities of components in all phases of the system and thermodn. characteristics of a no. of reactions between components in their std. state were calcd. using the

C.A. 1976, 84 w10

Gibbs-Duhem equation. In particular the value of the free energy of stoichiometric FeO wustite formation from the elements was detd.: $\Delta G_{FeO} = 62.42 + 0.01518T$ (kcal/mole). A thermodyn. anal. of the pressure (P) influence upon phase equil. was carried out. At P about 150 kbars magnetite is decomposed into wustite and hematite. Min. pressures of stoichiometric wustite stability are from 22 kbar at 450° to 51 kbar at 1300° . At a pressure below 22 kbars eutectoid decompn. of the nonstoichiometric FeO_x wustite occurs. Conditions of stability of the nonstoichiometric wustite with a definite x value were detd.

1975

 FeO_x

9 Б908. Термодинамические свойства твердого вюстита выше 911° . Valet et Pierge. Sur les propriétés thermodynamiques de la wüstite solide au-dessus de 911°C . «С. г. Acad. sci.», 1975, C281, № 10, 291—294 (франц.; рез. англ.)

Предложенное ранее ур-ние $\lg p' = (a_i T^{-1} + b_i)x + c_i T^{-1} + d_i$, в к-ром p' — равновесное давл. кислорода над вюститом FeO_x , T — абрс. т-ра, a_i , b_i , c_i , d_i — эмпирич. константы, использовано для описания термодинамич. св-в FeO_x выше 911° в трех областях существования вюстита ($i=1, 2, 3$). Табулированы константы a_i , b_i , c_i , d_i и полученные результаты сопоставлены с лит. данными для изотерм $1000, 1075, 1100, 1200, 1300$ и 1400° . Отмечено хорошее совпадение расчетных данных с результатами работ Даркена и Гарри, Марукко и Тузелина.

П. М. Чукуров

наличия.
исследований,
 P_{O_2})

X1976 №9

Fe_{1-x}O

CeO_{2-x}

T_{tr}

(7)

☒

Campserveux

1976

6 ББ90 Д. Термодинамическое исследование окислов $Fe_{1-x}O$ и CeO_{2-x} . Campserveux M. Contribution à l'étude thermodynamique des oxydes. $Fe_{1-x}O$ et CeO_{2-x} . Thèse doct. sci. phys. Univ. Paris-Sud, 1976. 104 p., ill. (франц.)

Методом ТГА определены пределы существования фазы $Fe_{1-x}O$ при т-рах $>1000^\circ$, а также изучено существование $Fe_{1-x}O$ в равновесии с фазой $Fe_{1-x}O - Fe_3O_4$ и в контакте со смесью $CO - CO_2$. Методом ТГА и с помощью микрокалориметрии оценена устойчивость и пределы существования окисла CeO_{2-x} . В интервале $1,65 < O/Ce < 1,70$ CeO_{2-x} существует в виде фазы С-типа. Обнаружено существование окисла Ce_7O_{12-x} , к-рый разлагается в интервале $1023 - 1080^\circ$. Полученные результаты обсуждены с привлечением модельных представлений в рамках статистич. термодинамики.

Ж. Васilenko

Х-NC 1998

1976

Fe-W
Fe_{1-y}O
фазов.
диагр.

1 Е564. Введение в описание фазовой диаграммы твёрдого вюстита. I. Структурные доказательства аллотропии. Саге Г. С., Gavaggi J. R. Introduction to description of phase diagram of solid wüstite. I. Structural evidence of allotropic varieties. «Mater. Res. Bull.», 1976, 11, № 6, 745—756 (англ.)

Обнаружены три модификации вюстита (w_1 , w_2 и w_3), устойчивые выше 911°C , и три другие (w'_1 , w'_2 и w'_3), стабильные ниже этой температуры. Существование высокотемпературных фаз подтверждается статистич. анализом собственных и литературных данных о зависимости параметров решетки вюстита от температуры и состава, а также дилатометрическими измерениями. Три низкотемпературные фазы обнаружены прямыми термогравиметрическими и структурными исследованиями.

Б. Г. Алапин

φ 1977 № 1

FeO_x (Вюстит)

1946

1 4 Б1042. Введение в описание фазовой диаграммы твердого вюстита. I. Структурные доказательства существования аллотропных модификаций. Carel C., Gavagli J. R. Introduction to description of phase diagram of solid wüstite. I. Structural evidence of allotrophic varieties. «Mater. Res. Bull.», 1976, 11, № 6, 745—756 (англ.)

На основании собственных эксперим. исследований и статистич. обработки имеющихся в лит-ре данных в координатах $T-x$, где $x=O/Fe$, построена фазовая диаграмма вюстита в интервале т-р 500—1500° и x от 1,03 до 1,20. Рассмотрена возможность существования трех аллотропных модификаций ω_1 , ω_2 и ω_3 при т-ре $>911^\circ$ и трех других модификаций ω'_1 , ω'_2 и $\omega'_3 < 911^\circ$.

Л. Д. Исхакова

(Tet)

Х. 1947. № 4

Oxides of Fe

1976

85: 69147a Study of the isomorphic transitions of some iron oxides. Marchidan, D. I.; Pandele, Liana (Cent. Phys. Chem., Bucharest, Rom.). *Rev. Roum. Chim.* 1976, 21(5), 661-6 (Eng). The enthalpy was detd. of Fe oxides at 400-965°K by a drop calorimetric method. The isomorphic transitions were obsd. in the heat content-temp. curves.

(ΔH)

C.A. 1976 85 1/10

1976

FeO

Fe₂O₃

FeX

X = 1.0, 0.0001

86: 19961m Thermochemical analysis of the reduction of iron compounds. Mann, R.; Krapp, H.; Sternisa, D. (Ber. Friedberg-Hessen, Fachhochsch. Giessen, Giessen, Ger.). Radex Rundsch. 1976, (3), 759-63 (Ger). Gibbs free energies for the redn. of FeO and Fe₂O₃ at 1700-2000 K and Fe halides (≤ 1100 K) are calcd. Reductants include Mg, Al, Si, Ca, Ti, V, and Mn.

P. H. Lewis

(46f)

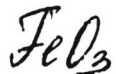
⑦2

C.A. 1977-86n4

1976



P 84: 170546j Approximate estimation of heats of formation
of iron oxides of higher degrees of oxidation. Reznitskii, L.



A.; Dement'ev, G. K. (Mosk. Gos. Univ., Moscow, USSR).
Vestn. Mosk. Univ., Khim. 1976, 17(1), 57-60 (Russ).



- The heats of formation were estd. by an approxn. method of FeO_2 , FeO_3 , and FeO_4 to be -94, +13, and +256 kcal/mole resp.
The higher oxides of Fe are unstable as compared to hematite.

(ΔH_f)

②

C.A. 1976 84 n24

XVI -31607

FeO₃

17 Б805. Приближенная оценка теплот образования окислов железа высших степеней окисления. Резницкий Л. А., Деменский Г. К. «Вестн. Моск. ун-та Химия», 1976, 17, № 1, 57—60 (рез. англ.)

1976

По лит. данным обсуждена зависимость ΔH (обр.) окислов MO_x , где $M=s$ и sd металлы IV периода, от величины x . Наличие излома на кривой ΔH (обр.) $MO_x = f(x)$ объяснено резким изменением энергии связи $\varepsilon(M-O)$ в окислах высшей валентности. В предположении, что в окислах MO_x сохраняется один свободный электрон, а электроны, поставляемые на связи $M-O$ изоэнергетичны, рассчитаны величины $\varepsilon(M-O)$ для изученных металлов при $x \rightarrow 0$, а также значения $\varepsilon(M-O)$ при $x=2$ и величины $d\varepsilon/dx$ при $x \geq 1,5$ для Ti, V, Cr, Mn. Экстраполяцией величины $d\varepsilon/dx$ от Mn к Fe получено значение $d\varepsilon/dx$ (Fe—O), равное 17 ккал/г-атом O. Значения $\varepsilon(Fe-O)$ в окислах FeO_2 , FeO_3 и FeO_4 составили 39,1; 22,1; 5,1 ккал соотв. Величины ΔH (обр. высших окислов Fe рассчитаны на основе соотношения ΔH (атомизации) $FeO_x = \Delta H$ (атомиз.) $Fe + D(O_2) - \Delta H$ (обр.) FeO_x и составили для FeO_2 , FeO_3 и FeO_4 соотв. —94, 13 и 256 ккал/моль. Обсуждена неустойчивость FeO_2 по отношению к Fe_2O_3 . Ж. Василенко

FeO₂

(ΔHf)

Х 1976 № 17

3160

XVI

1976

FeO

Сибирь Д. С. и гп.

($\Delta M_{\text{рас}}$
 $\Delta S_{\text{р-рас}}$
 $\Delta \Theta_{\text{р-рас}}$)

И. физ. колл. 1976, 50,
N 12, 3109-11.



(Co. LiBH₄; I)

$Fe_{0.947}O$

1977

Barin Y., et al

298 - 1645 (B.) mass II, emp. 248, 249

1650 - 300 (rc)

● (cuc Ag) I

FeO_x

Бурылев Б.П.

1977

(термодинам. свойства)

89: 47230c Thermodynamic properties of a high-temperature region of the iron-oxygen system. Burylev, B. P. (USSR). *Fiz.-khim. Issled. Metallurg. Protsessov* 1977, (5), 80-4 (Russ). From *Ref. Zh., Metall.* 1978, Abstr. No. 3A22. Title only translated.

C.A. 1978. 89 n6

Fe
O
1965

1977

87: 30000p The thermodynamic values for solid wustite
Vallet, Pierre (Paris, Fr.). *C. R. Hebd. Seances Acad. Sci., Ser. C* 1977, 284(15), 545-8 (Fr). Previous work on expressions for enthalpy and entropy of 3 varieties of solid wustite (V. 1965) is expanded. Tables are presented for consts. in equations from 856 to 1184°K and P = 1 atm. Expressions for C_p are also deduced. All forms of wustite exhibit a lambda point at T \approx 1038 K.

A. J. Miller

Begun!

C.A. 1977. 87 n4

FeO+

1974.7

Rosenstock H. W. et al

J. Phys. Chem. Ref. Data,
1974, 6. Suppl. N1, p 1-572

T. G.
Cobas

FeO₂

1977

12 Б818. Энергетика координационных полиэдроз.
Резницкий Л. А. «Вестн. МГУ. Химия», 1977, № 6, 699—704 (рез. англ.)

С использованием термохим. и кристаллохим. данных вычислены энергии предпочтения катионов к кубооктаэдрич. окружению ионов кислорода в структуре типа перовскита. Установлена корреляция между ΔH (обр.) перовскитов из окислов и энергиями предпочтения. Приведены соотношения между безразмерными термо-

хим. и кристаллохим. параметрами для двойных окислов типа шпинели и перовскита. Оценены энергии предпочтения к октаэдрич. позициям в решетке типа шпинели ионов Ti^{4+} и Sn^{4+} , равные —11 и —14 ккал/г-ион. Вычислена ΔH (обр. 298, FeO₂, тв.) = —89 ккал/моль.

Л. А. Резницкий

$\Delta H_f^{\circ} 298$

Х, 1977, VI/2

FeO_x

1977

Xpyuzh M. C.

Khrushchev M. S. et al

$(\Delta H_f^\circ, \Delta S_f^\circ,$
 $\Delta G_f^\circ, K_p)$

Zh. Fiz. Khim. 1977, 51(9),
2402.



all FeO_x - I

FeO_x

Дружинин М. С.

1977

(Рег. „М. физ. хими“ АН ССР)

м. ген.

дн, 1977, 26 с, библиограф 3 нацв.

сб. ба

(Рукопись gen. в высшему

3 февр. 1977г. № 466-ff пер.)

(одн. MnCr_x; I)

FeO_x (вюстит)

1977

17 Б963. Термодинамические свойства твердого вюстита. Vallet Piette. Sur les grandeurs thermodynamiques de la wüstite solide. «C. r. Acad. sci», 1977, C 284, № 15, 545—548 (франц.; рез. англ.)

С использованием лит. данных выведены термодинамич. ур-ния, представляющие т-рые зависимости энталпии и теплоемкости трех образцов вюстита FeO_x в интервале 856—1038° К, 1038—1184° К и $>1184^{\circ}\text{K}$. Эти ур-ния имеют вид: для энталпии $H_i = A_i T^2 + B_i T + C_i$ (1), для теплоемкости $C_p = 2A_i T + B_i$ (2) и для энтропии $S_i = 2A_i T + \ln T + S_i$ (3), в к-ых эмпирич. коэф. A_i , B_i , C_i , являются ф-циями стехиометрич. коэф. x и давл. P . Табулированы величины коэф. A_i , B_i , C_i для указанных т-рых интервалов и давл. 1 атм.

П. М. Чукров

2. 1977 N 14

Fe_{0.947}O_(K) (DM. 20681)

1978

Bonnet Y., Perrin Y.,

K_{p,dfG};

C.R. Acad. Sc. Paris,
1978, 286, 103-105.

FeD_x

1978

Bonnet Jean-Pierre,
Perrin Joëlle.

$\Delta G; \Delta H_f$; C. R. Acad. sci., 1978,
C286, N3, 103-105.

● eco. p.K
($\text{Ca}, \text{Ce}_2\text{O}_3$; I)

Fl- α O

(OM. 31054)

1978

PHOCNUM

Harrison H.R.,
Aragon R.,

KP;

Nat. Res. Bull. 1978,
13, 1097-1104.

FeO

Omnueck 14263
Omnueck - 6094

1978

Shchedrin W.M., Rulin
Kov J.S., et al.
kp

J. Chem. Thermodyn.,
1978, 10, 9-18.

BCh - VI - 8006

FeO_x

отмечен 6.2.03

1978

- 1) 11 E590. Термодинамическое рассмотрение системы железо—кислород. Spencer P. J., Kubaschewski O. A thermodynamic assessment of the iron-oxygen system. «CALPHAD», 1978, 2, № 2, 147—167 (англ.)

Проведено рассмотрение термодинамич. свойств фаз в системе Fe—O. Собраны данные о фазовых равновесиях с виоститом, магнетитом, гематитом, жидкими окислами, растворами кислорода в α -, γ -, δ - и жидким Fe. В качестве стандартного состояния выбран твердый виостит. Приведены аналитич. выражения для термодинамич. ф-ций фаз и фазовых границ в системе Fe—O. Библ. 92.

И. А. Корсунская

Сервисная работа, для $Fe_{0,947}O$ вспомог.

$$S_{ws} = 59,85$$

(Для $FeO - S_{ws} = 61,5$)

Ф. 1978, N 11

FeO_x

Ommuc 6203)

1948

89: 153643z A thermodynamic assessment of the iron-oxygen system. Spencer, P. J.; Kubaschewski, O. (Lehrstuhl Metall-Kernbrennst. Theor. Huettenkd., Rheinisch-Westfael. Tech. Hochsch., Aachen, Ger.). *CALPHAD: Comput. Coupling Phase Diagrams Thermochem.* 1978, 2(2), 147-67 (Eng). Selected and(or) calcd. values for the thermodyn. properties of wustite are given for the O/Fe ratios 1.06-1.16. The data are based on the critically reviewed literature values for Fe-O system. Data were also selected for the wustite-magnetite and wustite-hematite equil., and the magnetite, hematite, and liq. oxide phase fields.

*M. GUTH
LB-62*

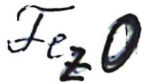
CA, 1948, 29N18

$$\text{Fe}_{0,945}O; \beta_{w\gamma} = 59,79 \text{ Dm} \cdot \text{K}^{-1} \cdot \text{mol}^{-1} \cdot 1,00 \text{ to } 28$$

$$\text{Fe}_{0,947}O; \beta_{w\gamma} = 59,85 \text{ Dm} \cdot \text{K}^{-1} \cdot \text{mol}^{-1} \cdot 1,0272$$

$$\text{FeO} : \beta_{w\gamma} = \underline{\underline{61,5}}$$

1979



$$z = 0,943, 0,938;$$

0,929

 T_N

15 Б364. Магнитная структура нестехиометрической окиси железа. Battle P. D., Cheetham A. K. The magnetic structure of non-stoichiometric ferrous oxide. «J. Phys.», 1979, C12, № 2, 337—345 (англ.)

Нейтронографически (метод порошка, λ 1,325 Å, монохроматор—(511) Ge с углом рассеяния 75° , изотропный тепловой фактор, профильный анализ) исследована при комн. т-ре и $4,2^\circ\text{K}$ структура Fe_zO (I) с $z=0,943; 0,938; 0,929$. I является антиферромагнетиком с $T_N \approx 200^\circ\text{K}$. Установлено, что при комн. т-ре в структуре I наряду с атомами Fe в октаэдрич. пустотах кислородной подрешетки имеется небольшое кол-во атомов Fe в тетраэдрич. пустотах, причем отношение числа вакансий в октаэдрич. подрешетке к числу занятых тетраэдров составляет величину, близкую к 3. Это согласуется с предложенной в работе (Cheetham A. K., Fender B. E. F., Taylor R. I., J. Phys. C: Sol. St. Phys. 1971, 4, 2160)

УМН

x.1979,N15

моделью кластеров, согласно к-рой атом Fe в тетраэдре окружен четырьмя октаэдрич. вакансиями, причем такие кластеры могут располагаться парами или тройками (соотношение числа октаэдрич. вакансий и занятых тетраэдров изменяется в этих случаях до 6:2 и 8:3 соотв.). На основе данных о магнитном рассеянии нейтронов в I при $4,2^{\circ}$ К высказано предположение об антиферромагнитном взаимодействии тетраэдрич. катионов и окружающих их атомов Fe. Магнитные моменты вблизи кластеров лежат в плоскости (111), и не параллельны <111>, как в неискаженной решетке I. Кластеры представляют собой ферримагнитные домены в антиферромагнитной матрице. Взаимодействие их друг с другом несущественно, влияние поля обуславливает увеличение низкот-рной намагниченности при возрастании конц-ии дефектов.

С. Ш. Шильштейн

FeO

(Omnibus 8936)

1979

derrit. 8936 V. A.

(167)

paarig

Refr. int. hautes Temp.
Refract. (Fe), 1979, 16
187 - 209

$\text{Fe}_{0.947}\text{O}_{(K)}$ (Dm. 27808)

1979

Myers J., Carter W.D.,

KP, SfH Amer. Mineral., 1979,
64, 224 - 228

F20

1979

Moscow T.K. eggs.

(In, p. 246, 250) Zvezd. АПССР, 1979,
246 (3), 656-8

(cur. Cab; I)

Feld

1979

Резниковский Н.А.

(Красн)

Пермогородицкие свойства и субдисперсные оксидные материалы
Электротехническое
техническое.

Р, АНТр,

§, АФН;

Автореферат докторской
на соискание ученой
степени к.х.н.
Москва 1979, ИИТУ.

1979

FeO

10 Б911. К исследованию твердого нестехиометрического моноксида железа. Диаграмма $T-P-X$. Vallet P., Caget C. Contribution a l'étude du monoxyde de fer solide non-stoechiométrique. Diagramme $T-P-X$. «Mater. Res. Bull.», 1979, 14, № 9, 1181—1194 (франц.; рез. англ.)

Диаграмма

 $T-P-X$

На основании лит. данных, полученных методами ТГА, дилатометрии, рентгенофазового анализа, электрографии, рассеяния нейтронов, измерения э. д. с. твердофазных элементов построена фазовая диаграмма для вьюстита в координатах давл.—т-ра—состав. На диаграмме имеются три фазы W_1 , W_2 и W_3 при $T > 911^\circ$, и три фазы W'_1 , W'_2 и W'_3 при $T < 911^\circ$, а также 23 инвариантных точки, соотв.-щих равновесиям между стабильными фазами, и 3 инвариантных точки, соотв.-щих равновесиям с участием метастабильных фаз. Координаты наиболее важных инвариантных точек табулированы. Приведены ур-ния, описывающие линии, соотв.-щие границам между фазами.

И. Н. Семенов

Р1980.№10

5

1980

 $Fe_{1-x}O$

2 Б773. Состав нестехиометрического вюстита в равновесной атмосфере. Часть I. Смеси $CO-CO_2-Ca$ -relC. Composition de la wüstite non-stoechiométrique en présence d'une atmosphère d'équilibre Abaque I: mélanges CO_2-CO . «Bull. soc. sci. Bretagne», 1976(1980), 51, № 1—4, 25—28 (франц.)

Построена диаграмма состав — $t^\circ - P(O_2)$ для вюстита $Fe_{1-x}O$ для интервала $596 < t < 1400^\circ$ и $10^{-23} \leq P \leq 10^{-6}$ атм; $1,04 \leq x \leq 1,19$. Парц. давление $P(O_2)$ в газовой смеси над тв. фазой задается равновесием $CO + 1/2O_2 = CO_2$.

Л. А. Резницкий

(kp)

X. 1981 № 2

1980

 FeO Fe_2O_3 Kubas
meat.

93: 81325e Iron-oxygen system: thermodynamics of wustite-hematite melts. Gul'tyai, I. I. (Moscow, USSR). *Izv. Akad. Nauk SSSR, Met.* 1980, (2), 41-4 (Russ). Liquidus curves for wustite (FeO) and magnetite (Fe_2O_3) in the $\text{Fe}-\text{O}$ system were constructed from exptl. melt compn. and O dissociation pressure data by using the regular soln. model. The magnetite-hematite eutectic parameters are 1539° , $\log P_{\text{O}_2} = 0.89$, and mol fraction Fe_2O_3 0.864.

(+) 

☒

CA 1980 93 n8

данные 10528 1980

FeO

FeOH

61

6 Б856. Термохимические свойства молекул FeO и FeOH в газовой фазе. Mugad Edmond. Thermochemical properties of gaseous FeO and FeOH. «J. Chem. Phys.», 1980, 73, № 3, 1381—1385 (англ.)

В интервале т-р 1723—1815 К с помощью масс-спектрометра, снабженного Mo эмиссионной ячейкой, исследован состав газовой фазы при пропускании над Fe_2O_3 паров воды и H_2 обнаружены молекулы H(I) , $\text{H}_2(\text{II})$, $\text{H}_2\text{O}(\text{III})$, Fe(IV) , FeO(V) и FeOH(VI) . Изменения Пт ионизации V и VI: $8,8 \pm 0,2$ и $7,9 \pm 0,2$ эВ. Из констант равновесия газофазных р-ций IV+III=V+II(1) и IV+III=VI+I(2) получены $\Delta H_0^\circ(1) = 23,5$ ккал/моль (средняя из величин, рассчитанных по 2-му и 3-му законам) и $\Delta H_0^\circ(2) = 41,4 \pm 4$ ккал/моль (3-й закон). С использованием лит. данных из этих величин получены $D_0^\circ(\text{V}) = 92,3 \pm 3$, $D_0^\circ(\text{Fe-OH}) = 76,9 \pm 4$, $D_0^\circ(\text{FeO-H}) = 85,2 \pm 4$, $\Delta H_0^\circ(\text{обр. VI}) =$

ΔH_f° , D_0

↑

(+1)

(+3)

FeO
FeOH } D_0

2.1981.11.6

$-31,9 \pm 4$ ккал/моль. Рассмотрение сбокуности данных по $D_0^\circ(V)$ дало возможность авторам рекомендовать $D_0^\circ(V) = 93,0 \pm 3$ ккал/моль и $\Delta H_0^\circ(\text{обр. } V) = 65,5 \pm 3$ ккал/моль. Из эксперим. результатов получены $D_0^\circ(\text{Fe}^+ - O) = 3,15 \pm 0,2$ эВ, $D_0^\circ(\text{Fe}^+ - OH) = 3,3 \pm 0,2$ эВ, $D_0^\circ(\text{FeO}^+ - H) = 4,7 \pm 0,2$ эВ и сродство к протону $V = 3,4 \pm 0,2$ эВ. В связи с полученными результатами рассматривается химия иона Fe^+ в верхних слоях атмосферы.

В. В. Чепик

Tex O

1980

Suginoto E. et al

Δf_f Nippon Kinzoku Gakkai-
shi 1980, 44(6), 644-57.



Cu Pb ; I

1980

FeO_x

(v)

20 Б805. Термодинамические свойства подфаз поля вюстита, определенные термогравиметрическим методом в температурной области 1100—1300°. Такая у а т а Eiji, Kimizuka Noboru. Thermodynamic properties and subphases of wustite field determined by means of thermogravimetric method in the temperature range of 1100°—1300° С. «J. Electrochem. Soc.», 1980, 127, № 4, 970—976 (англ.)

Состав вюститного поля (I) при различных $P(O_2)$ определен методом ТГА в интервале 1100—1300°. Определены т-ры, отвечающие фазовому переходу 2-го рода или более высокого порядка в I для каждой изотермы $f(O_2)$ — состав. Построена фазовая диаграмма « t° — состав $\underline{FeO_x}$ » для $1,05 \leq x \leq 1,18$, вычислены термодинамич. функции $\Delta\bar{S}$, $\Delta\bar{H}(O)$ в I для области $1,06 \leq x \leq 1,14$. Проведено сопоставление электрофиз. св-в I (электропроводность, коэф. Зеебека, работа выхода, т-ра $p-n$ -перехода) с диаграммой состояния.

Л. А. Резницкий

роль Na₂O

1981

*FeO_x**Бюстит**P(O₂)**Спайсинг*

17 Б863. Низкотемпературная граница поля стабильности вюстита. Вагбера J. A., Blesa M. A., Магото A. J. G. The lower temperature range of the wustite stability field. «Z. phys. Chem.» (BRD), 1981, 124, № 2, 139—147 (англ.; рез. нем.)

С помощью определения э. д. с. в гальванич. ячейке с тв. электролитом (94 мол. % ZrO₂+6 мол. % CaO) и электродами из смесей Ni, NiO и Fe, FeO_{1+x} в области т-р 550—1050° определена относит. парц. мол. свобод-

ная энергия кислорода в FeO_{1+x} ($0,036 < x < 0,15$). На основе полученных данных рассчитаны значения относит. парц. мол. энталпии и энтропии кислорода в зависимости от отношения O/Fe в предположении гомогенности оксидного р-ра. Определена граница области вюстита в системе Fe—O; значение эвтектоидной т-ры и основные граничные значения области FeO_{1,04}—Fe_{1,15} совпадают с данными Гиддингса и Гордона («J. Am. Ceram. Soc.», 1973, 56, 3, 111) и в высокот-рной области с данными Такаяма и Кимизука («J. Electrochem. Soc.», 1980, 127, 970).

Л. В. Шведов

X. 1981 N 17

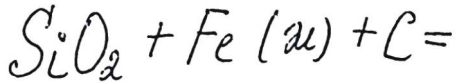
1981

$\text{FeO}_{1.04}$ - $\text{FeO}_{1.15}$

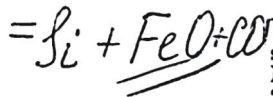
94: 146006u The lower temperature range of the wustite stability field. Barbero, J. A.; Elesa, M. A.; Maroto, A. J. G. (Dep. React. Chem., Natl. Comm. At. Energy, Buenos Aires, Argent.). *Z. Phys. Chem. (Wiesbaden)* 1981, 124(2), 139-47 (Eng). Emf. measurements on galvanic cells involving solid electrolytes were made at 550-1050° to obtain thermodn. data for O in iron oxides, and to det. the lower temp. range of stability of the wustite field. Values of the relative partial molar free energies of O in Fe oxides were evaluated. The relative partial molar enthalpies and entropies of O were calcd as functions of the at. ratio O/Fe. The phase diagram for the range $\text{FeO}_{1.04}$ - $\text{FeO}_{1.15}$ was obtained and compared with published data. The possible existence of the subphases is discussed briefly.

grazovba
grazovba

C.A. 1981, 94, 1618



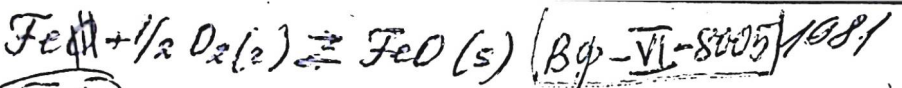
1981



95: 210647d Modeling of equilibrium in an iron-carbon-silica system. Borodulin, E. K.; Moiseev, G. K.; Vatolin, N. A. (Inst. Metall., Sverdlovsk, USSR). *Dokl. Akad. Nauk SSSR* 1981, 259(3), 596-9 [Chem.] (Russ). Equil. compns. of Fe-slag melt systems (inert Ar or CO atm.) were calcd. at 1700-2500 K by assuming the existence of a large no. of possible species. Increasing temp. causes C solv. in liq. Fe to decrease while Si content increases, and Si_xO_y - concn. in the slag decreases while Fe^{2+} content increases. This explains the presence of addnl. O (introduced as CO). Above 2000 K, vapor pressures of SiO , CO_2 , and Fe increase with temp. The equil. const. for the reaction $SiO_2 + Fe(l) + C = Si + FeO + CO$ is $\ln K_p = 29.05 - 61,428.60 T$. For $T < 2000K$, small deviations occur for high C melts.

K_p ;

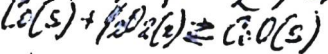
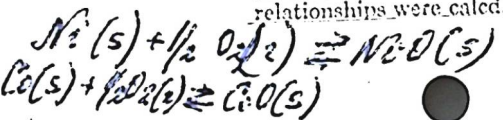
C. A. 1981, 95, w 24



FeO

(kp)

94: 146985u Thermodynamic studies of high temperature equilibria. 25. Solid state emf studies of the systems iron-ferrous oxide, nickel-nickelium oxide, and cobalt-cobalt oxide in the temperature range 1600-1800 K. Jacobsson, Eva; Rosen, Erik (Dep. Inorg. Chem., Univ. Umeå, Umeå, Swed.). *Scand. J. Metall.* 1981, 10(1), 39-43 (Eng). The equil. reactions $\text{Fe}(s) + \frac{1}{2} \text{O}_2(g) \rightleftharpoons \text{FeO}(s)$ (1), $\text{Ni}(s) + \frac{1}{2} \text{O}_2(g) \rightleftharpoons \text{NiO}(s)$ (2), and $\text{Co}(s) + \frac{1}{2} \text{O}_2(g) \rightleftharpoons \text{CoO}(s)$ (3) were studied at 750-1580 K, 960-1580 K and 965-1580 K, resp. The equil. O pressures were detd. from emf. measurements by using galvanic cells involving calcia-stabilized ZrO_2 as solid electrolyte. An was used as ref. in the study of the system Fe-FeO, which was also used as ref. to avoid O permeation in the studies of the systems Ni-NiO and Co-CoO. From the emf. data, the log p_{O2} (temp.) (T) relationships were calcd.



+2



C.A. 1981, 74, 1118

1981

 $Fe_{1-x}O$ Структура,
состав

12 Б454. Дефектная структура и состав $Fe_{1-x}O$.
 Defect structure and composition of $Fe_{1-x}O$. Leighton C., Hobbs L. W. «Proc. 39th Anniv. Meet. Electron Microsc. Soc. Amer., Atlanta, Ga, Aug. 10—14, 1981». Baton Rouge, 1981, 80—81 (англ.)

Проведено электронномикроскопич. исследование (высокое разрешение, картины темнопольного изображения, прямого изображения решетки и микродифракции) образцов синтетич. виостита $Fe_{1-x}O$ ($0,05 < x < 0,15$), полученных методом зонной плавки с послед. отжигом в атмосфере CO/CO_2 . Для изученных образцов отмечена принадлежность к ранее известной фазе P' . Основные отражения на картинах микродифракции соответствуют кубич. структуре типа $NaCl$. Вблизи каждого отражения имеются рефлексы-сателлиты с максимумами на расстоянии $\delta < 100 >^*$ от основного рефлекса. Расстояния δ несколько уменьшаются с увеличением содержания Fe и в целом соответствует обусловленной упорядоченным распределением вакансий сверхструктур.

Х. 1983, 19, N12

струе с параметром a в 2,6 раза большим параметра подрешетки NaCl. Отжиг образцов (при 550 К) ведет к увеличению степени порядка и к образованию доменной структуры, характеризующейся группировкой вакансий в положениях Fe в кластеры. При повышении температуры отжига имеет место преобразование Fe_{1-x}O в магнетит Fe_3O_4 и γ -Fe.

С. В. Соболева

тре

Fed(k,2) |Сммск 15878| 1982

Fe0,947 O(k) хрущёв д. с., Голубкова Г.Г.

Дж H, S^o₂₉₈, Депонентов. рукопись
Cp₂₉₈, Cp(T) ВИНИТИ, № 466-77 Den.,
выбор по Москва, 1977.
мет.данные (TKB !)

FeO Fe_{0.96}O

1982

Acta metallurgica sinica

197: 151647v Oxygen partial pressure and activity of iron titanate (FeTiO_3)-magnesium titanate (MgTiO_3) solid-solution system. Li, Guoxun; Cao, Rongjiang (Gen. Res. Inst. Nonferrous Met., Minist. Metall. Ind., Beijing, Peop. Rep. China). *Jinshu Xuebao* 1982, 18(3), 371-7 (Ch). The O partial pressure and activity of FeTiO_3 - MgTiO_3 solid-solns. were studied by means of the O concn. cell with a solid electrolyte. With Fe/FeO as ref. electrode, the O partial pressure was measured and std. free energy of formation of non-stoichiometric FeO (wuestite) was obtained as $-259,030 + 60.25T$ J/mol. Oxygen partial pressure and wuestite activity for various compns. of the solid-soln. system were measured at 900-1200°. The values increase with increasing temp. The std. free energy of formation of the complex oxide FeTiO_3 , is $-40470 + 19.75T$ J/mol and the activity-compn. relation of this solid-soln. series were obtained.

(+) 18

C. A. 1982, 97, N 18.

FeTiO_3 (SfG)

ch. opnred w/ $\text{FeO}_{0.94} \text{O}$

В лесу на ксерофиле почве

1445 12/68b H23N1 Меркулов 504
(высота в 1 м 80 см)

FeO(k) 1982
Fe_{0.957}O(α) Pan Kratz L.B.
(298-1600) Thermodynamic Proper-
ties of Elements and
Oxides USA Bur. Mines
Bull. 672.

(yuleg beges)

$Fe_{O,947}O(x, \mu)$

1982

Robinson G. R. et al.
U. S. Dep. Interior Geolog.
Survey, OPEN-File Re-
port 83-79, 1982, p. 210.

200-1800K

m.g.

curv. by U.N. Yagakobekoro

210

Fe_{1-x}O (Hf/H) Rogez Oct. 22 1981 1982

DH pacmb.

196: 169S01e Thermodynamic study on wustite as a function of stoichiometric errors. Rogez, J.; Marucco, J. F.; Castanet, R.; Mathieu, J. C. (CTM, CNRS, 13003 Marseille, Fr.). *Ann. Chim. (Paris)* '1982, 7(1), 63-71 (Fr). Nine samples of wustite, Fe_{1-x}O, were prep'd. ($0.0485 \leq x \leq 0.1166$) and their O content checked by elec. cond. measurements. Their enthalpy variation from 299-1179 K and their dissoln. enthalpy at infinite diln. in a (0.5 NaBO₂ + 0.5 LiBO₂) bath at 1179 K were detd. The dissoln. enthalpy is x -dependent. This dependence must be taken into account in order to avoid errors in thermodn. cycles.

C. A. 1982, 96, n120

вюстит

Fe_{1-x}O

$H_{1179} - H_{299}$,
в H_{sol} ,

FeO (ΔH_f)

x. 1982, 19,
V 18.

от. 22681]

1982

18 Б767. Термодинамическое исследование вюстита в зависимости от стехиометрии. Rogez J., Magisco J. F., Castanet R., Mathieu J. C. Etude thermodynamique de la wüstite en fonction des écarts à la stoechiometrie. «Ann. chim.» (France), 1982, 7, № 1, 63—71 (фр.; рез. англ.)

Определены теплосодержание $H_{1179} - H_{299}$ и ΔH раств. вюстита $Fe_{1-x}O$ ($x = 0,0485; 0,0562; 0,0745; 0,0921; 0,1025$ и $0,1166$) в расплаве $0,5 LiBO_2 + 0,5 NaVO_2$ при 1179 К. Содержание О в FeO установлено методом измерения электропроводности. $\Delta H(\text{раств.}) = (-22,7x + 8236)$ кДж/моль, экстраполяция на стехиометрич. вюстит приводит к $\Delta H(\text{раств.}) = 82,36 \pm 3$ кДж/моль. $H_{1179} - H_{299}$ слабо возрастает с увеличением « x ». Для состава $Fe_{0,947}O$ данные по $H_{1179} - H_{299}$ совпадают до 4% с данными Кафлина. Экстраполяция к FeO приводит к $H_{1179} - H_{299} = 44,37$ кДж/моль, что на 10% ниже величины, рекомендованной в JANAF. $\Delta H(\text{обр. } Fe_{1-x}O) = (-24,6x - 264,9)$ кДж/моль, что приводит к $\Delta H(\text{обр. } FeO) = -264,9$ кДж/моль в соответствии с рекомендацией справочника «Термич. константы веществ». Л. А. Резницкий

Мука!

$x=9053$

Мы можем рассмотреть эту разницу,
в которой для $\text{Fe}_{0,942}\text{O}$ получено
значение $H(1179\text{K}) - H(299\text{K}) = 44,37$
 $\text{kJ} \cdot \text{mol}^{-1}$, наименьшее значение, чем в

JANAF (49,54 $\text{kJ} \cdot \text{mol}^{-1}$) и у нас 48,58

и в санках
деле

42,7

de FeO

$\text{kJ} \cdot \text{mol}^{-1}$

и на 7% ниже!

$$\begin{array}{r} 57 \\ - 95 \\ \hline 47,5 \end{array}$$

$$\begin{array}{r} 10,305 \\ - 11,096 \\ \hline 1,391 \end{array}$$

$$0,0562 - 45,05 \\ 0,053 \rightarrow x$$

$$\begin{array}{r} 1.000 \\ - 947 \\ \hline 0053 \end{array}$$

$$\begin{array}{r} 23876 \\ - 2248 \\ \hline 1396 \end{array} \quad \begin{array}{r} 0000 \\ / 562 \\ \hline 42 \end{array}$$

$$\begin{array}{r} 0,2g \\ \times = \\ 0,099 \end{array}$$

$$\begin{array}{r} 45,05 \\ - 0,053 \\ \hline 44,995 \end{array}$$

$$\begin{array}{r} 44,81 \\ - 45,12 \\ \hline 45,13 \\ - 45,16 \\ \hline 13,516 \end{array}$$

$$12,404 = 47,71$$

$$\begin{array}{r} 13 \\ - 15,05 \\ \hline 2,95 \end{array}$$

$$\begin{array}{r} 525 \\ - 525 \\ \hline 0,000 \end{array}$$

$\text{Fe}_{1-x}\text{O}(\text{Brocnium})$ (Am. 22681) 1982

Rogez Y., Marreco G.F.,
et al.,

15H;

Ann. Chim. Fr., 1982,

H1179 -

Z/163-71.

H299;

(N1)



FeO

Omnuck 15597

1982

Sommers C., Ray D.K.

DHF;

Solid State Commun;
1982, 44, N3, 339-343.

FeO_x

вюстит

1983

6 Б3055. Описание термодинамических свойств вюстита с использованием формализма гауссовых функций. The correlation of the thermodynamic properties of wustite by a Gaussian based formalism. Esdaile J. D. «Met. Trans.», 1983, A 14, № 1—6, 771—775 (англ.)

Предложено описывать ΔF (обр.) FeO_x ур-ниями типа

$$\Delta F = C (e^{-h^2(\varphi-1/2)^2} - e^{-h^2/4}),$$

$$\begin{aligned}\Delta \bar{F} (\text{O}) = & 1/2RT \ln P(\text{O}_2) = C (e^{-h^2(\varphi-1/2)^2} - \\& - e^{-h^2/4} - [2h^2\theta N_{\text{Fe}} (\varphi-1/2) e^{-h^2(\varphi-1/2)^2}] / \\& / (\theta (N_{\text{O}} + N_{\text{Fe}}))^2\end{aligned}$$

X. 1985, 19, N6

$$\Delta \bar{F}(\text{Fe}) = RT \ln a_{\text{Fe}} = C(e^{-h^2(\varphi-1/2)^2} - e^{-h^2/4}) +$$

$$[2h^2\theta N_{\text{O}}(\varphi-1/2)e^{-h^2(\varphi-1/2)^2}]/(\theta(N_{\text{O}}+N_{\text{Fe}}))^2,$$

в к-рых $\varphi = \theta N_{\text{O}}/(N_{\text{O}}+N_{\text{Fe}})$, $C = -30\,819 - 8\,884\,990 T^{-1}$ (Дж/моль), $h^2 = 0,219782 + 0,005214 T + 5,285714 \cdot 10^{-6} T^2$ и $\theta = 1,0533 - 452,5617/T + 69047,03/T^2$. Проведено сопоставление с опытными данными. Вычислена ΔF (обр.) метастабильного вьюсита $\text{Fe}_{0,5}\text{O}_{0,5}$ из $\gamma\text{-Fe}$ и O_2 при 1 атм $\Delta F = -130\,413 + 31,411 T$ Дж/моль, что хорошо согласуется с лит. данными.

Л. А. Резницкий

Fe_{1-x}O_x
аном

1983

2 Б3081. Применение термодинамических моделей в описании фазовых диаграмм. Application of thermodynamic models in phase diagram assessment. Hillegt Mats. «Ber. Bunsenges. phys. Chem.», 1983, 87, № 9, 762—769 (англ.)

Разработан методологич. подход к составлению физ. и матем. моделей для описания фазовых диаграмм металлич. сплавов. Рассмотрено использование модели Маргулеса для вычисления энергии Гиббса, метода Гиббса — Дюгема для расчета активности различных физ. и матем. моделей для вычисления S_{конф}, в частности, для вюстита Fe_{1-x}O_x, в том числе и в присутствии Na_{0,5}—Fe_{0,5}O, в системе Fe₂SiO₄—Co₂SiO₄, в тв. р-рах NiO—MnO и в системе Fe—S. Показано, что разные физ. модели описания явления могут приводить к сходному матем. аппарату. С другой стороны, различные матем. модели часто хорошо описывают опытные данные даже в случае различной хим. природы изучаемых веществ.

Л. Резницкий

X. 1984, 19, № 2

[83 KNA] Knacke O. V 1983

Ber. Bunsenges. phys. Chem., 1983,
87, N9, 797-800

The phase boundaries of küstite.

Fe_{0.947}O_{1.3C}

(n. 39284)

$Fe_{1-x}O_x$

вюстит

ОМ 39284 1983

2 Б3041. Фазовые границы вюстита. The phase boundaries of wüstite. К п а с к е О. «Ber. Bunsenges. phys. Chem.», 1983, 87, № 9, 797—800 (англ.)

Представлена часть диаграммы состояния Fe—O в области вюстита $Fe_{1-x}O_x$ (I) при $0,50 < x < 0,55$ и в интервале т·р 843—2000 К. Наиболее надежными данными являются полученные в работах Даркена и Гурри (1945) и Сварупа и Вагнера (1967). На границе Fe—I миним. значение $x=0,5121$ при 1184 К. Аппарат хим. термодинамики использован для вывода ур-ний Гиббса и вычисления парциальных термодинамич. ф-ций р-рения Fe и O в I, а также для расчета фазовых границ Fe—I и I— Fe_3O_4 в хорошем согласии с опытными данными.

Л. А. Резницкий

д. 1984, 19, № 2

Fe_{1-δ}O
вьюстит

Mc Kee

1983

- 5 Б3109. Анализ стехиометрии и температурная зависимость диффузии катиона в вьюстите Fe_{1-δ}O. Analysis of the stoichiometry and temperature dependence of cation diffusion in wustite, Fe_{1-δ}O. Mc Kee R. A. «Phys. Rev. B: Condens. Matter.», 1983, 28, № 6, 3007—3013 (англ.)

Выведено ур-ние, связывающее коэф. хим. диффузии D с коэф. диффузии меченого атома D^* : $D_{\text{Fe}} = (D_{\text{Fe}}^*) / f_{\text{Fe}} \delta \cdot (d \ln a_0 / d \ln \delta)$, где a_0 — активность кислорода в вьюстите Fe_{1-δ}O (I), δ — отклонение от стехиометрии и f — фактор корреляции. Это ур-ние применимо для анализа эксперим. данных по хим. диффузии катиона железа в I. Фактор корреляции для диффузии катиона железа составляет $f=0,87$ для $\delta=0,06$ и $0,65$ для $\delta=-0,10$. Результаты рассмотрены в рамках дефектной структуры I.

Л. Г. Титов

X.1984, 19, N.5

Feb

1983

Pedley J.B., Marshall

E.M.

J.H., J. Phys. Chem. Ref.

Do Data 1983, 12 (4),

• 967-1031.

FeO

1983

1 Б3162. Связь между энергией решетки и температурой плавления оксидов 3-d металлов(2+). Relation between lattice energy and melting points of 3d metal(II) oxides. Singh D. K., Mathur O. P., Hussain M. M. «J. Indian Chem. Soc.», 1983, 60, № 4, 407—408 (англ.)

Показано, что соотношение между энергией решетки ($-u_0$) и т. пл. оксидов 3-d металлов (Sc, Ti, V, Cr, Mn, Fe, Co, Ni, Cu, Zn) удовлетворительно описывается линейным ур-нием $T_{\text{пл}} = (4,99 \pm 1,07) u_0 - 2721,33$, и все рассмотренные оксиды имеют близкие величины отношения $-u_0/T_{\text{пл}} = 0,46 \pm 0,02$. Исключение составляет FeO, для к-рого $-u_0/T_{\text{пл}} = 0,56$, что объясняется изменением $T_{\text{пл}}$ за счет нестехиометричности состава оксида Fe при 900—1300 К ($\text{Fe}_{0,95}\text{O}$). Исходя из общей тенденции, присущей рассматриваемому семейству ок-

$T_m =$
= 2073 K
(очешка!)

X. 1984, 19, N 1

сидов ($-u_0/T_{\text{пл}} = 0,46$) и постоянству u_0 , рассчитана $T_{\text{пл}} \text{FeO}$ стехиометрич. состава, оказавшаяся равной 2073 К. Выявлено значит. увеличение величины $-u_0/T_{\text{пл}}$ при переходе от оксидов *s*-металлов к оксидам *d*- и *f*-металлов (0,30, 0,46, и 1,23, соответственно).

В. Е. Смирнов

FeO

1983

98: 183357n The correlation of the thermodynamic properties of wustite by a Gaussian based formalism. Esdaile, J. D. (Div. Min. Eng., Clayton, 3168 Australia). *Metall. Trans., A* 1983, 14(4), 771-5 (Eng). A Gaussian-based formalism was used to correlate precisely the data of L. S. Darken and R. W. Gurry (1945) for the wustite phase of the industrially important system Fe-O, within and at the boundaries of this phase. Equations are also given for the free energy and heats of formation of metastable FeO, wustite in equil. with γ -Fe, and Fe_3O_4 from γ -Fe and O at 1 atm.

$\Delta_f H$, $\Delta_f G$,

C.A 1983, 98, N22.

FeO 1983
Gubanov V.A., Leichtenstein
A.I., et al.

Int. J. Quantum Chem., 1983,
 T_N ; 23, NY; Proc. 4th. Congr. Quan-
tum Chem., Uppsala, 13-20
June, 1982. Contrib. Pap. Pt 4,
1517-1528. (cu. H_2 ; \bar{I})

FeO

1984

Agrawal S. K., Narain
J., et al.

yp-MnS
coev.

Phys. Status Solidi B
1984, 123 (2), 497 - 501.

(cav. MnO; ?)

$Fe_{1-x}O$

Anderson

1984

У 9 Б2367. Кластеры дефектов в вюстите, $Fe_{1-x}O$. Defect clusters in wustite, $Fe_{1-x}O$. Anderson A. B., Grimes R. W., Нешег А. Н. «J. Solid State Chem.», 1984, 55, № 3, 353—361 (англ.)

С помощью предложенной модели «нормированных энергий» ионов исследованы структура и энергия кластеров дефектов в нестехиометрич. вюстите $Fe_{1-x}O$. Установлено, что наиболее стабильными являются кластеры со структурой типа цинковой обманки. В частности, кластеры типов 13:5 и 16:7 (13 или 16 вакансий Fe^{3+} на 5 или 7 междуузельных ионов Fe^{3+}) характерны для P' - и P'' -фаз вюстита. С. Ш. Шильштейн

структура

Х, 1985, 19, N. 9

FeD(k) Om. 24992 1984

Fredriksson M., Rosén E.,

79C, Scand. J. Metallurgy,
1984, 13, 95-97.

FED,
BROCKMANN
measured
Q₂-III,
200-1800K

Um. 20997 / 1984

Haas John H.,
Thermodynamic Properties,
Evaluation (Nernstien,
Sawyer 19842, by me) (1)

Fe_{1-x}O (frozen) (29476) 1984
Hazen R.M., Yearout R.,

Rev. Geophys. and
Space Phys., 1984,

22, N1, 37-46.

Wüstite — (Fe_{1-x}O); A

Review of Its ^{defect}
structure and physical
Properties.

DW&L

Hazen R.M., Jeanloz R. [1984]

Fe_{1-x}O

Biocorrasion

Rev. of Geophys. and Space
Physics, 1984, 22, v. 22, N1,
p. 37-46

Om. 26562

Om. 26562

$\text{FeO}^{2+}(\text{aq})$ Oct. 1984 1984

Kopperol W. H.,
Lieberman J. F.,

dfG; J. Phys. Chem., 1984,
88, N1, 99-101.

FeO
(вюстит)

1984

» 4 Б3183. К вопросу о характере фазовых переходов в области гомогенности вюстита. Горбачев В. А., Шаврин С. В. «Термодинам. цеобратим. процессов и ее применение. Тез. докл. 2 Всес. конф., Черновцы, 18—20 сент., 1984. Ч. 1». Черновцы, 1984, 81

На примере вюстита показана возможность выявить причины возникновения и, в 1-м приближении, количественно определить точку фазового перехода, базируясь на закономерностях формирования напряженного состояния матрицы, возникающем в процессе образования устойчивого и равновесного с матрицей зародыша.

По резюме

Х.1985, 19, № 4

FeO(r)

1984

11 Б3110. Энергия диссоциации молекулы $\text{FeO}(\text{г})$.
Казенас Е. К. «Пробл. калориметри и хим. термо-
динам. Докл. на 10 Всес. конф., 12—14 июня, 1984.
Т. 2». Черноголовка, 1984, 478

Методом высокот-рной масс-спектрометрии определен
состав парогазовой фазы над вьюститом. В масс-спект-
ре при т-рах 1930—1950 К найдены ионы Fe^+ , O_2^+ ,
 O^+ , FeO^+ , относит. интенсивности к-рых с учетом изо-
топного состава составили $\text{Fe}^+ : \text{O}_2^+ : \text{FeO}^+ = 56,99 :$
 $: 6,98 : 3,93$. Парц. давл. молекул $\text{Fe}_{(\text{г})}$, $\text{O}_{2(\text{г})}$, $\text{FeO}_{(\text{г})}$ най-
дены из интенсивностей соотв. ионов с помощью ка-
либровки чувствительности прибора по серебру. Для
р-ции $\text{FeO}_{(\text{г})} = \text{Fe}_{(\text{г})} + 1/2\text{O}_{2(\text{г})}$ определена $\Delta H_{298}^\circ = 37,96 \pm$
 $\pm 0,6$ ккал и энергия диссоциации $D_{298}^\circ(\text{FeO}_{\text{г}}) = 97,51 \pm$
 $\pm 0,6$ ккал/моль.

Из резюме

X. 1985, 19, n 11

$\text{Fe}_{0,947}\text{O}(\text{k})$

от. 1963 г.

1984

$\text{FeO}(\text{k})$ и др.

(обзор)

SMF;

) 23 Б3030. Энталпии образования окислов железа.
Леонидов В. Я., Медведев В. А. «Обз. по теплофиз. свойствам веществ» (Москва), 1984, № 3/47,
26—66 (рез. англ.)

Обзор. Рассмотрены лит. данные, позволяющие определить значения станд. энталпий образования окислов железа: $\text{Fe}_{0,947}\text{O}(\text{k})$, $\text{FeO}(\text{k})$, $\text{Fe}_3\text{O}_4(\text{k})$, $a\text{-Fe}_2\text{O}_3(\text{k})$ и $\gamma\text{-Fe}_2\text{O}_3(\text{k})$. Проведен критич. анализ результатов всех измерений и по ним рассчитаны значения Δ_fH° (298,15 K) с использованием единых ключевых термохим. величин и термодинамич. функций компонентов р-ций и учетом погрешности термодинамич. функций в-в. На основании выполненного анализа и расчетов выбраны наиболее надежные значения станд. энталпий образования окислов железа и оценены их погрешности. Библ. 100.

Автореферат

X.1984, 19, № 23

$\text{Fe}_{0.947}\text{O}(k)$

Oct. 19634

1984

$\text{FeO}(k)$

(O&ZOP)

102: 120968t Enthalpy of formation of iron oxides. Leonidov, V. Ya.; Medvedev, V. A. (USSR). *Obz. po Teplofiz. Svoistvam Veshchestv. Moskva* 1984, (3/47), 26-66 (Russ). From Ref. Zh., Khim. 1984, Abstr. No. 23B3030. A review with about 100 refs. of the std. heats of formation of $\text{Fe}_{0.947}\text{O}(c)$, $\text{FeO}(c)$, $\text{Fe}_3\text{O}_4(c)$, $\alpha\text{-Fe}_2\text{O}_3(c)$, and $\gamma\text{-Fe}_2\text{O}_3(c)$.

$\Delta_f H^\circ$

(72)

C. A. 1985, 102, N 14

1) $\alpha\text{-Fe}_2\text{O}_3(k)$
 $\gamma\text{-Fe}_2\text{O}_3(k)$ (O&H)
2) $\text{Fe}_3\text{O}_4(k)$

Fel

03. 19462

Liu

1984

*См,
Берн*

1 Б3126. Области стабильности соединения FeO при высоком давлении. Термодинамический расчет. The stability fields of the FeO composition at high pressure: a thermodynamic calculation. Liu Lin-gun, Sheen Pouyan, Bassett William A. «High Temp.-High Pressures», 1984, 16, № 2, 177—186 (англ.)

Рассчитаны области стабильности стехиометрич. вьюстита при высоких давл. и т-рах. Расчет производился, исходя из определения величины ΔG образования FeO на основе опубликованных термохим. данных для различных т-р и атмосферного давл. Полученные результаты в сочетании с известными термодинамич. характеристиками для условий изотермич. повышения давл. позволили рассчитать $P-T$ -фазовую диаграмму для системы Fe—O и привести аналитич. выражения, описывающие кривые равновесий между FeO, Fe_3O_4 , Fe_xO и α -Fe. Установлено, что образование стехиометрич. FeO

X. 1985, 19, N 1.

слабо зависит от давл. и определяется гл. обр. величиной т-ры. FeO не образуется при т-рах выше 600°C , а при $\sim 465^{\circ}\text{C}$ и ниже область его стабильности распространяется от атмосферного давл. до нескольких сот кбар. Указанные результаты соответствуют данным эксперим. исследований.

В. Е. Смирнов

FeO (Wocrus)

OM. 19462

1984

101: 117838z The stability fields of the ferrous oxide composition at high pressure: a thermodynamic calculation. Liu, Lin Gun; Shen, Pouyan; Bassett, William A. (Res. Sch. Earth Sci., Aust. Natl. Univ., Canberra, 2600 Australia). *High Temp. - High Pressures* 1984, 16(2), 177-86 (Eng). The Gibbs free energy of formation of stoichiometric FeO (wustite) at various temps. at atm. pressure was calcd. from thermochem. data available in the literature. These data along with the available isothermal compression data were used to make thermodn. calcns. of the temp.-pressure stability fields for the various phase assemblages having the bulk compn. FeO. The results show that the formation of stoichiometric FeO does not depend on pressure, but on temp. alone. Stoichiometric FeO cannot be formed at temps. > 600, but may be a stable phase < ~465° between 1 atm and a few hundreds of kilobars of pressure. These results are in line with the available exptl. observations.

(ff)

C.A.1984, 101, N14

Fe_xO

10т. 22702) 1984

McCammon

13 Б3073. Влияние давления и температуры на нестехиометрический вюстит Fe_xO в области, обогащенной железом. The effects of pressure and temperature on nonstoichiometric wüstite, Fe_xO : the iron-rich phase boundary. Mc Cammon C. A. Liu Lin-gun. «Phys. and Chem. Miner.», 1984, 10, № 3, 106—113 (англ.)

С помощью спец. аппаратуры высокого давл. изучено влияние давл. (от 1 до 30 ГПа) и т-ры (700—1500° С) на состав Fe_xO , находящегося в равновесии с Fe. Состав всех полученных образцов Fe_xO определяли по изменению параметра решетки «*a*», измеренного с помощью рентгеновского анализа; для расчета *x* использовали ф-лу $a=3,856+0,478x$. Найдено, что при постоянной т-ре *x* сначала растет, а затем уменьшается по мере возрастания давления. Скорость изменения *x* является ф-цией т-ры. На основании термодинамич. анализа системы Fe—O проведен теоретич. расчет состава вюстита от давл. и температуры.

Б. Кахан

X. 1984, 19, N 13

FeO

1984

Sasamoto Fadashi,
Sata Toshiyuki.

Toké kyo Nat. Techn. Coll.,
1984, N 16, 69-79.

(Ceef. Fe_3O_4 - Fe_2O_3 ; II)

FeO Par

1984

UKI

Sasamoto, Tadashi; Sata Toshiyuki

Tokyo Kogyo Koto Senmon

Бюлл. Гакко Кенкэй Нококуро, 1984,
нр. 79, № 1б, 69-73 (Япон).

Синтетическое магнетитово-
гематитовое биметаллическое
изделие из небольших кристаллов,
покрытых пленкой гематита, и хром-
истого никелевого с минералами никеля

Ch. No 1585, 102, N18, 1551620

Урж. месарод нут тхоксух температурас
Бонгийн талбайт зорх. бөлжүүлж, хад
орчижүүлж огцогдлаа конъенсированын
гэхэр, температурын та багасгах шинэ-
хүүж. Ралюшесүйн Термохимические
реакции типа Келлог (Kellog-type)
бүх тусие носгийн нут генохийн
температурун

$\text{FeO}(z)$ 1984

Smoes S., Drovart J.

Do; High Temp. Sci. 1984,
14, 31-52.

($\text{C}_{\text{eff.}}$ $\bullet \text{MnO}(z)$; $\underline{\text{ii}}$)

FeO

1984

ЗБ3140. Стехиометрия вюстита. Васютинский Н. А. «Изв. АН СССР. Неорган. материалы», 1984, № 9, 1540—1543

Характеристические точки на диаграмме состояния системы Fe—O отвечают дискретным составам вюстита и целочисленным соотношениям атомов. Составы соединений, соотв. вюститу, образующемуся по эвтектоидной р-ции, можно представить в виде гомологич. ряда с общей ф-лой $Fe_{n-1}O_n$ ($n=14-18$). При восстановлении оксидов железа состав вюстита близок ф-лам того же гомологич. ряда с $n=9-20$. Состав вюстита и полученного при его восстановлении железа определяется равновесием фаз системы $(Fe, Mn, Cr, V \text{ и др.})_{1-x}O - (Fe, Mn, Cr, V \text{ и др.})_m(C, S, P)_n$, аналогичным системе шлаковый расплав — металлич. расплав.

Автореферат

Х. 1985, 19, № 3.

[Om. 25406]

1985?

Fe_{0,947}O_(K) + H₂(2)

Barin Y., Leber S.,
Temperle M.,

Kuremuka

Reprint from steel
research issue No. 4/85,
pages 187-190.

FED

DM. 21957

1985

Jog K.N., Singh R.K.,
et al.,

имруктурн.
газоб.
гексог.
бисок.
газет.

Phys. Rev. B: Condens.
Matter, 1985, 31, № 9,
6047-6057.

FED(2) [On. 22916] 1985

Казенас Г.К., Тогирев В.Р.,
Цветков Ю.В.,

ВИНИТИ №е. N 3377-85,
Москва, 1985.

КГ, АФН масс-спектрометрическое
исследование процессов испаре-
ния и диссоциации оксидов мар-
ганца, никеля 30-, кобальта,
никеля.

$Fe_{1-y}O$
($FeO \cdot Cr_2O_3$)

Sørensen

1985

2 Б2268 К. Дефекты в дефицитных по металлу оксидах: вюстит $Fe_{1-y}O$. Defects in metal-deficient oxides: wüstite, $Fe_{1-y}O$. Sørensen O. T., El S. Ali M. «Risø Rept», 1985, № 505, 22 pp., III, (англ.)

Выведены ур-ния, связывающие степень нестехиометричности y и равновесное давл. кислорода для оксидов $M_{1-y}O$ при учете изменения активности катионов с увеличением конц-ии дефектов. На основе этих ур-ний с привлечением лит. гравиметрич. данных установлены возможные типы дефектов в вюстите $Fe_{1-y}O$. Установлены наиболее вероятные типы дальнего порядка в различных концентрац. обл., характеризующиеся регулярной упаковкой дефектов. Показано, что в диапазоне $y \leq 0,17$ в вюстите реализуется несколько субоксидных фаз указанного типа.

С. Ш. Шильштейн

X. 1986, 19, N2

FeO_(K, Ni)

[Om. 22303]

1986

Fe_{0,947}O_(K, Ni) Аргентова Н.И., Герш-
FeO (f) Иван Т.А., Веселы У.В. и др.,
перевод.
СБ-68
ВИНИТИ Ден. N 557-586,
Москва, 1986.

Непреломимое, свойство
исследования и его содействие.

$\text{Fe}_2\text{O}_{(k)}$

[Om. 26812]

1986

Holmes R.D., O'Neill H.S.;
Arculus R.J.,

K_f, S_fB,
S_fS, S_fH;

geochem. et cosmochem.
Acta, 1986, 50, 2449-

2452

Fe_xO

1986

Holmes D., O'Neill H.
St. C., et al.

^{16}f ; Geochim. et cosmochim. acta, 1986, 50, N 11, 2439-
2452.

(c.c. Cu_2O ; I)

Fe_xO

1986

Holmes Richard D.,
O'Neill Hugh S.C.,
et al.

$\Delta_f G$,
 $\Delta_f S$,
 $\Delta_f H$;

Geochim. Cosmochim. Acta 1986, 50 (11),
2439-52.
(c.c. Al_2O_3 ; I)

1986

$Fe_{1-x}O$
(вюстит)

структура

4 E633. Структура вюстита $Fe_{1-x}O$. Structure of the Wüstite $Fe_{1-x}O$. Ishiguro Takashi, Nagakura Sigemaro. «Нихон кэссё гаккайси, J. Crystallogr. Soc. Jap.», 1986, 28, № 5, 309—318 (яп.; рез. англ.)

Методом ПЭМ высокого разрешения исследована структура двух фаз нестехиометрич. вюстита $Fe_{0.902}O$. Соразмерная фаза P'' имеет моноклинную структуру с пр. гр. $P2_1/m$. Она содержит вакансационные кластеры, каждый из которых образован двумя вакансационными тетраэдрами с общим ребром и без атома Fe в тетраэдрич. междуузлии. В изученных образцах наблюдались некоторые виды структурного разупорядочения фазы P'' . Несоразмерная фаза P' не имеет какой-либо доменной структуры и содержит вакансационные кластеры почти кубич. симметрии. Библ. 26. А. И. Коломийцев

оф. 1987, 18, № 4.

1986

 $Fe_{0,920}O$ $Fe_{0,902}O$

) 2 E745. Электронная микроскопия высокого разрешения вюстита $Fe_{1-x}O$ в соразмерной фазе P'' и несоразмерной фазе P' . High resolution electron microscopy of the commensurate phase P'' and the incommensurate phase P' of wüstite $Fe_{1-x}O$. Ishiguro T., Nagakura S. «J. Electron. Microsc.», 1986, 35, Suppl. № 2, 963—964 (англ.)

На атомном уровне изучена структура закаленных нестехиометрич. фаз вюстита: соразмерной P'' состава $Fe_{0,902}O$ и несоразмерной P' состава $Fe_{0,920}O$, в которых вакансии Fe имеют тенденцию собираться в кластеры, образующие сверхструктуру. В фазе P'' период решетки составляет $5a_0$, а фаза P' является несоразмерной с периодом, меняющимся в пределах $(2,6 \div 2,7) a_0$, где $a_0 = 4,28 \div 4,31 \text{ \AA}$. Согласно результатам наблюдений в направлениях [100] и [110], фаза P'' — моноклинная, пр. гр. $P2_1/m$, элементарная ячейка с $a = b = 2,5\sqrt{2}a_0$, $c = 5a_0$, $\gamma = 90^\circ$ содержит 4 кластера вакансий Fe. Получены изображения фазы P' вдоль [100]. Кластеры вакансий в P' образуют почти квадратную решетку. В P' не обнаружено доменной структуры, т. е. фаза эта является истинно несоразмерной.

А. Отко

cf. 1988, 18, N2

1986

[Om. 25054]

Fe_{0.94}O(K)

Fe_{0.94}O(K)

Krittle E., Geanloz R.,
et al.,

mekano-
connekti. Solid State Communi.,
1986, 59, N 7, 513-515.

Felix

Летюк

1986

11 E810. Особенности структурных превращений в системе железо — кислород. Летюк Л. М., Шипко М. И., Тихонов В. С., Федоров А. Н. «Кристаллография», 1986, 31, № 4, 812—814

Изучены особенности фазовых превращений, протекающих при нагревании мелкодисперсных порошков α -Fe в среде с различным порциальным давлением кислорода. Установлено, что при высокой конц-ии O в окисле и большой скорости диффузии ионов O²⁻ происходят заметные сдвиги ионов металла в решетке. При определенной степени насыщения слоев ионами O²⁻ решетка деформируется, в результате чего происходит ее перестройка. Напр., решетка FeO в отдельных местах может перестраиваться в решетку α -Fe₂O₃ с выделением металлич. слоев, характерных для α -Fe. Е. З.

структурные
превращен.

сф. 1986, 18, N 11

FeO

1986

22 Б2017. Особенности структурных превращений в системе железо—кислород. Летюк Л. М., Шипко М. Н., Тихонов В. С., Федоров А. Н. «Кристаллография», 1986, 31, № 4, 812—814

Приведены результаты исследования механизмов формирования крист. структур соединений Fe—O и особенностей фазовых превращений, протекающих в ряду $\alpha\text{-Fe}$ — FeO — Fe_3O_4 — Fe_2O_3 . Для интерпретации таких превращений проведен анализ крист. структур всех присутствующих фаз. Показано, что характер превращений в системе Fe—O зависит от режимов окисления и определяется скоростью процессов диффузии ионов O^{2-} , а также величиной и направлением смещения металлических ионов.

О. Е. Г.

(42) 42



X. 1986, 19, N 22

$Fe_{0,95}O$

Mallika

1986

24 Б3043. Исследование стабильности вюстита в окрестности эвтектоидной температуры методом э. д. с. с оксидным электролитом. An oxide electrolyte EMF study of the stability of wüstite around its eutectoid temperature. Mallika C., Pankajavalli R., Sreedharan O. M. «Electrochim. acta», 1986, 31, № 7, 885—886 (англ.)

В интервале т-р 727—834 К измерены э. д. с. трехэлектродной биэлектролитной ячейки вида Pt/Fe, Fe_3O_4 или Fe, $Fe_{0,95}O/ThO_2(+Y_2O_3)$ —Cu, $Cu_2O-ZrO_2(+Y_2O_3)/O_2$ ($P_{O_2} = 0,21$ атм), Pt. Кислородные потенциалы для Fe/Fe_3O_4 и $Fe/Fe_{0,95}O$ описаны уравнениями ($RT\ln P_{O_2} \pm \pm 0,2$) кДж = $-798,8 \pm 0,4747 T$ (727—794 К) и ($RT\ln P_{O_2} \pm 0,2$) кДж = $-521,6 \pm 0,1242 T$ (779—834 К). Для эвтектоидной т-ры получено 791 К, для образования $Fe_{0,95}O$ $\Delta_f G^{\circ} \pm 0,2$ кДж = $-260,8 \pm 0,0621 T$ (779—834 К). Особенностью методики является то, что исследованный вюстит получался *in situ* нагреванием Fe_3O_4 до 900 К в течение 2 ч.

А. С. Гузей

X. 1986, 19, N 24

FeO

Mallika

1986

(Procmum)

/ 105: 103605s An oxide electrolyte emf study of the stability of wustite around its eutectoid temperature. Mallika, C.; Pankajavalli, R.; Sreedharan, O. M. (Mater. Dev. Lab., React. Res. Cent., Kalpakkam, 603 102 India). *Electrochim. Acta* 1986, 31(7), 885-6 (Eng). The std. Gibb's energy of formation, ΔG°_f of FeO was detd. to be $-260.8 + 0.0621 T$ at 779-834 K by using a triple electrode-bis-electrolyte cell with air as ref. The eutectoid temp. in the Fe-O system was found to be 791 K from similar emf. measurements on Fe + Fe₃O₄ mixt.

(β_f , f^o)

C.A. 1986, 105, N/12

FEDX

(DM-30251)

1986

(*Ironuganus*)
Kudremepov

Nieman G.C., Parks E.K.,
et al.,

High Temp Sci, 1986,
22, N^o 2, 115-138.

FeO(r)

1986.

Салеерков В. И., Балов
Д. В. в зп.

Ивахов. ЧМ-м. Ивахово,
1986, 28^с., кв. Бедшевр.
17 наим. Рис. (Рукопись
 gen. б ВИЧУТУ 31.01.86,
 № 710 - ● B).
(см. АЛОИ(r), 1)

FeO

1986

22 Б3156. Химическое пассивирование нестабильного FeO — изучение методом мессбауэровской спектроскопии. Chemical passivation of unstable FeO. A mōssbauer study. Shrotgi J. J., Deshpande C. E., Date S. K., Ogale S. B. «Hypersfine Interact.», 1986, 28, № 1—4, 733—736 (англ.). Место хранения ГПНТБ СССР

Взаимодействием $\text{FeC}_2\text{O}_4 \cdot 2\text{H}_2\text{O}$ с Cr_2O_3 получены поликрист. образцы $\text{Fe}_x\text{O} : \text{Cr}^{3+}$ (I). Методом РФА установлено, что введение в FeO ионов Cr^{3+} приводит к стабилизации однофазных материалов I, причем оптим. конц-ия Cr_2O_3 , отвечающая миним. скорости старения, составляет 0,25—0,75 моль.%. Параметр решетки равен 4,298—4,281 Å, а величина $x = 0,910—0,914$ заметно больше, чем в остальных менее стабильных образцах. Хим. сдвиги в мессбауэровских спектрах ^{57}Fe при увеличении конц-ии Cr^{3+} убывают от 1,05 до 0,90 мм/с. Квадрупольная структура в нестабильных многофазных образцах не разрешается, а при конц-ии Cr_2O_3 0,25—0,75 мол.% Δ составляет 060—0,73 мм/с. Сделано предположение, что пассивирование I обусловлено образованием поверхн. фазы $\text{FeO}/\text{Cr}_2\text{O}_3$.

Ю. В. Ракитин

Х. 1986, 19, N 22

~~Fez D~~

(Om. 27260)

1986

(Broenum)

Sjöden D., Seetharaman S.,
et al.,

df;

Met. Trans., 1986, B17,
N1-4, 179-184

FeO

(вюстит)

1986

1 24 Б3019. Энергия Гиббса образования вюстита.
On the gibbs energy of formation of wustite. Sjödén O., Seehagaman S., Staffansson L.-I. «Met. Trans.», 1986, B17, № 1—4, 179—184 (англ.)

Свободная энергия р-ции $x\text{Fe} + 0,5 \text{O}_2 = \text{Fe}_x\text{O}$ заново определена с использованием гальванич. ячейки с тв. O^{2-} -ионным электролитом $\text{Fe}, \text{Fe}_x\text{O}|\text{ZrO}_2-\text{CaO}|\text{NiO}, \text{Ni}$ в т-рной области 866—1340 К. Результаты прежних работ отвечали линейной зависимости $\Delta_f G(T)$ и не отражали наличие $\alpha \rightarrow \gamma$ -перехода в Fe при 1184 К и магн. перехода при $T_c = 1043$ К. Полученные результаты описаны ур-ниями $\Delta_f G^\circ = -251\,480 - 18,100 T + 10,187T \ln T$ (± 210 Дж/моль, 866—1184 К) и $\Delta_f G^\circ = -286\,248 + 181,419T - 13,858T \ln T$ (± 210 Дж/моль 1184—1340 К). Наклон т-рной зависимости $\Delta_f G$ возрастает при $T_{trs} = 1184$ К, что согласуется с положит. величиной $\Delta_{trs} S$ для $\alpha \rightarrow \gamma$ -перехода в Fe. Для колич.

$\Delta_f G$

X. 1987, 19, N 24

оценки $\Delta_{trs}H$ и $\Delta_{trs}S$ этого перехода точность полученных данных не достаточна. Усредненное линеаризованное ур-ние имеет вид $\Delta_rG^\circ = -263\,306 + 64,094T$ Дж/моль в согласии с классич. данными Кубашевского. Отмечено, что твердофазные ячейки предпочтительнее конструировать так, чтобы оба Э (исследуемый и сравнения) имели одинаковый компонент (металл или оксид), так чтобы компенсировались эффекты фазовых переходов. Напр., при исследовании системы Fe—Na—O в равновесии с Fe использование смеси Fe—"FeO" в кач-ве Э сравнения более надежно, чем Ni—NiO.

А. С. Гузей

$Fe_x O (K)$

Sjoeden [Om. 27260] 1986

Biochum

K_p
(sf)

104: 137013s On the Gibbs energy of formation of $Fe_x O$.
Sjoeden, O.; Seetharaman, S.; Staffansson, L. I. (Dept. of
Metall., R. Inst. Technol., S-100 44 Stockholm, Swed.).
Trans. B 1986, 17B(1), 179-84 (Eng). The Gibbs energy of the
reaction $xFe(s) + \frac{1}{2}O_2(g) = Fe_xO(s)$ was redetd. by a
method at 866-1340 K. The results are at variance with
works in that they reflect the transformations occurring in the
phase. The Gibbs energy function is represented by 2 eqns.

c.A.1986, 104, N16

FeO

1986

Wang Leshan,
Li Yanyan.

($\Delta G, \Delta H$) Jisuarji Yu Yingyong
Huaxue 1986, 3(3), 215-18,
194.  Weizhuh weizhuh

c.a. 1987, 106, M10
73888n

(Cer. Fe; I)

уравненија танс $F = A + BT$ где A и B - константи
теплого. и физичких веома великих.
Дано величина сеј изотермии и
об једнога $\text{FeO} \leftrightarrow \text{Fe}$ уре $500 - 1500$
и $1000 - 1200 \text{ K}$ врше се танс
(који користи с. а.)

Felix

1986

6 Б3042. Оценка молярных термодинамических
свойств твердых вюститов с помощью термогравиметри-
ческого исследования равновесий. Часть I. Определение
парциальных молярных и интегральных функций для
трех составов W_i и W_i' . Evaluation des propriétés ther-
modynamiques molaires des wüstites solides à partir de
leur étude thermogravimétrique à l'équilibre Première
partie; Formulation des grandeurs molaires partielles et
intégrales des trois W_i et des trois W_i' . Vallet P.,
Carel C. «Rev. chim. miner.», 1986, 23, № 3, 362—377
(фр.; рез. англ.).

Установлено, что ур-ние $\lg P_{O_2} = (a_i T^{-1} + b_i)x + c_i T^{-1} + d_i$ (1) лучше, чем традиц., описывает термогравимет-
рич. изотермы равновесия между газ. фазой с парц.
давл. P_{O_2} и тв. вюститом FeO_x при т-рах $T < 1184$ К.
Ранее для 3-х вюститов W_i ($i=1, 2, 3$) были опреде-
лены коэф. a_i , b_i , c_i и d_i . С использованием ур-ния (1)
и упрощенного соотношения $\lg P_{O_2} = A_0 T^{-1} + B_0$ (2) для
равновесия вюстита с γ -железом получены аналитич.
выражения для активностей кислорода и железа, а

оценка
термодинам-
ические
свойства

DM

X. 1987, 19, N6.

также парц. полярных и интегральных ф-ций (H° , S° , C_p) трех составов W_i ; при т-рах ≥ 1184 К. Для 3-х составов W_i' при т-рах ≤ 1184 К результаты аппрокси-мированы более сложными аналитич. уравнениями.

По резюме

вла
при
с

Feb

отисок 26 248

1986

17 Б3046. Оценка молярных термодинамических свойств твердых вюститов с помощью термогравиметрического исследования равновесий. 2. Границы областей устойчивости вюститов W_i и W_i' . Предельные условия и численные результаты. Evaluation des propriétés thermodynamiques molaires des wüstites solides à partir de leur étude thermogravimétrique à l'équilibre. 2 ème part. Frontières des sous-domaines de stabilité des W_i et des W_i' . Conditions aux limites. Résultats numériques. Vallet P., Carel C. «Rev. chim. minér.», 1986, 23, № 6, 709—734 (фр.; рез. англ.)

84, 45;

Установлено, что область устойчивости вюстита состоит из 6 участков, соотв-щих трем составам W_i и W_i' с обеих сторон равновесной изотермы при 1184 К. Эти участки отделены друг от друга гиперболич. границами. С учетом ограничений, выявившихся в процессе расчета равновесных св-в, пересмотрены параметры ($\lg P_{\text{O}_2}$ и T), характеризующие внешние границы участков с α - или

X.1987, 19, N 17

γ -Fe или магнетитом. Рассматривались, прежде всего, положение точки Шадро и идентичность св-в магнетита при расчете через св-ва W_i и W'_i . Отмечено, что численные значения констант интегрирования $k(T, P)$, ($k=h, s, g$) зависят от выбора коэф. в ур-ниях, описывающих фазовые границы W'/α -Fe и W/γ -Fe. Для 3 участков W_i и W'_i табулированы при всех т-рах и составах термодинамич. св-ва H_i° , S_i° и C_p° в интервале 864,73—1644 К. Библ. 87. По резюме

FeO? Vallet P. Carel C. 1986
BIOGRUT? Om. 24920

(κ_p)

106: 73889p Evaluation of molar thermodynamic properties of wuestite solids from their equilibrium thermogravimetric study. Part 1. Formulation of partial molar and integral magnitudes of three W_1 and three W_1' . Vallet, Pierre; Carel, Claude (75014 Paris, Fr.). *Rev. Chim. Miner.*, 1986, 23(3), 362-77 (Fr). Thermodyn. properties of 6 distinct varieties of solid wuestite were detd. Partial molar quantities of the component Fe were and used for further calcns.

(nernst. cbfa) 69 properties, & too many
det Φ G_i
Thermograv. ~ 1184K

data ass. recorded

C.A. 1987, 106, N 10

FeD₂

(Om. 27566)

1987

(OKUGI
menya)

Chung W.S., Murayama T.,
Ono Y.,

kp

"Кисоне киензоку заккай-
су, Т. Jap. Inst. Metals,"
1987,
● 51, N7, 659 - 665

Fe_xO

1987

1. З Б3069. Прямое измерение равновесий восстановления оксидов железа в смесях CO—CO₂ методом э. д. с. с твердым электролитом. Chung Won Sub, Mignaya-ta Takeaki, Ono Yoichi. «Нихон киндзоку гаккайси, J. Jap. Inst. Metals», 1987, 51, № 7, 659—665 (яп.; рез. англ.)

Методом э. д. с. с тв. электролитом ZrO₂/Y₂O₃ (ТЭ) определены $\Delta_r G^\circ$ р-ций восстановления вюстита и магнетита в смесях CO—CO₂. Использовались ячейки вида Pt/CO—CO₂/ТЭ/Fe, Fe_xO или Fe_xO, Fe₃O₄/Pt. Состав смеси CO—CO₂ на Э сравнения изменялся так, чтобы э. д. с. становилась равной нулю. Для р-ции Fe_xO+
 $+CO = xFe + CO_2 \Delta G^\circ = -17\ 449 + 0,003T \lg T + 0,011T$
 $(\pm 0,026)$ кДж/моль (940—1250 К), для р-ции $x/(4x-3)Fe_3O_4 + CO = 3/(4x-3)Fe_xO + CO_2 \Delta G^\circ = 60,336 +$
 $+ 0,0607 \lg T - 0,245T (\pm 0,103)$ кДж/моль (880—1260 К), для р-ции $CO + 0,5 O_2 = CO_2 \Delta G^\circ = -276,385 + 0,008T \cdot \lg T + 0,059T (\pm 0,467)$ кДж/моль 880—1270 К. Электродами сравнения для последнего случая были воздух или Ni+NiO. Библ. 37 назв.

По резюме

X. 1988, 19, № 3

Fe_{0,947}O(k)

(DM. 26846)

1987

Farrin D.,

AfH, 3;

Получено по норме к
испытанию 8 авр. 1987г. в
NBS.

FeD(x)

Lm. 26846

1987

Farrin D.,

AfH, 3

Понятно но неизвестно
8 авт. 1987г. в NBS.

FeD

[OM. 26847]

1987

Maas g. L.,

мерилог.
Фундукчиев,
 $\Delta_f H$, $\Delta_r H$;

Полугреко в авг. 1987 г.
в Валенштаде.

FeO,9470

lom. 26847

1987

Klaas J. L.;

меркног.
фундукчи,
 $\Delta_f H$, $\Delta_n H$;

Получено в abr. 1987г.
в Валентинове.

FeD

(ОМ. 26841)

1987

Maas J. L.,

Результаты обработки
кассет рабочих
Получено 20 авг. 1987 г. в
Баевицемоне.



Fe_{0,947}O (Om. 26841) 1984

Mass J. V.,

Результаты обработки

kp, d2H Часосы ройбандесиї

Получено 20 авг. 1984 г. в.

Валентина Н.Е.

$Fe_{1-x}O$

1987

14 Б3002. Физико-химические свойства вюстита и его растворов. Лыкасов А. А., Карел К., Мень А. Н., Варшавский М. Т., Михайлов Г. Г. Свердловск: УНЦ АН СССР, 1987. 229 с., ил.

Описаны структурные особенности вюстита и его растворов, на основе этого сделана попытка объяснить термодинамич. и физ.-хим. св-ва указанных соединений. Наряду с обзором лит. данных приведены оригинальные исследования авторов. Библ. 365. Резюме

X. 1988, 19, N 14

FeO

(β FO CMEEM)

1987

108: 82360c Dissociation pressure of wustite. Lykasov, A. A. (USSR). *Izv. Vyssh. Uchebn. Zaved., Chern. Metall.* 1987, 1(11), 10-13. (Russ). Based on an evaluation of known exptl. data, equations are derived for the calcn. of vapor pressure of O above FeO applicable at all temps. of existence of the FeO-Fe equil.

108: 82361d Improved oscillating buoy viscometer. Ritter, Rogers C.; Molloy, Janelle A. (Phys. Dep., Univ. Virginia, Charlottesville, VA 22901 USA). *Rev. Sci. Instrum.* 1987, 58(12), 2306-12 (Eng). An improved design of the vertically oscillating buoy viscometer with real-time computer control, evaluation, and plotting is presented. In this method, the optically obsd. phase lag of the buoy relative to a sinusoidal driving force is a direct and abs. measure of viscosity. The evaluation of "intrinsic viscosity" as a measure of mol. ellipticity is discussed and one measurement set is presented.

Po

C.A. 1988, 108, N10.

FeO

[Om. 28372]

1987

(Gtocnum)

Rekas M., Mrowiec S.,

(Kp)

Solid State Ionics,
1987, 22^{N2/3}, 185 - 197

FeO

FeO^-

1987

7 Б4459. Вращательное автоотщепление электрона от комплексов FeO^- . Rotational autodetachment of FeO^- complexes. Russek Agpold. «Phys. Rev. A: Gen. Phys.», 1987, 36, № 2, 487—496 (англ.)

На основе аналогии с механизмом внутр. конверсии в ядерной физике проведены расчеты скоростей R вращат. автоотщепления электрона от комплексов FeO^- в различных состояниях. Согласно лит. данным, зависимость R от вращат. квантового числа для комплексных ионов FeO^- в состояниях $\text{FeO}[^5\Delta_3]\text{-}s$ и $\text{FeO}[^5\Delta_3]\text{-}p$ сильно отличается от соотв. зависимости для вал. состояния $\text{FeO}^- (A^4\Delta_{5/2})$. Здесь в квадратных скобках даны квантовые числа спин-орбитального состояния нейтр. молекулы FeO в основном состоянии, к-рая выступает в роли ядра комплекса FeO^- , а слабо связанный электрон находится в состояниях атомного s - или p -типа ($l=0$ или 1 соотв.). В процессе вращат.

ж. 1988, 19, № 7

автоотщепления электрона проходит перенос вращат. энергии молекулы на этот электрон. Показано, что модель внутр. конверсии эквивалентна обычному механизму неадиабатич. взаимодействия, обусловленного нарушением приближения Борна—Оппенгеймера, но намного проще этого механизма. Модель внутр. конверсии позволяет объяснить различные зависимости R от вращат. квантового числа. В. Е. Скурат



$Fe_{0.90}O$

1987

21 Б2016. Решетка равновесной сверхструктуры
вюстита $Fe_{0.90}O$. Шайович Я. Л., Звинчук Р. А.,
Вергазов А. Н. «Физ. тверд. тела» (Ленинград), 1987,
29, № 6, 1890—1892

д. 1987, 19, № 21

*Fe_yO
(FeO en num)*

1987

107: 162882u Evaluation of molar thermodynamic properties of solid wuestite from thermogravimetric study at equilibrium. Second part. Boundaries of W_i and W'_i stability subdomains. Vallet, Pierre; Carel, Claude (75014 Paris, Fr.). *Rev. Chim. Miner.* 1986 (Pub. 1987). 23(6), 709-34 (Fr). The stability domain of wuestite consists of 6 sub-domains corresponding to the 3 W_i and the 3 W'_i on both sides of the isothermal line at 1184 K. These sub-domains are sep'd. by arcs of hyperbolas. The results ($\log_{10}P_{O_2}$, T) on the external boundaries of the sub-domains with α - or γ -Fe or magnetite are reexam'd. by taking into account the restraints which appeared in the course of calcs. The matter in hand is the location of Chaudron's point and the identity of magnetite properties at 1184 K when calcg. from either W_3 or W'_3 . The numerical assessment of integration consts. $k_i(T, P)$ ($k = h, s, g$) depends on the choice of the coeffs. in equations describing W'/α -Fe and W/γ -Fe boundaries. The thermodn. properties H_i^0 , S_i^0 and C_P^0 are tabulated for every temps. and compns. for the 3 W_i and 3 W'_i . The tabulation of the properties of W'_1 then W_1 is made between the temps. 864.73 K at Chaudron's point and 1,644 K for the stable wuestite Fe_yO with compn. continuously given by $\gamma = 0.93454$. The decrease of entropy is unexpectedly large for a mole of wuestite which goes up from the limit-compns. y_0 in equil. with iron to y_1 in equil. with magnetite. More than likely, this variation reflects the different short and long range orderings of point defects, but in the aggregate.

magnet - cb - 8A
C.A. 1987, 107
N/8

FeO

1987

Vallet Pierre, Carel
Claude.

mgs.sog.
cb-6a

Rev. chim. miner,
1987, 24, N6, 719-
737.

(cst. $\text{Fe}_{3-\delta}\text{O}_4$; I)

Fedor

1988

4 В4. Изучение физико-химических свойств оксидов железа, изготовленных электролизом / Агладзе Р. И., Джалиашвили М. Н., Мchedлишвили Г. Н., Керечашвили М. Б. // 6 Всес. совещ. по термодинам. и технол. ферритов, 15—17 сент., 1988: Тез. докл.— Иваново-Франковск, 1988.— С. 114.— Рус.

Оксиды железа различной модификации получены электролизом железа в 1 М р-ре NaCl с pH 6,0 (γ -FeOOH), 8,0 (Fe_3O_4), 9,0 и 10,0 ($Fe_3O_4 + \alpha$ -FeOOH), 11,8 ($Fe_3O_4 + \alpha$ -FeOOH + β -FeOOH). Повышение скорости р-рения Fe приводит к образованию магнетита с примесью δ -FeOOH. Термографич. методом определены т-ры перехода полученных образцов в магнетит и далее в α - Fe_2O_3 . Данные по фазовому составу согласуются с результатами измерения уд. намагниченности.

А. С. Гузей

X 1989, N 4

FeO

1988

$Fe_{1-x}O$

$Fe_{e,955}O -$

- $Fe_{0,820}O$

3 Б2086. Дефектная структура вюститов P' и P'' . Трехмерные несоразмерные и сверхструктурные субфазы. Defect structure of wüstites P' and P'' . Tri-incommensurate and superstructure subphases / Carel C., Gavarri J.-R., Weigel D. // Z. Kristallogr.— 1988.— 185, № 1—4.— С. 393.— Англ.

Исследование синтетич. закаленных вюститов $Fe_{1-z}O$ со значениями z 0,045—0,18 выявило появление в зависимости от времени закалки различных типов сверхструктур с 3-мерными несоразмерными решетками.

С. В. Соболева

X. 1990, N 3

$\text{FeO}(z)$ 1988
Farber Milton, Srivastava
Rameshwar D.

$\Delta_f H^\circ$ High Temp. High Pressure
298 res. 1988. 20, N.L.C.
119-140.

(c.u. KOH; I)

FeO

Он 30.5.21

1988

1 Б3042. Применение метода высокотемпературной микрокалориметрии для определения $\Delta H(O_2)$ при восстановлении оксидов в окислительно-восстановительных газовых смесях. Приложение к вюститу. A new $\Delta H(O_2)$ determination method by high-temperature microcalorimetry study of oxide-oxido-reducing gaseous mixtures reaction. Application to wüstite / Gerdanian P. // J. Phys. and Chem. Solids.— 1988.— 49, № 7.— С. 819—826.— Англ.

Разработан калориметрич. метод определения парц. энталпий $\Delta H(O_2)$ в р-циях частичного восстановления оксидов металлов при высоких т-рах. Характерной особенностью метода является возможность малых вариаций состава оксида по кислороду в обл. гомогениности.

XX. 1989, № 1

Калибровка проточного калориметра проведена по эффекту Джоуля, газовыми смесями являлись воздух, CO_2 и CO/CO_2 . Коэф. калибровки остаются постоянными. Модельной системой является вюстит, эксперим. данные в пределах 10—17 кДж/моль O_2 согласуются с $\bar{c}\Delta H(\text{O}_2)$, известными из лит. данных. Л. А. Резницкий

FeO 1+x
(вюстит)

1988

2 Б3058. Термодинамическое исследование флюсов $\text{SrO} + \text{SrCl}_2 + \text{Fe}_x\text{O}$ методом э. д. с. с твердым оксидным электролитом. A thermodynamic study of $\text{SrO} + \text{SrCl}_2 + \text{Fe}_x\text{O}$ fluxes by means of solid-oxide galvanic cell / Jiang Mao Fa, Ichise Eiji, Iwase Masanori // Steel Res.— 1988.— 59, № 9.— 375—385.— Англ.; рез. нем.

Активность Fe_xO в расплавах $\text{SrO} + \text{SrCl}_2 + \text{Fe}_x\text{O}$ исследована методом э. д. с. с тв. электролитом ZrO_2/MgO (ТЭ) в интервале 1473—1623 К. Использован гальванич. элемент $\text{Mo/Mo} + \text{MoO}_2//\text{TЭ}/\text{Fe} + (\text{SrO} + \text{SrCl}_2 + \text{Fe}_x\text{O})/\text{Ag}/\text{Fe}$, а активность вюстита оценивалась из соотношения $a_{\text{Fe}_x\text{O}} = \frac{\gamma P(\text{O}_2) \text{ (шлак)}}{P^0(\text{O}_2) \text{ (шлак)}}$, где $P(\text{O}_2) \text{ (шлак)}$ — равновесное давление на «шлаковом» электроде, $P^0(\text{O}_2) \text{ (шлак)}$ — давление O_2 над смесью $\text{Fe} + \text{вюстит}$. Установлена зависимость $a_{\text{Fe}_x\text{O}}$ от отношения SrO/SrCl_2 в шлаке. Построена диаграмма состояния системы $\text{SrO} + \text{SrCl}_2 + \text{Fe}_x\text{O}$ при 1473 и 1623 К и вычислены изоактивности вюстита. Установлено, что $RT \ln \gamma_{\text{Fe}_x\text{O}}$ не зависит от температуры. Л. А. Резницкий

Х. 1989, № 2

FeO

1988

O'Neill Hugh St. C.

($\kappa_0, \Delta H_f$)

Amer. Miner. - 1988.

Z3, NS-6. - C. 470-486.

($\text{cell. } \bullet \text{ Fe}_3\text{O}_4 ; \bar{I}$)

FeO

1988

pay. group.

110: 237786p Effect of the second neighbors on thermodynamic properties of solutions in terms of the strictly regular model of melts. Pak, V. M.; Serov, G. V.; Tovbin, Yu. K. (Mosk. Inst. Stali Splavov, Moscow, USSR). *Rasplavy* 1988, 2(5), 21-8 (Russ). The strictly regular soln. model based on the quasi-chem. approxn. was used to describe the thermodn. properties of oxide melts. An anal. was made of the effects of the 2nd nearest neighbors on the thermodn. properties of quasi-binary oxide melts. Interparticle interaction parameters were calcd. for 1st and 2nd nearest neighbors along with structural parameters of melts from phase diagrams for the oxide series FeO, MnO, MgO, CaO, Fe₂O₃, Cr₂O₃, SiO₂, Al₂O₃, V₂O₅.

(+9)

⊗



C.A. 1989, 110, N26

$Fe_{1-z}O$
 $(z < 0.075)$
(вюстит)

$Fe_{<0.925}O$

1988

20 Б2029. Об устойчивости кластеров в вюстите при высокой температуре. Sur la stabilité des amas de défauts complexes dans la wüstit à haute température. Gavaggi J.-R. «C. R. Acad. Sci.», 1988, ser. 2, 306, № 14, 957—962 (фр.; рез. англ.)

Минерал вюстит $Fe_{1-z}O$ ($z < 0.075$) характеризуется дефектной структурой с 2 типами точечных дефектов: вакансиями в октаэдрич. положениях, заселенных катионами Fe^{3+} , и внедренными катионами Fe^{3+} в незаселенные в данном СТ тетраэдрич. положения. Кристаллохим. ф-ла $[Fe^{2+}]_{1-3z}^{окт} [Fe^{3+}]_{2z-t}^{окт} [Fe^{3+}]_t^{тетр} \square_{z+t}^{окта} O^{2-}$. Специфика структуры определяется числом октаэдрич. вакансий (m) и интестиц. катионов Fe^{3+} (n), образующих устойчивые и упорядоченно распределенные кластеры, сохраняющиеся даже при высоких т-рах и обуславливающих наличие на дифракц. картинах сверх-

X. 1988, 19, № 20

структурных отражений. Проведён энергетич. обсчт структуры основанный на известных из эксперим. даcных по конфигурации кластеров ($m/n = 10/4$) и модуля упругости $C_{44} = 0,15 \cdot 10^{11}$ Па. Свободная энергия, приходящаяся на одну вакансию составляет $-0,126$ эВ. Замена Fe^{2+} на двухвалентные катионы по схеме $[\text{Fe}^{2+}]_{1-3z-y}^{\text{окт}} [\text{M}_y^{2+}]_{z+t}^{\text{окт}} [\text{Fe}^{3+}]_{2z-t}^{\text{окт}} [\text{Fe}^{3+}]_{z+t}^{\text{тетр}} [\square]_{z+t}^{\text{окт}}$ O^{2-} при $M=\text{Ca}^{2+}$ сопровождается уменьшением размеров кластеров и соотв. увеличением энергии искажения структуры, а при $M=\text{Mg}^{2+}$ ведет к увеличению размеров кластеров.

С. В. Соболева



FeO(2)

(OM-30543)

1988

Farber et al., Srivastava R.D.,

ΔH_f ; High Temp.-High Pressures,
1988, 20, N2, 119-140.

Felix

1988

9 Б3034. Фазовые равновесия в области шпинелеобразования системы железо — кислород / Москвин П. П., Саенко И. В., Кузнецов В. В. // Ж. физ. химии.— 1988.— 62, № 12.— С. 3196—3200.— Рус.

В рамках теории ассоциированных р-ров проанализированы фазовые равновесия тв. состояние — жидкость — газ в обл. шпинелеобразования системы Fe—O. Хорошее соответствие расчетов и экспериментов достигнуто в предположении наличия в жидк. фазе ассоциатов FeO , Fe_2O_3 , Fe_3O_4 . Найденные параметры м. б. использованы для оценки диаграммы состояния тв. р-ров на основе магнетита.

По резюме



ж. 1989, № 9

FeO

1988

Venugopal V., Sundaresk
V. et al.

ΔG_f ,
 ΔH_f

Report / Sor. India Atom.
Energy Comis. 1988.
N 1436. c. 50-54.

(ceu. NiO; I)

FeO

1988

6 Б3065. Термодинамический расчет фазовой диаграммы системы FeO—MgO. Thermodynamical calculation of FeO—MgO phase diagram / Zhang Chui-chang, Cheng Liang-guan // Proc. 5th Nat. Symp. Phase Diagr., Wuhan, Nov. 18—21, 1988: Dig.— [Shenyang, 1988].— С. 68.— Англ.

Приведена методика расчета ликвидуса и солидуса фазовой диаграммы системы FeO—MgO, использующая данные о теплотах плавления и т. пл. компонентов. Указано на удовлетворит. согласование расчетных и лит. данных.

Б. Г. Коршунов

(H)₁₇MgO

X.1991, N 6

FeO

1989

On 3277

112: 106253f Standard Gibbs energy of formation of ferrous oxide. Lykasov, A. A. (Kurgan. Mashinostr. Inst., Kurgan, USSR). *Izv. Vyssh. Uchebn. Zaved., Chern. Metall.* 1989, (12), 3-6 (Russ). Phase diagram data for the system Fe-O were used to calc. the free energy of formation of stoichiometric FeO at 800-2000 K.

(ΔH_f, pacem)

c.A.1990, 112, N12

$\text{Fe}_{0.95} \text{O}$

вюстит

$\text{Fe}_{0.946} \text{O}$

FeO

T_{z}

X. 1989, N 19

1989

19 Б3069. Фазовые превращения при распаде вюс-
тита ниже 700 К / Лыкасов А. А., Мирзаев Д. А.,
Дьячук В. В., Попова Т. В., Куриный Ю. А. // Изв.
АН СССР. Неорганическая химия. матер.— 1989.— 25, № 5.—
С. 780—784.— Рус.

Изучена последовательность фазовых превращений при распаде вюстита (I) на образцах состава $\text{FeO}_{1.05}$ — $\text{FeO}_{1.083}$ при 473 К и $\text{FeO}_{1.054}$ при 623 К. Рентгенографический методом показано, что при т-рах 473 и 623 К распад I протекает без изменения параметра решетки матрицы. Подтверждено образование на начальном этапе распада I устойчивого и практически стехиометрического FeO . Электронномикроскопич. исследования П_в переохлажденного I свидетельствует об образовании периодич. структуры в I на начальном этапе распада при $T < 700$ К. Полученные данные согласуются с представлением о спинодальном распаде I в изученных условиях. Высказано предположение о последовательности фазовых превращений при распаде I ниже 700 К. По автореферату

1989

Fe_{1-y}O

(ΔH)

4 Б3031. Дефектная структура и термодинамические свойства вюстита Fe_{1-y}O . Defect structure and thermodynamic properties of the wustite phase (Fe_{1-y}O) / Nowotny J., Rekas M. // J. Amer. Ceram. Soc.—1989.—72, № 7.—С. 1221—1228.—Англ.

Известные лит. данные по термодинамич. св-вам вюстита Fe_{1-y}O (I) пересмотрены с позиций кластерообразования и теории сильных электролитов Дебая — Хюккеля. Предполагается, что основным фрагментом дефектной структуры I является тетраэдрич. кластер состава 4 : 1, в к-ром 4 катионные вакансии расположены вокруг атома Fe. Степень ионизации кластера принята равной —5 при $T > 1173$ К, что обеспечивает хорошее согласие с эксперим. термодинамич. данными. Константа равновесия р-ции кластерообразования $6\text{Fe}_{\text{Fe}} + \text{V}_t + 3/2\text{O}_2 = [(\text{V}_{\text{Fe}})_4\text{Fe}_i]^{5-} + 3\text{O}_o + 5\text{Fe}_{\text{Fe}}^{\cdot}$ записана в виде $K = 1,07 \cdot 10^{-14} \exp [396,7 \text{ (кДж)} / RT]$ атм $^{-3/2}$, $\Delta_b H = -396,7 \text{ кДж/моль}$, $\Delta_b S = 267,4 \text{ Дж/моль}\cdot\text{К}$. Представлены зависимости $\bar{\Delta H}(\text{O}_2) - f(y)$. Расчеты охватывают т-рный интервал 973—1573 К. Библ. 59.

Л. А. Резницкий

Х./991, N 4

FED

198

Steinle, Timothy C.

Nachman, David F.

Mc Shirley, Jeffrey E.; Meler,
Anthony J.,

вопр. Chem. Phys., 1989,
том 90 (10), 53 60-3.

The permanent electric

dipole moment of iron monoxide.

Felix

1989

/ 112: 126555j Measurement of Gibbs energy of liquid iron oxide (Fe_xO) by using a disposable oxygen probe. Tao, Yu; Liu, Yuesheng (Dep. Metall., Beijing Univ. Sci. Technol., Beijing, Peop. Rep. China). *Beijing Keji Daxue Xuebao* 1989, 11(1), 1-5 (Ch). The free energy values for Fe_xO were detd. and are presented as functions of temp.

(16)

c.A. 1990, 112, N/4

Fe_{0.938}O

1990

11 Б3146. Антиферромагнитный — парамагнитный переход в поликристаллическом $\text{Fe}_{0.938}\text{O}$. The antiferromagnetic-paramagnetic transition in polycrystalline $\text{Fe}_{0.938}\text{O}$ / Pavlovic A. S., Shams Q. A. // Solid State Communications, 1990.— 73, № 3.— С. 195—197.— Англ.

В диапазоне т-р 77—300 К измерением коэф. термич. расширения и магнитострикции (в полях до 12 кЭ) исследована природа перехода поликрист. образца $\text{Fe}_{0.938}\text{O}$ из парамагн. (кубич.) фазы в антиферромагн. (ромбоэдрич.) фазу при $T_N = 193,8$ К. В обл. т-р 192,2—195,4 К коэф. термич. расширения скачком падает с $19,4 \cdot 10^{-6}$ до $13,6 \cdot 10^{-6}$ (на 29%). Термич. гистерезиса при этом не наблюдается (скорость сканирования 1 К/мин). Т-рная зависимость абрс. величины магнитострикции при T_N испытывает очень узкий и большой пик, а выше T_N магнитострикция падает практически до 0. Такое поведение характерно для фазовых переходов 1-го рода. Для сравнения приведены лит. данные для MnF_2 , где это превращение 2-ого рода. В. А. Ступников

T_{t2}

X. 1990, N 11

FeO_2 Рудник E.B., Карабукеев E.A.
и др.,
¹⁹⁹⁰

$\text{Fe}, \text{Do},$
 ΔfH

Структура и Энергетика
микелки. Результаты в Всесоюз-
ном совещании по изучению
структур микелки в газо-
вой фазе, ● Челябинск, 1990

Felix Рудницкий Е.Б., Каибичева Е.А.
и др.,
1990

Структура и Энергетика

молекул. Продолжение
20 сообщений по изучению
структур молекул в различных
фазах,

Иваново, 1990.

FeO

1990

5 Б3089. Ревизия *(данных)* о системе Fe—FeO. The system Fe—FeO revisited / Ringwood A. E., Hibberdson W. // Phys. and Chem. Miner.— 1990.— 17, № 4.— С. 313—319.— Англ.

С помощью электроннозондового микроанализа, изучения электросопротивления, магнитных св-в, микроструктурного анализа исследована система Fe—FeO с целью проверки данных работы Kato T. и Ringwood A. E. (Phys. Chem. Minerals.— 1989.— 16.— С. 524—538). Основная трудность при получении достоверной информации — изменение содержания FeO в образце и установление т-ры образца. Выполнено 24 серии опытов при 16 ГПа с использованием усовершенствованной техники эксперимента. Т. пл. Fe и вюстита при 16 ГПа соотв. составила 1945 ± 20 и $1875 \pm 25^\circ\text{C}$.

Эвтектика Fe—FeO — при $10 \pm 2\%$ FeO и $1670 \pm 20^\circ\text{C}$ (ранее получено $15,5 \pm 3\%$ FeO и $1700 \pm 25^\circ\text{C}$ соотв.). Вновь определенное значение депрессии т. пл. Fe при р-рении FeO составляет $27,5^\circ\text{C}/\%$ FeO (по массе); ранее установленное — $23^\circ\text{C}/\%$ FeO. Б. Г. Коршунов

X. 1991, N 5

(Tm)

FeO₂

1991

115: 121216b An assessment of the iron-oxygen system. Sundman, B. (Div. Phys. Metall., R. Inst. Technol., S-100 44 Stockholm, Swed.). *J. Phase Equilib.* 1991, 12(2), 127-40 (Eng). The Fe-O system was critically evaluated as well as the thermodn. properties of the compds. formed therein.

Murphy
et al,
graphite
catalyzed

C.A. 1991, 115, n12

FeO

1991

6 Б3118. Дефекты в Fe_{1-x}O и фазовый переход $\text{Fe}_{1-x}\text{O}-\text{Fe}_3\text{O}_4$, исследованный методом нарушенной угловой корреляции. Defects in Fe_{1-x}O and the $\text{Fe}_{1-x}\text{O} \rightarrow \text{Fe}_3\text{O}_4$ phase transition studied by the perturbed angular correlation method / Inglot Z., Wiarda D., Lieb K. P., Wenzel T., Uhrmacher M. // J. Phys.: Condens. Matter.—1991.—3, № 25.—С. 4569—4585.—Англ.

Для исследования дефектных структур монооксидов Fe, а также фазового перехода $\text{Fe}_{1-x}\text{O}-\text{Fe}_3\text{O}_4$, применен временной дифференциальный метод нарушенной корреляции γ -излучения, использующий имплантированные примесные радиоактивные ионы ^{111}In . Этот метод позволяет фиксировать изменение микроструктур в самом ближайшем окружении примесных атомов, т. е. получать информацию о химии дефектов. Получены спектры образцов, подвергнутых изохрональному (в обл. 300—773 К) и изотермич. отжигу (при 373 К) при

х: 1992, № 6

парц. давл. O_2 менее 0,16 мПа. Кроме того, спектры снимались при 14,373 и 873 К при парц. давл. O_2 менее 0,2 мПа. Сравнение найденного отношения вакансия — заместитель с лит. данными, полученными другими методами, предполагает, что при низких т-рах в системе имеются дефектные кластеры в отношении 4 : 1.

В. А. Ступников

FeO_x

1991

2 E765. Анализ системы Fe—O. An assessment of the Fe—O system / Sundman B. // J. Phase Equilibria.—1991.—12, № 2.—С. 127—140.—Англ.

Система Fe—O экспериментально хорошо изучена и имеет ряд характерных черт в области стабильности как жидкой, так и твердых фаз, например, наличие широких областей взаимной растворимости твердых оксидов, магнитные превращения, существование области расслоения жидкой фазы. Эти свойства описаны с использованием энергетич. модели соединений с ионными составляющими для твердых соединений и модели двух ионных подрешеток для жидкой фазы. Свободные параметры моделей подобраны таким образом, что описывают эксперим. данные о фазовых равновесиях и дают точное описание термодинамич. свойств от 298,15 до 2000 К. Библ. 53.

cf. 1992, № 2

Fe_{0.947}O

1991

7 Б3002. Описание системы Fe—O. An assessment of the Fe—O system / Sundman B. // J. Phase Equilibria.—1991.—12, № 2.—С. 127—140.—Англ.

Термодинамическое описание фаз в системе Fe—O выполнено методом моделирования с учетом особенностей катионного распределения в крист. решетке, наличия вакансий и междуузельных атомов. При описании св-в р-ров O/Fe использована модель регулярных р-ров в жидк. и тв. состоянии. Описание термодинамич. св-в фаз в широком т-рном интервале выполнено на основе ур-ний Редлиха—Кистера. Т-рная зависимость $\Delta_f G$ магнетита определена на основе модели Гиллерта с 12 различными вкладами G^o , учитывающими катионное распределение по подрешеткам, наличие O^{2-} и вакансий в подрешетках, а также энергию обмена в этих подрешетках. Показано хорошее совпадение вычисл. C_p FeO и Fe_3O_4 с эксперим. Вычисление $\Delta_f G$ расплавов

термо ф-ши

~~Б~~ +3

Х. 1992, № 7.



Fe_3O_4 , Fe_2O_3 , $Fe-O$

проведено с учетом области расслоения между Fe, l и FeO, l и двухподрешеточной модели строения расплава, включающей вакансии в кислородной подрешетке. Термодинамич. ф-ции $Fe_{0.947}O$, Fe_3O_4 и Fe_2O_3 табулированы в широких интервалах т-р. Приведены параметры точек трехфазных равновесий в системе Fe—O. Набор моделей, использованных для термодинамич. описания, характеризуется самосогласованием и внутр. непротиворечивостью. Библ. 53. Л. А. Резницкий

FeO

№ 36512

1991

7 Б3003. Система железо — кислород. The Fe—O (iron—oxygen) system / Wriedt H. A. // J. Phase Equilibria.— 1991.— 12, № 2.— С. 170—200.— Англ.

Обзор. Критически проанализированы и обобщены термодинамич. и структурные данные об индивид. в-вах и диаграмме состояния системы Fe—O во всей области составов. Для удобства использования фазовые диаграммы представлены в вес. и ат.% О с высоким разрешением по составу. Детально обсуждены эксперим. условия существования вюрстита FeO , $\alpha\text{-Fe}_2\text{O}_3$ и Fe_3O_4 . Рекомендованы х-ки фазовых превращений в в-вах.

Указано содержание О в оксидных расплавах, что имеет большое практическое значение при анализе процесса выплавки СТ. В газ. фазе при высоких т-рах присутствуют Fe, O, O_2 , FeO и FeO_2 . Библ. 89 назв. охватывает публикации с 1915 по 1989 г.

Л. А. Резницкий

(обзор)

(12) 18

X. 1992, N 7.

$\alpha\text{-Fe}_2\text{O}_3$, Fe_3O_4

FeOx

[Om. 36512] 1991

) 2 E766. Система Fe—O (железо—кислород). The Fe—O (iron—oxygen) system / Wriedt By H. A. // J. Phase Equilibria.— 1991.— 12, № 2.— С. 170—200.— Англ.

Обзор имеющейся в литературе информации о стабильных и метастабильных фазовых равновесиях в системе Fe—O. Рассмотрены также данные по термодинамическим и магнитным свойствам всех фаз системы. Библ. 89.

cb. 1992, N2

FeO

FeOx

Long 36512

1991

Wriedt H.A.,

Guarapuava
concentrate,

J. Phase Equilib. 1991,
12 (2), 170 - 200.

STOP

The Fe-O (iron-oxygen)
system.

C.A. 1991, 115, NY, 36472n

FeO (JL, at. prop.)

1993

119: 256963w Theoretical study of a noncrystalline homologous oxide (MO) series. Belashchenko, D. K. (Mosk. Inst. Stali Splavor, Moscow, Russia). *Neorg. Mater.* 1993, 29(7), 941-8 (Russ.). Several structural models of noncryst. (liq. and amorphous) MO oxides at 0 and 2000 K are analyzed as a function of the Born-Mayer pair potential parameter, B_{12} , within the pure ionic bond approxn. The partial pair correlation functions within the models are detd. A comparison of structural and topol. characteristics of the models shows that heating has a small effect on the structure and properties of the oxides. The distribution of coordination nos. and the free energy and entropy of noncryst. oxides at 2000 K in the various models are also calcd. as a function of B_{12} . In hypothetical cases of very small M^{2+} ions, the structure of oxides is linear; with increasing ionic radius of M^{2+} , the structure changes to planar, then tetrahedral, and finally to near octahedral. Along these structural changes the configurational entropy increases appreciably. As an example, calcns. for FeO are presented.

(18, 3)

T = 2000

C-A. 1993, 119, N24

$Fe_{0.9379}O$

(ОМ. 37079)

1993

ЗБ3022. Термоемкости вюститов $Fe_{0.9379}O$ и $Fe_{0.9254}O$ при температурах от 5 до 350 К. Термодинамика реакции $xFe(s) + \frac{1}{4}(Fe_3O_4)(s) = Fe_{0.7500+x}O(s) = Fe_{1-y}O(s)$, при $T \approx 850$ К и свойства $Fe_{1-y}O(s)$ при $T = 1000$ К. Термодинамика образования вюстита. Heat capacities of the wüstites $Fe_{0.9379}O$ and $Fe_{0.9254}O$ at temperatures T from 5 K to 350 K. Thermodynamics of the reaction: $xFe(s) + \frac{1}{4}(Fe_3O_4)(s) = Fe_{0.7500+x}O(s) = Fe_{1-y}O(s)$ at $T \approx 850$ K, and properties of $Fe_{1-y}O(s)$ to $T = 1000$ K. Thermodynamics of formation of

$(\varphi, H - H_0)$



Х. 1995, № 3

wüstite /Grønvold Fredrik, Stølen Svein //J. Chem. Thermodyn. .—1993 .—25 ,№ 9 .—С. 1089—1117 .—Англ.

Теплоемкость C_p двух образцов вюстита $\text{Fe}_{0,9379}\text{O}$ (I) и $\text{Fe}_{0,9254}\text{O}$ (II) измерена в адиабатич. калориметре в интервале от 5 до 350 К. I и II синтезированы прокаливанием смесей Fe и Fe_2O_3 в вакуумированной кварцевой ампуле при 1270 К и охарактеризованы методами хим. анализа и РФА. Измерения C_p проведены в лаб-рии Осло и Анн-Арбор, США. Рекомендованы значения $H_{298} - H_0$, Дж/моль и $S_{298} - S_0$, Дж/К•моль (1/1,9379) I 4847 и 29,46, для (1/1,9254) II 4821 и 29,21 соотв. I и II подвергнуты эвтектоидному распаду на Fe и Fe_2O_3 при 800 К с последующим определением энтальпии превращения при 850 К. Установлена ΔH р-ции $0,1817 \text{ Fe} + 1/4 \text{Fe}_3\text{O}_4 = \text{Fe}_{0,9317}\text{O}$, равная $9,04 \pm 0,25$ кДж. Т-ра эвтектоидного превращения при нагревании 854 К со стороны Fe и 844 К со стороны Fe_3O_4 , рекомендовано значение 847 ± 7 К. Вычислены ΔH вюститов и магнетитной фазы при 1270 К. Табулированы ф-ции Fe_3O_4 в интервале 298—1350 К. Библ. (100 назв.) охватывает лит-ру с 1933 по 1989 г.

Л. А. Резницкий

Fe_{0.9254}O

Bicryst Fe_{0.9379}O

(DM 37079)

1993

120: 39484g Heat capacities of the wuestites $\text{Fe}_{0.9254}\text{O}$ and $\text{Fe}_{0.9379}\text{O}$ at temperatures T from 5 K to 350 K. Thermodynamics

of the reaction: (x)iron(s) + (1/4)iron oxide, Fe_3O_4 (s) = $\text{Fe}_{0.7500+x}\text{O}(s)$ = $\text{Fe}_{1-x}\text{O}(s)$ at $T \approx 850$ K; and properties of $\text{Fe}_{1-x}\text{O}(s)$ to $T = 1000$ K. Thermodynamics of formation of wuestite. Groenvold, Fredrik; Stoelen, Svein; Tolmach, Pauline; Westrum, Edgar F., Jr. (Dep. Chem., Univ. Oslo, N-0315 Oslo, Norway). *J. Chem. Thermodyn.* 1993, 25(9), 1089-117 (Eng). Thermodn. properties of wuestites prep'd. from iron and iron(III) oxide, were studied by adiabatic calorimetry. Heat-capacity measurements of metastable $\text{Fe}_{0.9379}\text{O}$ and $\text{Fe}_{0.9254}\text{O}$ from 5 to 350 K yielded the integrated values at $T = 298.15$ K. The wuestites were decompd. to iron and iron(II, III) oxides at ~ 800 K and then recombined in the calorimeter. The enthalpy absorption started at ~ 850 K. It needed increased temp. and several days for completion: up to $T = 932$ K and 7.1 days total for $\text{Fe}_{0.9254}\text{O}$; up to $T = 898.4$ K and 2.1 days for $\text{Fe}_{0.9379}\text{O}$; and up to $T = 948$ K and 3.0 d for $\text{Fe}_{0.9254}\text{O}$. By averaging the results for the two last detns., the molar enthalpy of the eutectoid formation reaction: $0.1817\text{Fe} + (1/4)\text{Fe}_3\text{O}_4$

C.A. 1994, 120, N.Y

$\text{Fe}_{0.932}\text{O}$ was detd. as $\Delta_r H^\circ_m = (9.04 \pm 0.25) \text{ kJ/mol}$. The obsd. eutectoid formation temp. on heating was 854 K on the iron side and 844 K on the magnetite side. In order to delineate the compn. range of wuestite at $T < 1270$ K, thermodn. functions for FeO and $\text{Fe}_{0.90}\text{O}$ were estd. and combined with available std. Gibbs free energies of formation for wuestite and the neighboring magnetite phase at 1270 K. The resulting eutectoid compn. is $\text{Fe}_{0.932 \pm 0.004}\text{O}$ and the calcd. eutectoid temp. is 847 ± 7 K.

$\text{FeO}_{(2)}$

1993

Matsuie Tsurus,
Inaba Hideaki.

(P) High Temp.-High Pres.
manuscript series 1993, 25(S),
1270-1417K 579-24. P

(see. Zn(2); #)

Fe_xO_y

1993

) 5 Б2004. Триада «нестехиометрия-структура-свойство» для вюстита. The «nonstoichiometric-structure-property» triad for wüsite /Novakovic R., Nikolić M. V., Radić S. M., Ristić M. M. //«J. Serb. Chem. Soc.» .—1993 .—58 , № 2 .—С. 145—150 .—Англ.

Для вюстита Fe_xO_y , кристаллохим. ф-ла к-рого м. б. записана как $\text{Fe}^{2+}_{1-3y}\text{Fe}^{3+}_{2y}(\text{V}_{\text{Fe}})_{y}\text{O}$, параметр кубич. решетки d и теплота образования — ΔH линейно зависят от конц-ии вакансий y в катионном мотиве: $d=d_0+0,0588y$ и $\Delta H=\Delta H_0+36,5y$, где $d_0=0,4311$ нм, $\Delta H_0=263,4$ кДж/моль — х-ки гипотетич. бездефектной стехиометрич. фазы FeO .

П. П. Федоров

(ΔHf)

X. 1994, № 5

FeO

1993

Papas, P., Glassman I.,

Combust. Fundam. Appl.
gt. Tech. Meet., Cent. East.
States Sect. Combust. Inst.
1993, 400-4.

(GVR)

(all. LizaD[•]; T)

$Fe_xO(x)$

1993

120: 39487k Thermodynamics of gold-rich gold-zinc alloys.
Prasad, Rajendra; Bienzle, Marcus; Sommer, Ferdinand (Max-Planck-Institut fuer Metallforschung, Institut fuer Werkstoffwissenschaft, Seestrasse 75, D-70134 Stuttgart, Germany). *J. Alloys Compd.* 1993, 200(1-2), 69-74 (Eng). Thermodn. data for Au-Zn alloys with compns. $Zn_x = 0.02, 0.04, 0.06, 0.10, 0.15$ and 0.20 were obtained by using a solid state galvanic cell with calcia stabilized zirconia as electrolyte. The measurements were taken for both solid and liq. alloys. Partial molar thermodn. quantities of both components as well as integral molar quantities are given. The solidus and liquidus temps. were obtained from the present measurements. Also given are std. molar free energies of formation of $Fe_3O(s)$; $NiO(s)$, $Cu_2O(s)$, and $ZnO(s)$.

$(\Delta_f H)$

Ni^L
~~+3~~

$NiO(s)$



$Al_2O(s)$, $ZnS(s)$

C.A. 1994, 120, N4

FeO

1995

C³D
B³Z *впервые*

F: FeO₁₋

P: 3

2Б1186. Фотоэлектронная спектроскопия FeO{-} и FeO[2]{-}. Наблюдение низкоспиновых возбужденных состояний FeO и определение сродства к электрону FeO[2]. Photoelectron spectroscopy of FeO{-} and FeO[2]{-}: Observation of low-spin excited states of FeO and determination of the electron affinity of FeO[2] / Fan Jiawen, Wang Lai-Sheng // J. Chem. Phys. - 1995. - 102, N 22. - C. 8714-8717. - Англ.

Измерены фотоэлектронные спектры FeO{-} и FeO[2]{-}, возбуждаемые фотонами с энергией 3,49 эВ. Кластерные ионы Fe[x]O[y]{-} получали в импульсном молекулярном пучке гелия, содержащего 0,05% O[2] при лазерном испарении в него металла. В качестве детектора использовали время-пролетный масс-спектрометр. В случае FO{-} наблюдали переходы в основное электронное состояние X{5}'ДЕЛЬТА'FeO (1,497 эВ, 'омега'=950'+-'50 см{-1}) и состояния A{5}'СИГМА'{+} (1,966 эВ, T[0][0]=3780 см{-1}), B{3}'СИГМА'{+} (2,336 эВ, T[0][0]=6770 см{-1}), C{3}'ДЕЛЬТА' (2,527 эВ, T[0][0]=8310, 'омега'=800'+-'50 см{-1}), причем данные по двум последним состояниям FeO получены впервые. В спектре FeO[2]{-} наблюдался только один переход (связанный с отщеплением несвязывающего d-электрона) с плохо разрешенной колебательной структурой. Определено сродство FeO[2] к электрону, 2,358'+-'0,030 эВ.

X⁵Δ

A⁵Σ-

B³Σ+

C³Δ

PMX 1997

FeO (wustite)

1995

123: 93906w A high-temperature XAFS study of the iron oxides. Becker, K. D.; Niemeier, D.; Wissmann, S.; Oversluizen, M.; Couves, J. W.; Chadwick, A. V. (Institut fuer Physikalische Chemie and Elektrochemie and SFB 173, Universitaet Hannover, Hannover, Germany). *Nucl. Instrum. Methods Phys. Res., Sect. B* 1995, 97(1-4), 111-14 (Eng). Results are reported of a high-temp. XAFS study of the three iron oxides wustite, FeO, magnetite, Fe_3O_4 , and hematite, Fe_2O_3 . The in-situ expts. have been performed at temps. up to 1200°C using oxygen partial pressures appropriate to the stability fields of the three oxides. The spectra provide information on a variety of high-temp. properties of these compds. The present contribution focuses on the defect structure of nonstoichiometric wustite, FeO.

WÜSTITE
cb - fe

XAFS

Fe_3O_4 (magnetit)

(2) FeO (wustit)
Flächen

C-A. 1995, 123, 118

FeO

1995

123: 124374c Thermodynamics of vaporization of the oxides FeO, CoO, and NiO. Kazenas, E. K.; Tagirov, V. K. (Moscow, Russia). Metally 1995, (2), 31-7 (Russ). Evapn. of FeO, CoO, and NiO was studied by high-temp. mass spectrometry. Partial pressures of vapor components were detd. and heats of sublimation $\Delta H_{v,298}^{\circ}$ (MeO) for FeO, CoO, and NiO were calcd. (129.91 ± 1.0 ; 131.99 ± 0.6 ; 131.83 ± 0.6 kcal/mol, resp.). The dissocn. energies D_{298}° (MeO), kcal/mol, were detd.: 97.51 ± 0.6 for FeO(g), 86.71 ± 0.9 for CoO(g), 87.91 ± 0.6 for NiO(g). The compn. of vapor phase over the oxides was detd.: over FeO, %: Fe 65.72, O₂ 19.88, O 10.85, FeO 3.54; over CoO, %: Co 80.50, O₂ 16.11, O 1.85, CoO 1.54; over NiO, %: Ni 31.79, O₂ 64.71, O 1.77, NiO 1.67.

(A3H)
298

④ 42 CoO, NiO

C.A. 1995, 123, N10

F: FeO

P: T

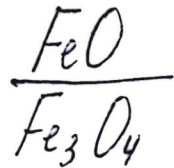
1995

ББ383. Почти стехиометрический моноксид железа, образующийся в качестве метастабильной промежуточной фазы при двухступенчатом диспропорционировании закаленного вюстита. Термодинамические и кинетические аспекты. Nearly stoichiometric iron monoxide formed as a metastable intermediate in a two-stage disproportionation of quenched wustite. Thermodynamic and kinetic aspects : [Pap.] 14th Nordic Symp. The Anal. and Colorim., Oslo, 15-17 June, 1994 / Stolen S., Glockner R., Gronvold F. // Thermochim. acta. - 1995. - 256, N 1. - С. 91-106. Англ.

Методами ДСК, ДТА и РФА изучены механизм и термодинамика разл. закаленных образцов вюстита (I) при нагревании в вакууме. Установлено, что во время первой стадии образуется практически чистый Fe[1-у]O (II) и магнетит (III). Т. разл. ПРИБЛ='470К. II устойчив до ПРИБЛ='530К; выше этой т-ры образуется смесь железа и III. Энタルпии диспропорционирования 1-й и 2-й стадии равны -3,3 (-2,4) кДж/моль и ПРИБЛ='-7,1 кДж/моль соотв. Магн. измерения указывают на наличие перехода "порядок - беспорядок" из антиферромагн. в парамагн. фазу II при ЭКВИВ'196К. Этот переход становится более кооперативным вблизи стехиометрич. состава II. Механизм диспропорционирования I рассмотрен в рамках диаграммы "энергия Гиббса образования - состав" в системе Fe-O.. DH.

X, 1996, №

1996



Canilla Haarik, Svein
Stølen,



Equations of state of wüstite,
magnetite and hematite -
review and new results.

MEPROS

CB-PK 14th IUPAC Conference on
Chemical Thermo dynamics.
Abstracts. Osaka, 1996, p. 148

FeO

1996

De.

F: FeO-

P: 3

1Б1207. Наблюдение и изучение методом фотозелектронной спектроскопии новых молекул $\text{FeO}[y]\{-\}$ ($y=1-4$) и $\text{Fe}[2]\text{O}[y]\{-\}$ ($y=1-5$). Observation and photoelectron spectroscopic study of novel mono- and diiron oxide molecules: $\text{FeO}[y]\{-\}$ ($y=1-4$) and $\text{Fe}[2]\text{O}[y]\{-\}$ ($y=1-5$) / Wu Hongbin, Desai Sunil R., Wang Lai-Sheng // J. Amer. Chem. Soc. - 1996. - 118, N 22. - C. 5296-5301. - Англ.

Место хранения ГПНТБ Получены фотозелектронные спектры с колебательным разрешением. Энергия используемых фотонов 3,49 и 4,66 эВ. Сродство к электрону молекул увеличивается с увеличением числа атомов кислорода. Максимальное сродство $\text{FeO}[y]$ достигается при $y=3$ и 4. Обсуждаются структуры оксидов. Библ. 39.

РМХ 1997

1997

F: FeO

P: 1

9Б343ДЕП. Термодинамики-диаграммный метод
исследования фазового состава основных сталеплавильных
шлаковых расплавов процесса прямого легирования стали
ванадием / Кривоносов В. В., Старцев В. А.; Урал. гос.
техн. ун-т. - Екатеринбург, 1997. - 25 : ил. -
Библиогр.: Библиогр.: 35 назв. - Рус.
- Деп. в ВИИТИ 22.10.97, N 3078-В97 С привлечением
диаграммного метода анализа показано, что

сталеплавильные шлаковые расплавы с основностью >1 , в том числе и при прямом легировании стали ванадием, являются высокогетерогенными. Дисперсность этой фазы при температурах $1520-1600\text{ }^{\circ}\text{C}$ с основностью $1,5-2,0$ достигает 85%. Концентрация оксида железа ($2+$) в жидкой фазе таких шлаков превышает 65 мол.%. С учетом этих особенностей происходит восстановление ванадия из оксидов шлака. наибольший эффект по восстановлению ванадия достигается из шлаков с нейтральной основностью $(\text{CaO}) / (\text{SiO}_2)$.

FED

1998

Fang Z., et al;

gray.
Neurology
Name
He Cok.
Gabrey.
parent

Ko at suryoku no Kagaku
to bijutsu 1998, 7, 166-168

(all Rad; I)

Feo.9330

2002

Зайцев А.К., Беров Р.В.,
Мориц В.С.

Ко, ранее
формулир
востима

Описанная выше формула
востима для термоги
перегревания изменяет
ческих процессов

Текущие данные на XII меж. конф.
по хим. термодин.,
1-5 июня 2002 г.,
г. - Петербург,
стп 321 / Терех
улица 6402к

FeO

1999

Fang, Zhong; et al.,

Мерк.

CMP-pa

и гравит.

сдвигов.

нов фрак.

габрн.

Phys. Rev. B: Condens.
Matter. Phys. 1999,
59 (2), 762-774.

(all.)



(MnO; II)

1999

F: FeO

P: 1

130:302361 Standard free energy of formation of ferrous oxide. Itagaki, Kimio (Research Institute of Material Engineering, Tohoku University, Jap Feramu, 4(2), 94-98 (Japanese) 1999 Iron and Steel Institute of Japan. C FERAF5. ISSN: 1341-688X. DOCUMENT TYPE: Journal; General Review CA Sect 69 (Thermodynamics, Thermochemistry, and Thermal Properties) A review with 17 refs., including std. free energy of formation of ferrous oxide a calcn. of eutectic temp., is given. review free energy formation ferrous

FeO^+

Species:
alkali
 $(8,0)_u$ ($9,0$)
note
upper
 ${}^6\pi_{7/2} \leftarrow X {}^6\Sigma^+$

M.n. $B_{0,20}$,
 $\lambda = \gamma$

(em. 41922)

2003

F. Aguirre, J. Husbang,
Ch. J. Thompson, Kay L. Stringer
R. B. Metz

J. Chem. Phys. 2003, 119, 10194-
1024.

The low-lying electronic states
of FeO^+ : Rotational analysis of
the resonance enhanced photo-
dissociation spectra of the ${}^6\pi_{7/2} \leftarrow X {}^6\Sigma^+$ system